

Dieselben Werthe ergeben sich für  $V_2$ ; denn es ist nach Gleichung 263. für die Belastung der unteren Knotenpunkte  $V'_2 = \frac{P_1 a + P_2 (a + b)}{l}$ ; da nun  $V_{2_{max}}$  für  $P_1 = P_2 = 0,37 (g + p) l$  eintritt, wird

$$V_{2_{max}} = 0,37 (g + p) l \quad \text{und} \quad V_{2_{min}} = 0,37 g l \quad . . . . . 270$$

407.  
Querschnitts-  
bestimmung.

δ) Die Querschnittsbestimmung ist in genau gleicher Weise vorzunehmen, wie dies in Art. 403, S. 371 beim Dreiecksträger gezeigt ist. Die Maximalmomente in der geraden Gurtung finden bei  $C$  und  $E$  statt und sind für  $a = b$  nach der Zusammenstellung in Art. 372, S. 337  $M = p \left(\frac{l}{3}\right)^2 \frac{1}{10} = \frac{p l^2}{90}$ . Die Dimensionen  $b$  und  $h$  des rechteckigen Querschnittes (für Holz) sind demnach aus der Gleichung zu bestimmen:

$$N_{max} = K = \pm \left( \frac{U}{b h} + \frac{6 M_{max}}{b h^2} \right).$$

Die Dreieck- und Trapezträger mit einer größeren Anzahl von Lastpunkten werden durch Einfügen von secundären Dreiecken in die oben (Fig. 221 u. 222) dargestellten Trägerformen hergestellt. Die Berechnung ist der vorstehenden analog, kann aber auch bequem nach der Momentenmethode vorgenommen werden.

### 3. Abschnitt.

## D a c h f t ü h l e.

408.  
Dach-  
binder.

Den wesentlichen und charakteristischen Theil der Dachstühle bilden die sog. Dachbinder; sie sind die Hauptträger der Dachconstructions und haben die übrigen Theile derselben, wie Pfetten, Sparren etc.<sup>167)</sup> zu tragen. Sie werden in bestimmten Entfernungen von einander angeordnet.

Im vorliegenden Abschnitt werden wir uns mit der Berechnung der Dachbinder beschäftigen. Was die Querschnittsermittlung der Pfetten, der Sparren, des Windverbandes etc. betrifft, so ist einerseits in den beiden vorhergehenden Abschnitten bereits das Erforderliche vorgeführt worden; andererseits wird im III. Theile dieses »Handbuches« (Band 3, Abschn. 2, E: Dachstuhl-Constructions) nochmals auf diesen Gegenstand zurückgekommen werden.

Bei den meisten Dachconstructions ist jeder Binder unter dem Einflusse der äusseren Kräfte für sich stabil; eine Ausnahme machen die neueren Kuppeldächer und gewisse Arten von Zeltdächern, bei denen alle Binder zusammen ein im Gleichgewicht befindliches System bilden.

Für die Grösse der Belastungen, welche der Berechnung zu Grunde zu legen sind, ist die Stellung der Binder zu einander von grosser Wichtigkeit. Die Binder sind entweder einander parallel gestellt, oder sie convergiren gegen einander. Im ersten Falle ist die Belastung pro Längeneinheit des Binders auf der ganzen Binderlänge constant, im zweiten Falle variabel, und zwar meistens nach dem Gesetze der geraden Linie.

<sup>167)</sup> Es kann hier nicht der Ort sein, die Begriffe »Pfetten, Sparren etc.« zu definiren, eben so wenig als an dieser Stelle auf die Erklärung der verschiedenen Benennungen von Dächern, wie »Sattel-, Walm-, Pult-, Zelt-, Kuppel- etc. Dächer, eingegangen werden kann. Es sei diesfalls auf Theil III. dieses »Handbuches« (Bd. 3, Abschn. 2, D: Dächer und Dachformen) verwiesen.

Nach der Art und Weise, wie die Dachbinder unterstützt sind, lassen sich die Dächer unterscheiden als:

409.  
Classification.

1) Balkendächer oder Dächer, deren Binder bei verticalen Belastungen nur verticale Auflager-Reactionen erleiden (Fig. 227);

Fig. 227.

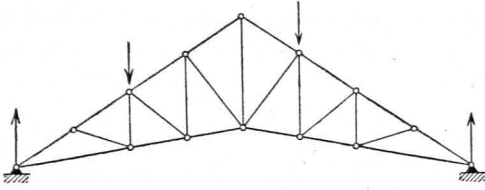
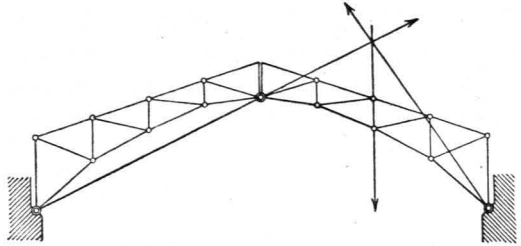


Fig. 228.

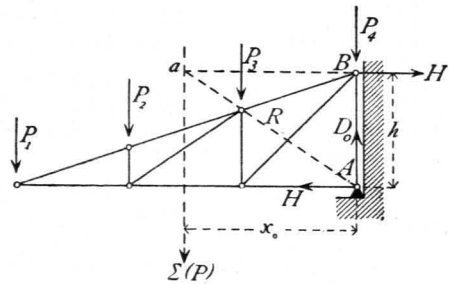


2) Sprengwerkdächer oder Dächer, deren Binder selbst bei nur verticalen Belastungen schiefe Auflager-Reactionen erhalten (Fig. 228), und

3) Console-Dächer oder Dächer, auf deren Binder an den Unterstützungsstellen eine Auflager-Reaction und ein Moment wirkt (Fig. 229).

Es sollen im Vorliegenden nur diejenigen Dachbinder behandelt werden, deren Construction eine genaue Berechnung gestattet, also einmal nur solche mit nicht mehr als zwei Auflagern, sodann von diesen nur jene, welche ohne Rückficht auf den Biegungswiderstand der Verbindungsstellen auch für einseitige und schiefe Belastungen stabil sind. Nicht stabil sind ohne Rückficht auf den erwähnten Biegungswiderstand die Dächer mit liegendem Dachstuhl und die sog. Hängewerksdächer mit zwei Hängefäulen, falls, wie gewöhnlich, die Diagonale im Mittelfelde fehlt: Verzichtet man bei letzteren auf die Annahme verschieden belasteter Dachflächen, so kann die Berechnung genau so durchgeführt werden, wie in Art. 404, S. 371 für den Trapezträger gezeigt ist. \*

Fig. 229.



## 1. Kapitel.

### Belastungen und Auflager-Reactionen.

Im vorliegenden Kapitel sollen die Belastungen, welche auf die Dachstühle wirken, und die durch diese Belastungen erzeugten Auflager-Reactionen aufgefucht werden, während in den drei folgenden Kapiteln die inneren Spannungen in den Dachbindern ermittelt werden sollen.

#### a) Belastungen.

Als Belastungen der Dächer treten hauptsächlich auf: 1) das Eigengewicht des Daches, 2) die Belastung durch Schneedruck und 3) die Belastung durch Winddruck; die sonst etwa vorkommenden Belastungen durch Menschen etc. können als unbedeutend außer Acht gelassen werden.

#### 1) Eigengewicht.

Die Eigengewichte der Dächer setzen sich zusammen aus dem Gewichte der Dachdeckung nebst Zubehör, dem Gewichte der Pfetten, Sparren, des Windver-

410.  
Eigengewicht.

bandes etc. und aus dem Gewichte der Binder. Der erste Factor ist beim Beginn der Berechnung pro Flächeneinheit schräger Dachfläche ziemlich genau bekannt und von der Weite des Daches unabhängig; auch der zweite Factor ist, wenn die Binderentfernung einigermaßen fest steht, leicht zu ermitteln.

Der dritte Factor ist vorläufig unbekannt, kann aber nach ausgeführten, ähnlichen Constructionen geschätzt und demnach vorläufig angenommen werden; derselbe ist übrigens den beiden ersten Factoren gegenüber meistens gering.

Für die erste Berechnung kann man die nachfolgenden vorläufigen Annahmen über das Eigengewicht der Dächer<sup>168)</sup> machen; eine nachherige Gewichtsrechnung muß ergeben, ob diese Annahmen entsprechend waren oder ob eine zweite Rechnung durchzuführen ist.

Eigengewichte  $\gamma$  der Dächer  
pro 1<sup>qm</sup> schräger Dachfläche (in Kilogr.).

α) Holzdächer.		β) Metaldächer.	
Art des Daches	Mittl. Gewicht	Art des Daches	Mittl. Gewicht
Einfaches Ziegeldach . . . . .	102	Asphaltdach mit Fliesenunterlage . . . . .	102
Doppel- u. Kronenziegeldach . . . . .	127	Steinappendach . . . . .	30
Falzziegeldach . . . . .	72	Rohr- und Strohdach ohne Lehm . . . . .	61
Gewöhnliches Schieferdach . . . . .	76	Rohr- und Strohdach mit Lehm . . . . .	76
Dornfches Leimdach . . . . .	61 bis 76	Zink- u. Eisenblechdach auf Holzschalung . . . . .	41
Holzementdach . . . . .	164		
Asphaltdach mit Lehmunterlage . . . . .	61 bis 76	Schiefer auf Winkeleisen	45
		Ebenes Eisenblech auf Winkeleisen . . . . .	25
		Eisenwellenblech auf Winkeleisen . . . . .	22
		Ebenes Zinkblech auf Schalung u. Profileisen . . . . .	48
		Zinkwellenblech auf Winkeleisen . . . . .	15
		Glas auf Winkel-, bezw. Sproffeneisen . . . . .	50

Die Zahlen der vorstehenden Tabelle enthalten die Eigengewichte der Dachbinder noch nicht, sondern nur die Gewichte der Deckmaterialien einchl. Hilfsmaterial, der Lattung, bezw. Schalung, der Sparren und der Pfetten.

Für die Dachbinder können folgende Gewichtsannahmen gemacht werden:

1) Holzdächer (pro 1<sup>qm</sup> schräger Dachfläche):

- a) Dachbinder, stehende oder liegende, mit allem Zubehör an Holztheilen, bei Spannweiten von 7,5 bis 15 m . . . . . 7 bis 13 kg
- b) einfache Hängeböcke, desgl., bei Spannweiten von 10 bis 18 m . . . . . 12 » 18 kg
- c) combinirte Spreng- und Hängeböcke, desgl., bei Spannweiten von etwa 20 m . . . . . 20 » 24 kg
- d) frei tragende Dachbinder verschiedener Constructionsformen, desgl., bei 10 bis 18 m Spannweite . . . . . 20 » 30 kg

2) Eifendächer (pro 1<sup>qm</sup> Horizontalprojection der Dachfläche):

- bei leicht construirten Dachstützen . . . . . 14 » 20 kg
- bei schwer construirten Dachstützen . . . . . 20 » 30 kg

Da es oft bequemer ist, die Belastungen aus der überdeckten Grundfläche statt aus der schrägen Dachfläche zu ermitteln, so sind in der folgenden Tabelle die Eigengewichte  $g$  der Dächer ausschließlich des Gewichtes der Dachbinder pro 1<sup>qm</sup> Horizontalprojection der Dachfläche, und zwar für die verschiedenen vorkommenden Dachneigungen ( $h$  bezeichnet die Höhe,  $L$  die Stützweite des Daches) angegeben.

<sup>168)</sup> Nach: Deutsches Bauhandbuch. Bd. I. Berlin 1879. S. 229. Bd. II. Berlin 1880. S. 127.

Heinzerling, F. Der Eisen-Hochbau der Gegenwart. Aachen 1876—78. Heft I. S. 9.

Tetmajer, L. Die äußeren und inneren Kräfte an statisch bestimmten Brücken- und Dachstuhlconstructions. Zürich 1875. S. 8.

Eigengewichte der Dächer, ausschliesslich Dachbinder,  
pro 1<sup>qm</sup> Horizontalprojection der Dachfläche (in Kilogr.)

Art des Daches:	$\frac{h}{L} =$	$\frac{1}{2}$	$\frac{1}{3}$	$\frac{1}{4}$	$\frac{1}{5}$	$\frac{1}{6}$	$\frac{1}{7}$	$\frac{1}{8}$	$\frac{1}{9}$	$\frac{1}{10}$
		<b>a) Holzdächer.</b>								
Einfaches Ziegeldach . . . . .	144	122	114	—	—	—	—	—	—	—
Doppel- und Kronenziegeldach . . . . .	180	152	142	—	—	—	—	—	—	—
Falzziegeldach . . . . .	102	87	81	77	76	75	74	—	—	—
Gewöhnliches Schieferdach . . . . .	108	91	85	82	—	—	—	—	—	—
Afphaltdach mit Lehmunterlage . . . . .	106	91	84	81	79	78	77	77	77	77
» » Fliesenunterlage . . . . .	144	122	114	110	107	106	105	104	104	104
Steinpappdach . . . . .	42	36	34	32	32	31	31	31	31	30
Zink- und Eifenblechdach auf Holzschalung . . . . .	58	49	46	44	43	42	42	42	42	42
<b>β) Metaldächer.</b>										
Schiefer auf Winkeleifen . . . . .	64	54	50	48	—	—	—	—	—	—
Ebenes Eifenblech auf Winkeleifen . . . . .	35	30	28	27	26	26	26	26	26	26
Eifenwellenblech auf Winkeleifen . . . . .	31	26	25	24	23	23	23	23	23	22
Ebenes Zinkblech auf Schalung und Profileifen . . . . .	68	58	54	52	51	50	49	49	49	49
Zinkwellenblech auf Winkeleifen . . . . .	21	18	17	16	16	16	15	15	15	15
Glas auf Winkel-, bezw. Sproffeneifen . . . . .	71	60	56	54	—	—	—	—	—	—

Beim Holzcementdach hat das Dach eine so geringe Neigung (etwa 1 : 20), dass man als Belastung pro 1<sup>qm</sup> Horizontalprojection der Dachfläche unbedenklich den Werth der Tabelle auf S. 376, d. i. 164 kg annehmen kann.

2) Schneedruck.

Als grösste Schneehöhe, welche ungünstigsten Falles in unserem Klima fällt, ohne dass mittlerweile eine Beseitigung des gefallenen Schnees möglich ist, kann man etwa 0,6 m annehmen; das spezifische Gewicht des Schnees beträgt circa 0,125; mithin ist das Maximalgewicht der Schneelast pro 1<sup>qm</sup> der Horizontalprojection (Fig. 230) 0,125 · 0,6 · 1000 = 75<sup>kg</sup>. Diese Last kommt auf  $\overline{ab}$  Quadratmeter der Dachfläche; da  $\overline{ab} = \frac{1}{\cos \alpha}$  ist, so kommt auf 1<sup>qm</sup> der schrägen Dachfläche eine Schneelast

411.  
Schneedruck.

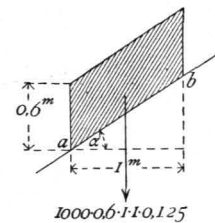


Fig. 230.

$$\sigma = \frac{75}{\overline{ab}} = 75 \cos \alpha \quad . . . \quad 271.$$

Für die verschiedenen Verhältnisse der Firthehöhe  $h$  zur Stützweite  $L$  ergeben sich demnach die in folgender Tabelle zusammengestellten

Maximal-Belastungen  $\sigma$  durch Schneedruck  
pro 1<sup>qm</sup> schräger Dachfläche.

Für $\frac{h}{L} =$	$\frac{1}{2}$	$\frac{1}{3}$	$\frac{1}{4}$	$\frac{1}{5}$	$\frac{1}{6}$	$\frac{1}{7}$	$\frac{1}{8}$	$\frac{1}{9}$	$\frac{1}{10}$
$\alpha =$	45°	33° 41'	26° 40'	21° 50'	18° 25'	16°	14°	12° 30'	11° 20'
$\sigma =$	53	62	67	70	71	72	73	73	73 Kilogr.

Für 1<sup>qm</sup> Horizontalprojection der Dachfläche beträgt die ungünstigste Schneebelastung 75<sup>kg</sup>.

3) Winddruck.

412.  
Winddruck.

Die Größe des Winddruckes pro 1<sup>qm</sup> der normal zur Windrichtung stehenden Ebene ist dem Quadrate der Geschwindigkeit des Windes proportional. Wird der Winddruck mit  $P$  bezeichnet, die normal getroffene Fläche mit  $F$  und die Geschwindigkeit des Windes pro Secunde mit  $V$  (in Metern), so ist nach *d' Aubuiffon* <sup>169)</sup>

$$P = 0,11 \cdot 1,231 F^{1,1} V^2 \text{ Kilogr.}$$

Für gewöhnliche Verhältnisse wird es genügen,  $F$  in der ersten Potenz einzuführen. Der Druck pro 1<sup>qm</sup> ergibt sich alsdann zu  $p = 0,1354 V^2$ . Nach *Winkler* ist  $p = 0,12 V^2$ , nach *Ott*  $p = 0,113 V^2$ .

Wählt man  $p = 0,135 V^2$  und nimmt als größte Windgeschwindigkeit  $V = 30^m$  an, welche bedeutende Geschwindigkeit nur ganz ausnahmsweise eintritt, so erhält man rot.

$$p = 120 \text{ Kilogr.} \dots \dots \dots 272.$$

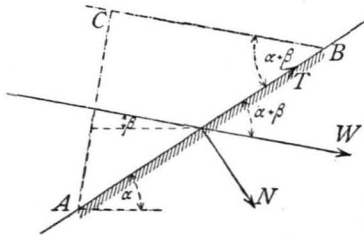
Selbstverständlich muß man die Größe von  $p$  eventuell modificiren, wenn ein Gebäude an besonders ausgesetzter Stelle in einer Gegend gebaut wird, in welcher notorisch starke Stürme wehen. In solchen Gegenden kann man  $V = 40^m$ , eventuell noch größer annehmen. Für  $V = 40^m$  ergibt sich  $p = 216,6 = \approx 220 \text{ kg}$ . Man ist neuerdings bis zu der Annahme  $p = 250 \text{ kg}$  gegangen.

Die Windrichtung schließt nach den gemachten Beobachtungen einen Winkel von nahezu 10 Grad mit der Horizontalen ein. Dieser Winkel möge  $\beta$ , der Winkel der Dachfläche mit der Horizontalen  $\alpha$  genannt werden. Es ist zu untersuchen, wie der Winddruck die Dachfläche belastet.

Der Druck zwischen zwei sich berührenden Körpern kann höchstens um einen Winkel von der Normalen zur Berührungsfläche abweichen, welcher gleich ist dem Reibungswinkel. Zwischen der Dachfläche und der sie umspielenden Luft findet keine Reibung statt; der Reibungswinkel ist hier also gleich Null; mithin ist der Druck zwischen der Dachfläche und der Luft stets normal zur Dachfläche gerichtet. Es kann also nur diejenige Componente des Winddruckes, welche normal zur Dachfläche gerichtet ist, durch einen Gegendruck der Dachfläche aufgehoben werden, d. h. auf die Dachconstruction wirken; die andere Componente des Winddruckes hat auf die Dachconstruction keinen Einfluß.

Es ist demnach die Normalcomponente  $N$  (Fig. 231) zu ermitteln und in die Rechnung einzuführen. Der Druck gegen die vom Winde getroffene Dachfläche

Fig. 231.



der Länge normal zur Bildfläche gleich der Einheit sei, ist  $W = 120 AC$ , wenn  $AC$  die Projection der Fläche  $AB$  auf die normal zur Windrichtung stehende Ebene ist. Nun ist  $AC = AB \sin(\alpha + \beta)$ , mithin

$$W = 120 AB \sin(\alpha + \beta).$$

Die normal zur Dachfläche gerichtete Componente des Winddruckes  $W$  ist alsdann  $N = W \sin^2(\alpha + \beta)$ , also

$$N = 120 AB \sin^2(\alpha + \beta),$$

und der Normaldruck auf 1<sup>qm</sup> der Dachfläche

$$\frac{N}{AB} = 120 \sin^2(\alpha + \beta) \text{ oder } v = 120 \sin^2(\alpha + 10^\circ) \dots \dots 273.$$

Aus Gleichung 273. ergeben sich für die verschiedenen Dachneigungen die in folgender Tabelle angeführten Werthe für  $v$ .

<sup>169)</sup> Rühlmann, M. Hydromechanik. Leipzig 1857. S. 490.

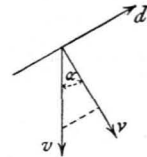
Normal-Belastungen  $v$  durch Winddruck  
pro 1<sup>qm</sup> schräger Dachfläche

Für $\frac{h}{L} =$	$\frac{1}{2}$	$\frac{1}{3}$	$\frac{1}{4}$	$\frac{1}{5}$	$\frac{1}{6}$	$\frac{1}{7}$	$\frac{1}{8}$	$\frac{1}{9}$	$\frac{1}{10}$
$\alpha =$	45°	33°41'	26°40'	21°50'	18°25'	16°	14°	12°30'	11°20'
$v = \text{rot.}$	81	57	43	34	27	23	20	18	16 Kilogr.

Zerlegt man den Normaldruck  $v$  in eine verticale und eine in die Richtung der Dachfläche fallende Componente (Fig. 232), so wird die erstere

Fig. 232.

pro 1<sup>qm</sup> der Dachfläche  $v = \frac{v}{\cos \alpha}$  und pro 1<sup>qm</sup> Horizontalprojection der Dachfläche



$$v = \frac{v}{\cos^2 \alpha} = \frac{120 \sin^2 (\alpha + 10^\circ)}{\cos^2 \alpha} \dots 274.$$

Die Werthe für  $v$  sind in der nachstehenden Tabelle angegeben.

Für $\frac{h}{L} =$	$\frac{1}{2}$	$\frac{1}{3}$	$\frac{1}{4}$	$\frac{1}{5}$	$\frac{1}{6}$	$\frac{1}{7}$	$\frac{1}{8}$	$\frac{1}{9}$	$\frac{1}{10}$
$v =$	162	82	54	40	30	25	21	19	17 Kilogr.

Außer den hier angeführten Belastungen kommen häufig noch andere vor, indem unter dem Dache befindliche Decken-Constructions an den Dachstuhl angehängt werden. In diesem Falle wirkt der Dachbinder auch noch als Träger; alsdann sind die durch die erwähnte Mehrbelastung entstehenden Spannungen in der im 2. Kapitel des vorhergehenden Abschnittes angegebenen Weise zu berechnen und zu den außerdem im Dachbinder ermittelten Spannungen zu addiren. Wir werden diesen aufsergewöhnlichen, aber nicht schwierigen Fall nicht weiter behandeln.

4) Belastungen pro Knotenpunkt.

Aus den vorstehend angegebenen Belastungen pro 1<sup>qm</sup> der Dachfläche erhält man nun leicht die auf das laufende Meter der Dachbinder wirkenden äußeren Kräfte. Wird die Entfernung der parallel zu einander angeordneten Dachbinder gleich  $b$  gefetzt, so ergibt sich das Eigengewicht und die Schneelast pro lauf. Meter Stützweite der Binder, wenn noch  $q'$  das Eigengewicht pro 1<sup>qm</sup> Grundfläche incl. Binder-gewicht bezeichnet, zu

413.  
Knotenpunkts-  
Belastungen.

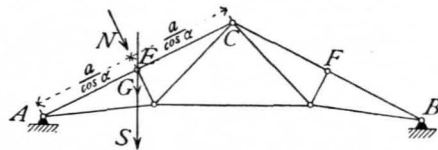
$$g = b q' \text{ und } s = 75 b, \dots 275.$$

der Winddruck pro lauf. Meter schräger Dachlinie zu

$$n = b v \dots 275^a.$$

Sind die Dachbinder einander nicht parallel, so ist die Belastung pro lauf. Meter Binder variabel, entsprechend der veränderlichen Dachfläche, welche auf die einzelnen Bindertheile entfällt.

Fig. 233.



Die auf die einzelnen Knotenpunkte entfallenden Lasten werden nun erhalten, indem man die Belastung pro lauf. Meter Stützweite, bezw. schräger Dachlinie mit derjenigen Länge multiplicirt, welche auf einen Knotenpunkt entfällt. Für den Knotenpunkt  $E$  (Fig. 233) wird demnach

$$G = a b q', S = 75 a b \text{ und } N = \frac{a}{\cos \alpha} b v \dots 276.$$

Man könnte die Werthe für  $G$ ,  $S$  und  $N$  auch nach der Theorie der continuirlichen Träger bestimmen, indem man  $AEC$  als continuirlichen Träger auf 3 Stützen auffazt; doch dürfte die angegebene

einfachere Methode sich mehr empfehlen, da die Annahmen, welche der Berechnung der continuirlichen Träger zu Grunde gelegt werden, hier doch nicht genau erfüllt sind und die größere Complicirtheit der Rechnung kein entsprechend genaueres Resultat giebt.

### 5) Belastungsannahmen.

414.  
Belastungs-  
annahmen.

Sämmtliche Lasten werden in den Knotenpunkten des Systemes wirkend angenommen. Die Eigengewichte wirken zum allergrößten Theile in den Knotenpunkten derjenigen Gurtung, die in den Dachflächen liegt; nur ein ganz geringer Bruchtheil wirkt in den Knotenpunkten der anderen Gurtung. Meistens kann man annehmen, daß die Eigenlasten ganz in den ersteren Knotenpunkten concentrirt sind.

Die Windbelastung kann nur einseitig wirken; denn da die Windrichtung einen Winkel  $\beta = 10$  Grad mit der Horizontalebene einschließt, so kann der Wind beide Dachflächen nur dann treffen, wenn diese einen kleineren Winkel mit der Horizontalen bilden, als 10 Grad. Für so flache Dächer ist aber der Winddruck so gering, daß er ungefährlich ist. Der Winddruck ist also stets einseitig zu rechnen.

Der Schnee endlich kann das ganze Dach oder einen Theil desselben belasten. Wenn nun auch für manche Stäbe eventuell eine Schneebelastung über einen bestimmten Bruchtheil des Daches die ungünstigste Beanspruchung ergeben sollte, so werden wir doch diese der Berechnung nicht zu Grunde legen, weil dieselbe nur in den allerfeltesten Fällen einmal vorkommen kann; vielmehr werden wir nur totale Belastung des Daches und Belastung der einen Dachhälfte durch Schnee ins Auge fassen. Wir werden später zeigen, daß die zweite Belastungsart Resultate ergiebt, aus denen die Spannungen für totale Schneebelastung ohne Schwierigkeit abgelesen werden können.

### b) Auflager-Reactionen bei Balkendächern.

415.  
Verticale  
Belastungen.

Die Auflager-Reactionen, welche verticale Belastungen (Eigengewicht und Schneedruck) erzeugen, sind, da der Dachbinder genau wie ein Träger auf zwei Stützen wirkt, eben so zu ermitteln, wie bei den »Trägern« (Kap. 2 des vorhergehenden Abschnittes) gezeigt worden ist.

416.  
Schiefe  
Belastungen.

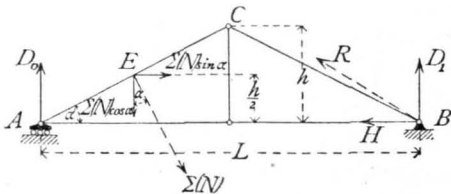
Sind die Auflager-Reactionen zu ermitteln, welche die schiefen Winddruckbelastungen erzeugen, so haben wir zwei Fälle zu unterscheiden: entweder sind alle Winddrücke einander parallel, welcher Fall eintritt, wenn die vom Winde getroffene Dachfläche eine Ebene ist, oder die Winddrücke sind nicht parallel, welcher Fall eintritt, wenn die vom Winde getroffene Dachfläche sich aus mehreren Ebenen zusammensetzt.

Für beide Fälle ist zunächst klar, daß der Dachbinder nicht einfach frei auf die Stützpunkte gelagert werden darf.

Denn ist  $\Sigma(N)$  die Resultirende aller Winddrücke (Fig. 234), so hat  $\Sigma(N)$  eine horizontale Componente  $\Sigma(N) \sin \alpha$ . Gleichgewicht ist also nur möglich, wenn Seitens des einen der beiden Auflager eine Horizontal-Reaction  $H = \Sigma(N) \sin \alpha$  auf den Binder wirkt; es muß also das Dach in  $A$  oder  $B$  fest oder unverrückbar mit dem Auflager verbunden werden.

Wollte man ein eisernes Dach in

Fig. 234.



beiden Punkten *A* und *B* fest mit dem Auflager verbinden, so würde dasselbe bei Aenderung der Temperatur nicht im Stande sein, sich auszudehnen, bzw. zusammenzuziehen; es würden demnach durch die Temperaturveränderungen wesentliche Spannungen im Dache entstehen, event. die stützenden Wände gelockert werden. Man construirt deshalb bei eisernen Dachstühlen das eine Auflager so, daß dasselbe eine freie Ausdehnung und Zusammenziehung gestattet; das andere stellt eine feste Verbindung zwischen Träger und stützender Wand her. Wir wollen in der Folge stets ein festes und ein bewegliches Auflager, und zwar das Auflager bei *A* als das bewegliche, dasjenige bei *B* als das feste annehmen. Nehmen wir ferner an, daß das Auflager bei *A* eine Bewegung ohne Reibung gestattet, so kann die Reaction bei *A* nur vertical wirken. Diese Annahme ist nicht genau richtig, aber für die Praxis ausreichend. Die Reaction bei *B* dagegen kann beliebige Richtung annehmen.

Es ergeben sich hier verschiedene Auflager-Reactionen, je nachdem die Windbelastung auf derjenigen Dachseite stattfindet, an welcher das bewegliche Auflager *A* ist, oder auf derjenigen, an welcher das feste Auflager *B* liegt.

1) Die Winddrücke sind parallel. α) Diejenige Dachhälfte ist belastet, an welcher das bewegliche Auflager liegt (Fig. 234). Die Mittelkraft Σ (*N*) sämtlicher Winddrücke greife in der Mitte von *AC*, etwa in *E* an und sei gleich der Summe aller Einzeldrücke. Σ (*N*) zerlegt sich im Punkte *E* in eine horizontale und eine verticale Componente Σ (*N*) sin α und Σ (*N*) cos α; in *A* wirkt die verticale Auflager-Reaction *D*<sub>0</sub>, in *B* die schiefe Auflager-Reaction *R*, welche gleichfalls in eine horizontale Componente *H* und in eine verticale Componente *D*<sub>1</sub> zerlegt wird. Die drei Unbekannten *D*<sub>0</sub>, *D*<sub>1</sub> und *H* erhalten wir durch die drei Gleichgewichtsbedingungen. Es ist

$$0 = \Sigma(N) \sin \alpha - H, \text{ woraus } H = \Sigma(N) \sin \alpha \dots 277.$$

$$D_0 L + \Sigma(N) \sin \alpha \frac{h}{2} - \Sigma(N) \cos \alpha \frac{3}{4} L = 0, \text{ woraus, da } \operatorname{tg} \alpha = \frac{2h}{L},$$

$$D_0 = \Sigma(N) \frac{\cos \alpha}{4} (3 - \operatorname{tg}^2 \alpha) \dots 278.$$

$$D_1 L - \Sigma(N) \sin \alpha \frac{h}{2} - \Sigma(N) \cos \alpha \frac{L}{4} = 0,$$

woraus

$$D_1 = \frac{\Sigma(N)}{4 \cos \alpha} \dots 279.$$

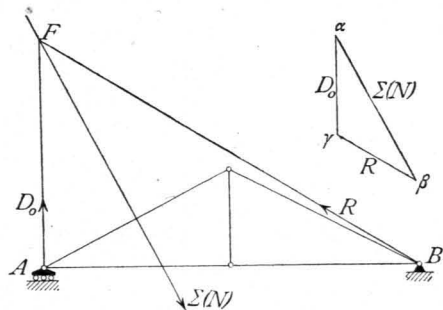
Auf graphischem Wege geschieht die Ermittlung der Auflager-Reactionen in der durch Fig. 235 veranschaulichten Weise.

Die drei auf das System wirkenden Kräfte *D*<sub>0</sub>, *R* und Σ (*N*) halten dasselbe im Gleichgewicht, schneiden sich also in einem Punkte; die Kraft *R* geht sonach durch den Schnittpunkt *F* der Kräfte *D*<sub>0</sub> und Σ (*N*). *R* geht auch durch *B*; also ist *BF* die Richtung der Kraft *R*. Das Kräfte-dreieck für diese drei Kräfte ergibt, wenn αβ = Σ (*N*) ist, *R* = βγ und *D*<sub>0</sub> = γα.

β) Diejenige Dachhälfte ist belastet, an welcher das feste Auflager liegt (Fig. 236). Die Mittelkraft Σ (*N*) greift in der Mitte der rechtsseitigen Dachfläche, in *E'* an und zerlegt sich in eine verticale und eine horizontale Componente. Wir erhalten durch Aufstellung der Gleichgewichtsbedingungen:

417.  
Parallele  
Winddrücke.

Fig. 235.





$$0 = H' - \Sigma (N) \sin \alpha, \text{ woraus } H' = \Sigma (N \sin \alpha) \dots 280.$$

$$0 = D'_0 L - \Sigma (N) \sin \alpha \frac{h}{2} - \Sigma (N) \cos \alpha \frac{L}{4}, \text{ woraus } D'_0 = \frac{\Sigma (N)}{4 \cos \alpha} \dots 281.$$

$$0 = D'_1 L + \Sigma (N) \sin \alpha \frac{h}{2} - \Sigma (N) \cos \alpha \frac{3}{4} L,$$

woraus

$$D'_1 = \frac{\Sigma (N) \cos \alpha}{4} (3 - \text{tg}^2 \alpha) \dots 282.$$

Man sieht, es ist  $D_0 = D'_1$ ,  $D_1 = D'_0$  und  $H = H'$ ; nur ist bei  $H'$  der Sinn demjenigen von  $H$  entgegengesetzt.

Durch Construction lassen sich die Auflager-Reactionen im vorliegenden Falle, wie in Fig. 236 gezeigt, ermitteln.

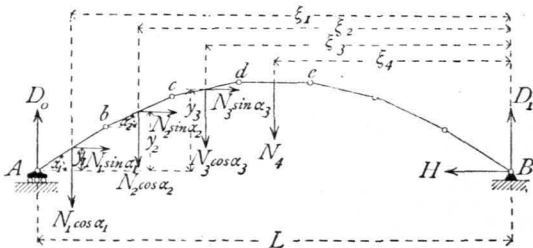
Die drei Kräfte  $D'_0$ ,  $\Sigma (N)$  und die Mittelkraft  $R'_1$  von  $H'$  und  $D'_1$  sind im Gleichgewichte, schneiden sich also in einem Punkte, und zwar in demjenigen Punkte, in welchem die Richtungen von  $D'_0$  und  $\Sigma (N)$  sich schneiden, also in  $F$ . Die Verbindungslinie der beiden Punkte  $B$  und  $F$  ergibt demnach die Richtung der Kraft

$R'_1$ . Ist  $\Sigma (N) = \varepsilon \xi$ , so wird  $\xi \eta = R'_1$  und  $\eta \varepsilon = D'_0$ .

418.  
Nicht  
parallele  
Winddrücke.

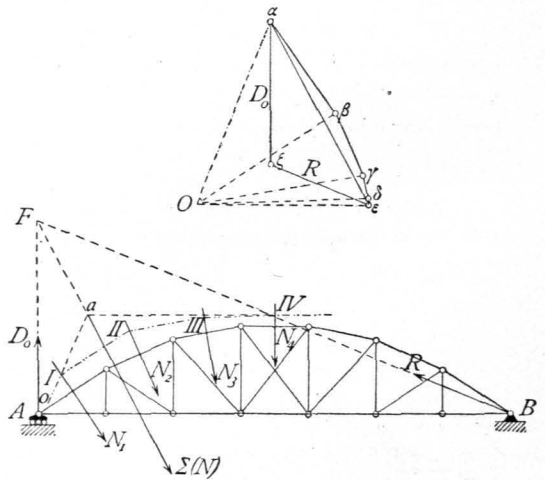
2) Die Winddrücke haben nicht parallele Richtungen.  $\alpha$ ) Diejenige Dachhälfte ist belastet, an welcher das bewegliche Auflager liegt. Bei gebrochener Dachfläche werden die Winddrücke, welche auf die einzelnen Flächen wirken, nach den Angaben des Art. 412, S. 378 ermittelt. Bei einer cylindrischen Dachfläche genügt es, einzelne Dachtheile zusammenzufassen und für jeden dieser Theile den Winddruck unter Zugrundelegung eines mittleren Neigungswinkels  $\alpha$  zu bestimmen. Man

Fig. 237.



erhält etwa  $N_1$  für die Strecke  $Ab$  (Fig. 237),  $N_2$  für  $bc$  etc. Die Zerlegung jeden Winddruckes in eine horizontale und eine verticale Componente und die Aufstellung der Gleichgewichtsbedingungen ergibt uns die Unbekannten  $D_0$ ,  $D_1$  und  $H$ . Es wird

Fig. 238.



$$\left. \begin{aligned} H &= \Sigma (N \sin \alpha), \quad D_0 = \frac{1}{L} \Sigma (N \xi \cos \alpha) - \frac{1}{L} \Sigma (N y \sin \alpha), \\ D_1 &= \frac{1}{L} \Sigma [N(L - \xi) \cos \alpha] + \frac{1}{L} \Sigma (N y \sin \alpha) \end{aligned} \right\} \dots 283.$$

Die graphische Ermittlung der Auflager-Reactionen zeigt Fig. 238.

Die einzelnen Winddrücke ( $N_1, N_2, N_3 \dots$ ) werden mittels eines Kraftpolygons  $\alpha \beta \gamma \delta \varepsilon$  zu einer Resultirenden vereinigt; hierauf wird für einen beliebigen Pol  $O$  das Seilpolygon  $O I I I I I V$  conftruirt. Alsdann geht die Resultirende durch den Schnittpunkt  $a$  der äußersten Seilpolygonseiten und ist parallel zu  $\alpha \varepsilon$ . Jetzt ersetzt  $\Sigma (N)$  alle Winddrücke, und es wirken nur noch die drei Kräfte  $D_0, \Sigma (N)$  und  $R$ , so daß die graphische Ermittlung von  $D_0$  und  $R$  in der foeben gezeigten Weise erfolgen kann. Es ergibt sich  $\varepsilon \xi = R$  und  $\xi \alpha = D_0$ .

Wenn die Dachfläche aus einzelnen ebenen Dach- und Laternenflächen sich zusammensetzt, so ist das Verfahren genau so, wie eben angegeben.

β) Diejenige Dachhälfte ist belastet, an welcher das feste Auflager liegt (Fig. 239). Die Berechnung ergibt

$$\left. \begin{aligned} H' &= \Sigma (N \sin \alpha), \quad D'_1 = \frac{1}{L} \Sigma (N \xi' \cos \alpha) - \frac{1}{L} \Sigma (N y \sin \alpha), \\ D'_0 &= \frac{1}{L} \Sigma [N(L - \xi') \cos \alpha] + \frac{1}{L} \Sigma (N y \sin \alpha) \end{aligned} \right\} \dots 284.$$

Die Conftruction von  $D'_0$  und  $R'_1$  ist in Fig. 241 angegeben.

Die Ermittlung der Werthe für  $N_1, N_2, N_3$  kann bequem graphisch vorgenommen werden. Nach Art. 412 ist der Winddruck pro  $1 \text{ qm}$ :  $v = 120 \sin^2 (\alpha + 10^\circ)$ . Diefes  $v$  ist nach Fig. 240 leicht für irgend einen Winkel  $\alpha$  zu conftruiren.

Man mache in der Dachfläche nach beliebigem Maßstabe  $ab = 120 \text{ kg}$ , lege durch  $b$  eine Linie parallel zur Windrichtung und falle auf dieselbe von  $a$  aus die Normale  $ac$ ; alsdann ist  $\overline{ac} = \overline{ab} \sin (\alpha + 10^\circ)$ . Ferner ziehe man von  $c$  aus die Normale  $cd$  auf  $ab$ ; alsdann ist  $\overline{ad} = \overline{ac} \sin (\alpha + 10^\circ) = \overline{ab} \sin^2 (\alpha + 10^\circ)$ . Da  $\overline{ab} = 120 \text{ kg}$  ist, so ist  $\overline{ad} = 120 \sin^2 (\alpha + 10^\circ) = v$ , d. h. der gefuchte Winddruck. Trägt man  $ad$  normal zur Dachfläche ab, so erhält man die in Fig. 240 schraffierte Belastungsfläche für Winddruck.

Bildet die Dachfläche eine Cylinderfläche, so wähle man eine genügend grose

Fig. 240.

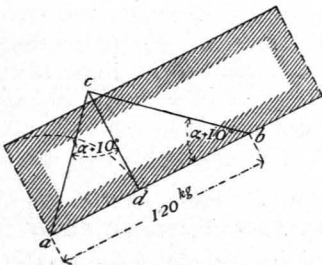


Fig. 239.

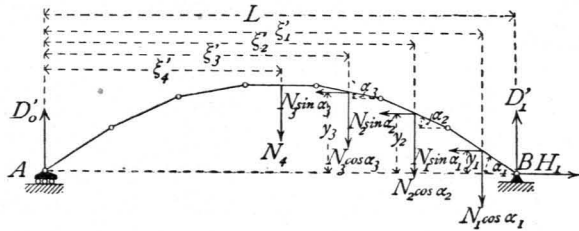


Fig. 241.

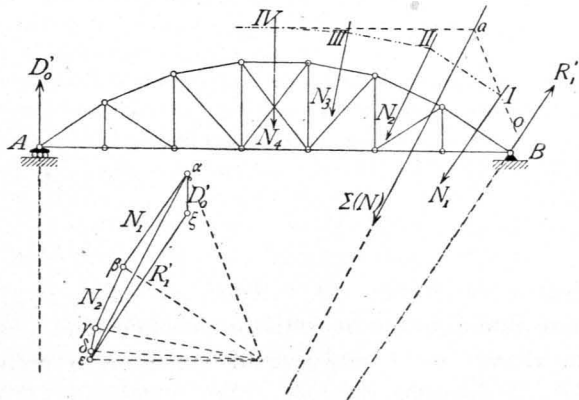


Fig. 242.

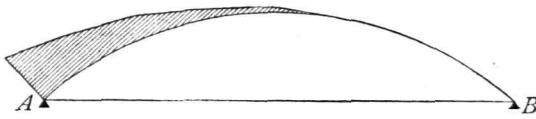
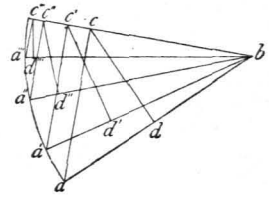


Fig. 243.



Anzahl von Punkten aus, für welche man die gezeigte Construction vornimmt. Man erhält die in Fig. 242 gezeichnete Belastungsfläche, und kann daraus leicht die Größe des Winddruckes ermitteln, welcher auf die einzelnen Stützpunkte (Knotenpunkte der Construction) entfällt.

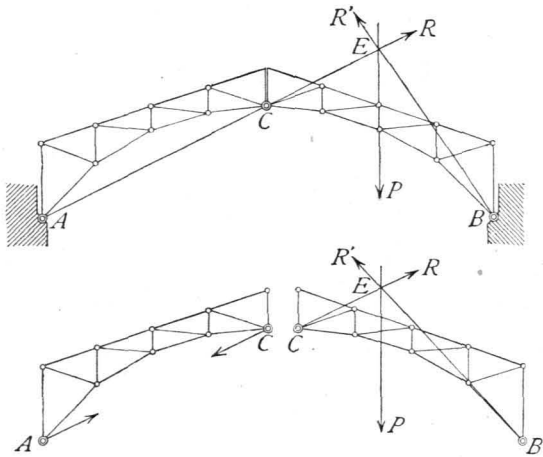
Bequemer macht man die Construction der Winddrücke in einer befonderen Figur (Fig. 243) und erhält  $a d$ , bzw.  $a' d'$ ,  $a'' d''$  . . .

**c) Auflager-Reactionen bei Sprengwerksdächern.**

419.  
Allgemeines.

Von den Sprengwerksdächern sollen hier nur diejenigen behandelt werden, deren Binder mit drei Gelenken construiert sind (Fig. 244.) Zwei Gelenke befinden sich an den Auflagerpunkten  $A$  und  $B$ , ein drittes  $C$  gewöhnlich in der Bindermitte.

Fig. 244.



Betrachtet man zunächst den Träger selbst als gewichtslos, so ergibt sich folgendes allgemeine Gesetz: Jede Belastung der einen Hälfte, etwa  $CB$ , erzeugt im Auflagerpunkt der nicht belasteten Hälfte eine Reaction, deren Richtung durch den betreffenden Auflagerpunkt, hier  $A$ , und das Mittelgelenk  $C$  bestimmt ist.

Eine Last  $P$  auf der Hälfte  $BC$  erzeugt also in  $A$  eine Reaction  $R$  mit der Richtung  $AC$ , und da auf das System nur drei Kräfte, nämlich die Last  $P$  und die Reactionen der Auflager  $A$  und  $B$  wirken, so müssen sich dieselben in einem Punkte schneiden. Daraus folgt, daß die Reaction  $R'$  von  $B$  aus durch den Schnittpunkt  $E$  der Richtungen  $AC$  und  $P$  geht.

Der Beweis obigen Satzes ergibt sich folgender Mafsen. Auf die rechte Hälfte  $BC$  wirken  $P$ ,  $R$  und  $R'$ , auf die linke Hälfte die Reaction in  $A$  und eine Kraft in  $C$ . Beide sind vor der Hand unbekannt; doch wissen wir, daß nach dem Princip von Wirkung und Gegenwirkung die in  $C$  auf den Theil links wirkende Kraft genau so groß ist, wie die Kraft, welche in  $C$  auf den rechten Theil wirkt, d. h. wie  $R$ ; nur ist der Sinn beider entgegengesetzt. Die beiden auf die unbelastete linke Hälfte wirkenden Kräfte halten diesen Theil im Gleichgewicht; dies ist aber nur möglich, wenn beide in dieselbe Richtung fallen, welche durch die beiden Angriffspunkte  $A$  und  $C$  gegeben ist, entgegengesetzten Sinn und gleiche Größe haben; die Reaction von  $A$  geht also durch  $C$ . Damit ist obiger Satz allgemein bewiesen.

420.  
Verticale  
Belastungen.

Es kommen zunächst die verticalen Belastungen (Eigengewicht und Schneeeindruck) in Frage. Die Reactionen in  $A$  und  $B$  (Fig. 245) haben je eine horizontale und eine verticale Componente. Wir bezeichnen dieselben mit  $H$  und  $V$ ,  $H_1$  und  $V_1$ . Sind diese 4 Werthe bekannt, so ist Alles auf die äußeren Kräfte sich Beziehende bekannt. Wir betrachten zuerst das Gleichgewicht der rechten

Fig. 245.

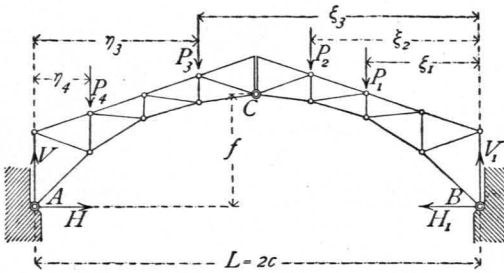
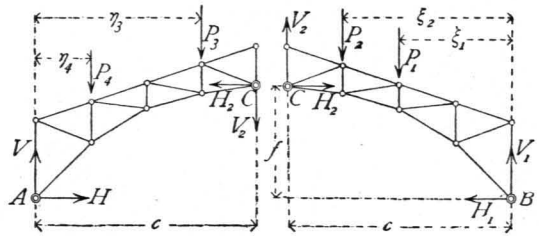


Fig. 246.



Hälfte (Fig. 246). In C wirkt auf dieselbe eine Kraft, deren Componenten  $H_2$  und  $V_2$  sein mögen. Alsdann ist die Summe der statischen Momente für B als Drehpunkt gleich Null, mithin

$$H_2 f + V_2 c - \Sigma (P \xi) = 0.$$

Betrachtet man nun die linke Hälfte (Fig. 246), so wirkt auf diese in C eine genau so große Kraft, wie in C auf die rechte Hälfte wirkt; nur ist der Sinn entgegengesetzt. Es werden demnach die Componenten dieser Kraft wiederum  $H_2$  und  $V_2$ , aber mit entgegengesetztem Sinne sein. Die Summe der statischen Momente für A als Drehpunkt ist gleich Null; mithin, wenn stets die Summationen, die sich auf die linke Hälfte beziehen, mit dem Index 1 bezeichnet werden,

$$H_2 f - V_2 c - \Sigma_1 (P \eta) = 0.$$

Aus diesen beiden Gleichungen erhalten wir

$$H_2 = \frac{\Sigma (P \xi) + \Sigma_1 (P \eta)}{2f} \quad \text{und} \quad V_2 = \frac{\Sigma (P \xi) - \Sigma_1 (P \eta)}{L} \quad \dots \quad 285.$$

Die Anwendung der übrigen Gleichgewichtsbedingungen auf die beiden Hälften ergibt nun leicht

$$\left. \begin{aligned} H = H_2 = H_1 &= \frac{\Sigma (P \xi) + \Sigma_1 (P \eta)}{2f} \\ V = V_2 + \Sigma_1 (P) &= \frac{\Sigma (P \xi) + \Sigma_1 (P \xi)}{L} \\ V_1 = \Sigma (P) - V_2 &= \frac{\Sigma [P(L - \xi)] + \Sigma_1 [P(L - \xi)]}{L} \end{aligned} \right\} \dots \quad 286.$$

Die Verticalcomponenten der Auflager-Reactionen sind demnach genau so groß, wie bei gleicher Belaftung an einem Balkenträger von der Spannweite  $L$ . Jetzt sind auch die Resultirenden  $R$  und  $R_1$ , so wie deren Winkel  $\alpha$  und  $\alpha_1$  mit der Horizontalen gefunden. Es werden

$$R = \sqrt{H^2 + V^2} \quad \text{und} \quad \text{tg } \alpha = \frac{V}{H}; \quad R_1 = \sqrt{H_1^2 + V_1^2} \quad \text{und} \quad \text{tg } \alpha_1 = \frac{V_1}{H_1} \quad 287.$$

Beispiel. 1) Die beiden Dachhälften seien gleich belaftet, je mit  $g$  pro Längeneinheit der Horizontalprojection (Fig. 247). Dann ist

$$\begin{aligned} \Sigma (P) = \Sigma_1 (P) &= g c; \quad \Sigma (P \xi) = \Sigma_1 (P \eta) = \frac{g c^2}{2}; \\ H = \frac{g c^2}{2f}; \quad V_2 &= 0; \quad V = V_2 + \Sigma_1 (P) = g c; \quad V_1 = \Sigma (P) - V_2 = g c \quad \dots \quad 288. \end{aligned}$$

Fig. 247.

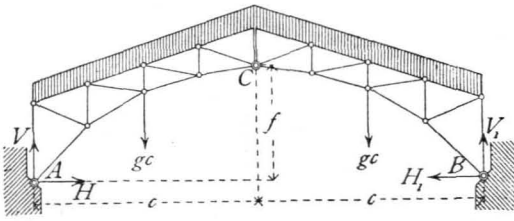
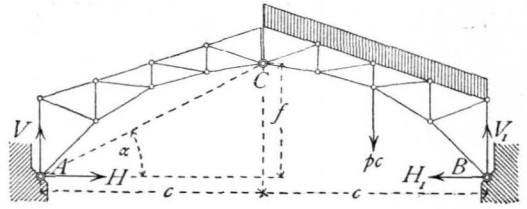


Fig. 248.



2) Die eine (rechte) Hälfte sei mit  $p$  pro Längeneinheit der Horizontalprojection belaftet, die andere (linke) Hälfte sei unbelaftet (Fig. 248). Alsdann ist

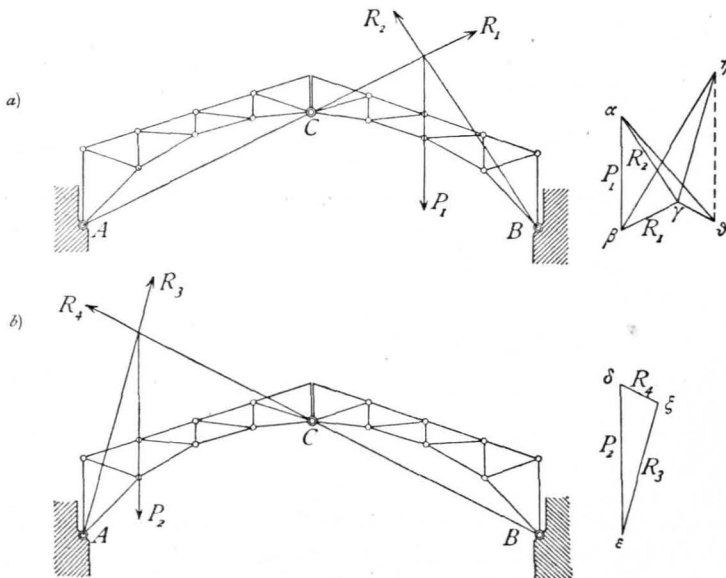
$$\Sigma(P) = p c; \quad \Sigma_1(P) = 0; \quad \Sigma(P\xi) = \frac{p c^2}{2}; \quad \Sigma_1(P\eta) = 0;$$

$$H_2 = H = H_1 = \frac{p c^2}{4 f}; \quad V_2 = \frac{p c^2}{2 \cdot 2 c} = \frac{p c}{4}; \quad V = \frac{p c}{4}; \quad V_1 = \frac{3 p c}{4} \quad . . . \quad 289.$$

Hier ist nach Gleichung 287.  $\text{tg } \alpha = \frac{p c \cdot 4 f}{4 p c^2} = \frac{f}{c}$ , d. h. die Richtung von  $R$  geht durch  $A$  und  $C$ , wie oben bereits auf anderem Wege bewiesen ist.

Die graphische Ermittlung der in Rede stehenden Auflager-Reactionen ist in Fig. 249 dargestellt.

Fig. 249.



Es empfiehlt sich für beliebige Belaftung zuerst nur die eine Hälfte belaftet anzunehmen und für diese Belaftung die Reactionen zu ermitteln, darauf die Reactionen für die Belaftung nur der anderen Hälfte aufzufuchen. Die Zusammenfassung der für die einzelnen Belaftungen gefundenen Reactionen er giebt alsdann die wirklichen Reactionen. Es sei zunächst nur die rechte Hälfte belaftet und die Resultirende dieser Lasten gleich  $P_1$ ; alsdann haben  $R_1$  und  $R_3$  die in Fig. 249 a gezeichneten Richtungen, und es ergibt sich die Größe beider durch das Kraftpolygon zu  $\beta \gamma = R_1$  und  $\gamma \alpha = R_3$ . In gleicher Weise erhält man  $\epsilon \xi = R_3$  und  $\xi \delta = R_4$ .

In  $A$  wirken nun  $R_1$  und  $R_3$ , in  $B$ :  $R_2$  und  $R_4$ . Die Größe und Richtung der Totalreactionen  $R$  und  $R'$  erhält man durch Construction der Kraftpolygone aus den bezüglichen Kräften. Ist  $\gamma \eta = R_3$ , so wird  $\beta \eta = R$ ; ist  $\delta \eta \parallel \xi \delta = R_4$ , so wird  $\delta \alpha = R'$ .

Als Controle diene, das die Horizontalprojectionen von  $R$  und  $R'$  gleich sein müssen, da ja  $H$  im ganzen Sprengwerksträger constant ist.

Uebergehen wir nunmehr zu den vom Winddruck (schiefe Belaftung) erzeugten Auflager-Reactionen, so sei  $\Sigma(N)$  die Resultirende aller Winddrücke (Fig. 250). Wir zerlegen diese Kraft in  $\Sigma(N) \cos \alpha$  und  $\Sigma(N) \sin \alpha$  und erhalten wie im vorhergehenden Artikel die Gleichgewichtsbedingungen:

421.  
Schiefe  
Belaftungen.

$$H_2 f + V_2 c = \Sigma (N) y \sin \alpha + \Sigma (N) \xi \cos \alpha \quad \text{und} \quad H_2 f - V_2 c = 0, \quad \text{woraus}$$

$$H_2 = \frac{\Sigma (N) y \sin \alpha + \Sigma (N) \xi \cos \alpha}{2 f} \quad \text{und} \quad V_2 = \frac{\Sigma (N) y \sin \alpha + \Sigma (N) \xi \cos \alpha}{2 c} \quad 290.$$

Es ist ferner

$$H = H_2 - \Sigma (N) \sin \alpha = \frac{\Sigma (N) y \sin \alpha + \Sigma (N) \xi \cos \alpha}{2 f} - \Sigma (N) \sin \alpha \quad \left. \vphantom{\frac{\Sigma (N) y \sin \alpha + \Sigma (N) \xi \cos \alpha}{2 f}} \right\} \quad 291.$$

$$H_1 = H_2 = \frac{\Sigma (N) y \sin \alpha + \Sigma (N) \xi \cos \alpha}{2 f}$$

$$V = \Sigma (N) \cos \alpha - V_2 = \Sigma (N) \cos \alpha - \frac{\Sigma (N) y \sin \alpha + \Sigma (N) \xi \cos \alpha}{2 c} \quad \left. \vphantom{\frac{\Sigma (N) y \sin \alpha + \Sigma (N) \xi \cos \alpha}{2 c}} \right\} \quad 292.$$

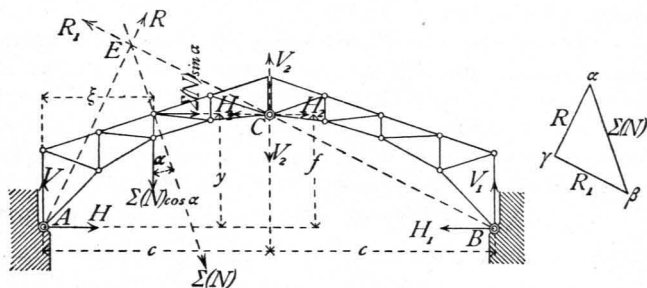
$$V_1 = V_2 = \frac{\Sigma (N) y \sin \alpha + \Sigma (N) \xi \cos \alpha}{2 c}$$

Wenn die schiefen Belastungen einander nicht parallel sind, so bleibt das Verfahren das gleiche; nur sind statt  $\Sigma (N) y \sin \alpha$  und  $\Sigma (N) \xi \cos \alpha$  bzw.  $\Sigma (N y \sin \alpha)$  und  $\Sigma (N \xi \cos \alpha)$  in die Rechnung einzuführen.

Für die graphische Ermittlung der fraglichen Auflager-Reaktionen ist die in Fig. 250 angegebene Construction ohne Weiteres verständlich, und es ergibt sich  $\beta \gamma = R_1$ ,  $\gamma \alpha = R$ .

Bei nicht parallelen Winddrücken ist für die graphische Behandlung zunächst die Mittelkraft derselben nach Größe, Richtung und Lage in bekannter Weise aufzufuchen, und alsdann zu verfahren, wie in Fig. 250 dargestellt.

Fig. 250.



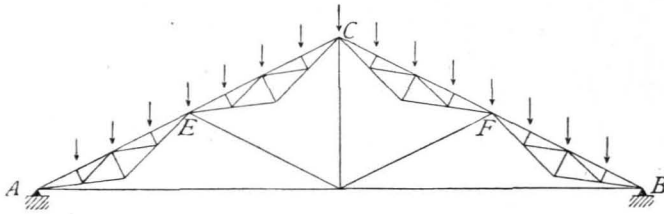
## 2. Kapitel.

### Balkendächer.

Indem wir nunmehr zur Ermittlung der Spannungen in den wichtigsten Dachstuhl-Constructionen übergehen, werden wir bei den diesfälligen Untersuchungen für jede Gattung von Dachbindern die verschiedenen Belastungsfälle gefondert betrachten. Wir bestimmen demnach die Spannungen, welche erzeugt werden: 1) durch das Eigengewicht, 2) durch einseitige, bzw. totale Schneebelastung, 3) durch Windbelastung, fowohl von der Seite, an der das bewegliche, wie von der Seite, an welcher das feste Auflager liegt. Indem dann diese Spannungen in einer Tabelle zusammengestellt werden, ist es leicht, für jeden Stab die ungünstigste Belastungsart und die ungünstigsten Spannungen zu bestimmen, ferner für die Querschnittsbestimmung nach der neueren Methode (siehe Art. 283, S. 248) die Werthe  $P_0$ ,  $P_1$  und  $P_2$  zu ermitteln. Da die Dachbinder meist Gitterträger sind, so werden die im Kapitel »Träger« gezeigten Methoden für die Spannungsermittlung hier genau, wie dort Anwendung finden. Auch hier machen wir die Annahmen: 1) dass die Stäbe in den Knotenpunkten durch Gelenke mit einander verbunden sind, 2) dass die Lasten nur in den Knotenpunkten der Construction wirken. Die berechneten Spannungen werden desto mehr mit den wirklichen übereinstimmen, je mehr die Construction diesen Annahmen entspricht. Die zweite Annahme (Belastung nur in den Knotenpunkten) ist häufig nicht erfüllt; in diesem Falle kann man dennoch die in den folgenden Artikeln zu zeigenden Methoden anwenden, indem man annimmt, dass die zwischen je zwei Knotenpunkten befindlichen Lasten durch besondere Träger auf die Knotenpunkte übertragen werden. Die Berechnung dieser Träger hat, wie im Kapitel »Träger« gezeigt ist, zu

erfolgen. Die Belastung, welche im Hauptsystem auf die Knotenpunkte übertragen wird, ist dann der Größe und Richtung nach gleich den auf die Zwischenträger wirkenden Auflager-Reaktionen. Der Sinn ist entgegengesetzt. In Fig. 251 z. B. sind zwischen je zwei Knotenpunkten des Hauptsystems Pfetten, demnach Lastpunkte. Das Stück  $CE$  kann wie ein besonderer, in  $C$  und  $E$  frei aufliegender Träger aufgefasst und berechnet werden; eben so verhält es sich mit dem Stück  $AE$ . Im Punkte  $C$  des Hauptsystems wirken dann die linke Auflager-Reaction des Balkens  $CE$  und die rechte Auflager-Reaction des Balkens

Fig. 251.

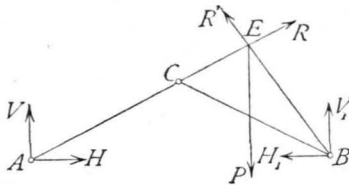


$AE$  nach unten, außerdem noch die Belastung der Pfette in  $E$ . Demnach sind die Spannungen im System auch hier zunächst genau so zu berechnen, als wenn die Gesamtlasten nur in den Hauptknotenpunkten  $A, C, E, F$  und  $B$  angriffen; zu diesen Spannungen im System kommen alsdann noch die in den kleinen Trägern  $AE, EC$  etc. stattfindenden Spannungen hinzu. Die Spannungen derjenigen Stäbe der kleinen Träger, welche mit den Linien  $AE, EC$  etc. zusammenfallen, addiren sich einfach zu den Spannungen in diesen Stäben.

Die erste Annahme (Anordnung von Gelenken in den Knotenpunkten) ist bei den hölzernen Dachbindern niemals, allein auch bei den eisernen Dachstuhl häufig nicht erfüllt; in neuester Zeit tritt aber bei letzteren immer mehr das Bestreben in den Vordergrund, auch in dieser Richtung die praktische Construction in Uebereinstimmung mit der gedachten Annahme zu bringen, und es sind bereits eine Anzahl von Bauwerken in dieser Weise ausgeführt worden. Die allgemeine Anordnung von Gelenken in den Knotenpunkten der eisernen Dachstühle ist wohl nur noch eine Frage der Zeit.

Das einfachste Dach entsteht dadurch, dass sich zwei Sparren  $AC$  und  $BC$  gegen einander lehnen (Fig. 252). Jede Belastung desselben, etwa des Sparrens  $BC$ , durch eine Last  $P$ , erzeugt nach Art. 419 in  $A$  eine Reaction  $R$ , deren Richtung mit  $AC$  zusammenfällt, in  $B$  eine Reaction  $R'$  in der Richtung  $BE$ . Die Reactionen  $R$  und  $R'$  haben die horizontalen Componenten  $H$  und  $H_1$ , und da außerdem hier keine horizontalen Kräfte auf das System wirken, so ist  $H = H_1$ . Diese horizontalen Componenten werden von den Seitenmauern des Gebäudes, event. von den sonstigen stützenden Constructionen geleistet; umgekehrt wirken Seitens des Daches die Kräfte  $H$  auf die Seitenmauern

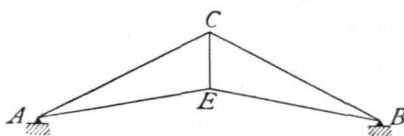
Fig. 252.



des Gebäudes, event. auf die sonstigen Stützen.

Die Stabilität der das Dach tragenden Wände, Stützen etc. macht es in den meisten Fällen wünschenswerth, dass diese Horizontalkräfte nicht auf dieselben übertragen werden; man verbindet deshalb die beiden Punkte  $A$  und  $B$  durch einen Stab oder eine Stangencombination, welche die Kräfte  $H$  und  $H_1$  nach einem Punkte überträgt, in welchem sie alsdann einander aufheben. Dadurch erhält man, wenigstens für verticale Belastungen des Daches, nur verticale Auflager-Reaktionen und verticalen Druck auf die Wände, Stützen etc. Im einfachsten Falle besteht diese Stangencombination aus einem einfachen Holzbalken oder einer einfachen eisernen Zugstange  $AB$ ; statt dessen werden auch (Fig. 253) zwei Stangen  $AE$  und  $EB$  angeordnet, die sowohl nach oben wie

Fig. 253.



Im einfachsten Falle besteht diese Stangencombination aus einem einfachen Holzbalken oder einer einfachen eisernen Zugstange  $AB$ ; statt dessen werden auch (Fig. 253) zwei Stangen  $AE$  und  $EB$  angeordnet, die sowohl nach oben wie

423.  
Princip  
der  
Balkendächer.

nach unten von der Horizontalen abweichen können. Alsdann ist im Eckpunkte  $E$  eine weitere Verticalstange anzuordnen. Auch eine mehrfach gebrochene Stangencombination, so wie eine Curve kann zur Verbindung der Punkte  $A$  und  $B$  angeordnet werden. Beim Balkendach werden demnach stets die Horizontalkräfte, welche durch die verticalen Belastungen entstehen, durch die Stangencombination aufgehoben.

Je nach der Anordnung der eben erwähnten Stangencombination, bzw. je nach der Form der oberen und der unteren Gurtung, so wie der Anordnung der zwischen beiden gelegenen Stäbe kann man folgende Hauptgattungen von Dachstuhl unterscheiden:

424  
Classification.

a) Einfaches Dreieckdach (Fig. 253). Dasselbe besteht aus zwei sich im First stützenden Sparren und einer den Horizontalzug aufhebenden Verbindung von zwei Stangen, welche sich in der Verticalen des Firstes schneiden. Diese beiden Stangen sind horizontal oder nach oben, bzw. nach unten geneigt. Zur Verbindung des Firstpunktes mit dem Schnittpunkt der Stangen, welche den Horizontal Schub aufnehmen, ist eine Verticalstange  $CE$  angeordnet.

b) Deutscher Dachstuhl (Fig. 254). Die obere Gurtung hat jederseits einen Knotenpunkt, dessen Last durch eine Stange nach  $E$  übertragen wird.

Fig. 254.

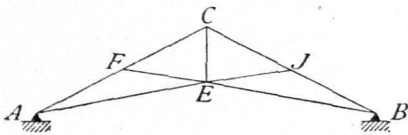
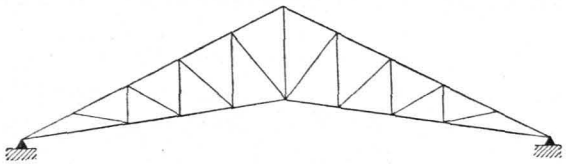


Fig. 255.



c) Englischer Dachstuhl (Fig. 255). Die obere Gurtung hat jederseits eine Anzahl von Knotenpunkten; die obere Gurtung und die den Horizontal Schub aufhebende Stangenverbindung (die untere Gurtung) sind durch Gitterwerk mit einander verbunden. Das Gitterwerk besteht aus einer Schaar Verticalen und einer Schaar Diagonalen oder aus zwei Schaaren von Diagonalen, von denen die eine vortheilhaft normal zur Dachneigung steht.

d) Französischer oder belgischer oder *Polonceau*-Dachstuhl (Fig. 256 bis 259). Er entsteht aus dem einfachen Dreieckdach durch Verwendung je zweier

Fig. 256.

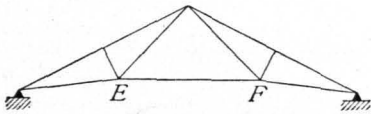


Fig. 258.

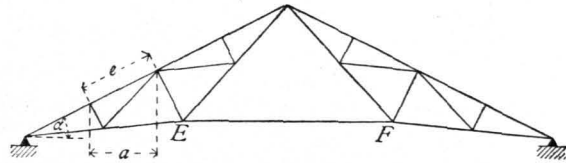
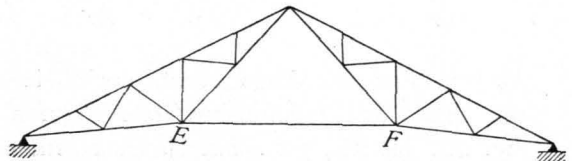
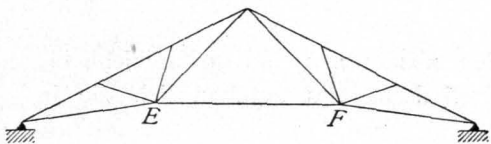


Fig. 257.

Fig. 259.





armirten Träger statt der einfachen Sparren. Die Form der armirten Träger richtet sich nach der Anzahl von Stützpunkten (Knotenpunkten), welche jederseits nöthig werden. Der Horizontal Schub wird durch eine Stange  $EF$  aufgehoben, welche die unteren Knotenpunkte der beiden armirten Träger verbindet. In Fig. 256 bis 259 sind *Polonceau*-Dachstühle für 1, 2, 3 und 4 Lastpunkte an jeder Seite des Firtes dargestellt.

Man unterscheidet:

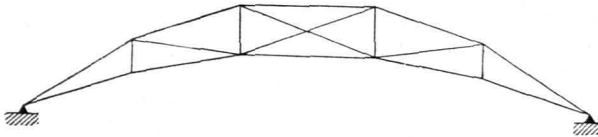
1) den einfachen *Polonceau*-Dachstuhl; bei demselben hat der armirte Balken jederseits nur einen Knotenpunkt in der unteren Gurtung (Fig. 256 u. 257);

2) den zusammengesetzten *Polonceau*-Dachstuhl; bei diesem sind in den Hauptträger noch secundäre Constructionen eingeschaltet, so daß der armirte Balken in der unteren Gurtung jederseits mehrere Knotenpunkte hat (Fig. 258 u. 259).

Die Anzahl der Lastpunkte bestimmt sich nach der Tragweite, welche man den Sparren geben kann. Es sei letztere  $e$ , also die Horizontalprojection derselben  $e \cos \alpha = a$ , die Gesamttstützweite des Daches  $L$ ; alsdann ergibt sich die Anzahl derselben zu  $n = \frac{L}{e \cos \alpha} = \frac{L}{a}$ ;  $e$  kann man nach der Stärke der Sparren etwas variiren;  $n$  muß natürlich eine ganze gerade Zahl sein.

e) Sieldach (Fig. 260). Die obere und die untere Gurtung sind nach einer Curve gekrümmt oder nach einem der Curve eingeschriebenen Polygön gebildet;

Fig. 260.



das Gitterwerk ist verschieden. Man kann hierher auch die Träger mit gekrümmter oberer und geradliniger unterer Gurtung rechnen.

Bei den vorstehend aufgeführten Dächern ist stets angenommen, daß die beiden

Gurtungen sich über dem Auflager schneiden; die Formen sind aber auch möglich, ohne daß die Schnittpunkte der Gurtungen in den Auflager-Verticalen liegen.

Fig. 261.

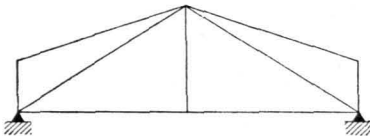


Fig. 262.

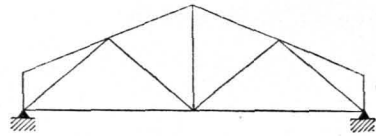


Fig. 263.

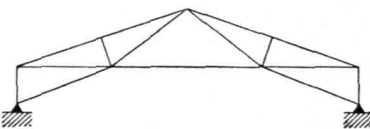
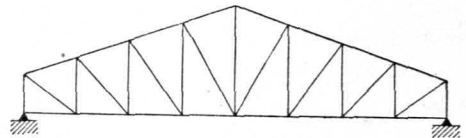


Fig. 264.



Als dann sind allerdings event. noch Diagonalen anzuordnen, um unverschiebliche, aus Dreiecken zusammengesetzte Figuren zu erhalten. Es ergeben sich die in Fig. 261 bis 264 gezeichneten Dachformen.

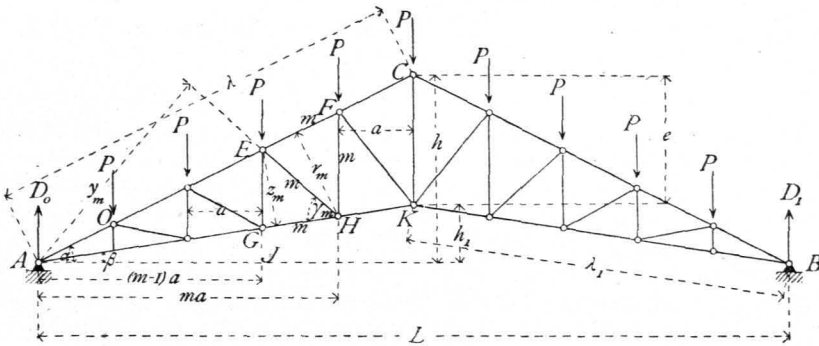
a) Englische Dachstuhl.

Die Belastungsgefetze und Spannungsermittlungen sollen für einen Dachstuhl mit Verticalen und nach der Mitte zu fallenden Diagonalen gezeigt werden; für andere Anordnungen des Gitterwerkes ergeben sich aus den im Nachstehenden anzuführenden Gefetzen und Methoden die Modificationen ohne Schwierigkeit.

1) Berechnung der Spannungen.  $\alpha$ ) Belastung durch das Eigengewicht, bezw. totale Schneebelastung (Fig. 265). Die Belastung pro Knotenpunkt sei  $P$ , die Stützweite  $L$ , die Entfernung der Knotenpunkte, horizontal ge-

425.  
Berechnung  
d. Spannungen  
durch verticale  
Belastung.

Fig. 265.



messen,  $a$ . Der Dachstuhl habe  $2n$  Felder; mithin ist  $L = 2na$ . Die Winkel der oberen, bezw. unteren Gurtung mit der Horizontalen seien  $\alpha$  und  $\beta$ . Die Auflager-  
Reactionen sind  $D_0 = D_1 = \frac{(2n-1)P}{2}$ .

Für die  $m$ -te Stange  $EF$  der oberen Gurtung ist  $H$  der conjugirte Punkt, also

$$0 = X_m r_m + D_0 m a - (m-1) P \frac{m a}{2},$$

woraus

$$X_m = \frac{-\frac{(2n-1)P m a}{2} + (m-1) P \frac{m a}{2}}{r_m}.$$

Nun ist  $r_m = \overline{AH} \sin(\alpha - \beta)$  und  $\overline{AH} = \frac{m a}{\cos \beta}$ ; fonach

$$r_m = m a \frac{\sin(\alpha - \beta)}{\cos \beta} = m a \cos \alpha (\operatorname{tg} \alpha - \operatorname{tg} \beta)$$

und

$$X_m = -\frac{P(2n-m)}{2 \cos \alpha (\operatorname{tg} \alpha - \operatorname{tg} \beta)} \dots \dots \dots 293.$$

Oft ist es unbequem, mit den Winkelwerthen zu rechnen; dann giebt man der Formel folgende Gestalt. Es ist  $\operatorname{tg} \alpha = \frac{2h}{L}$ ,  $\operatorname{tg} \beta = \frac{2h_1}{L}$ ,  $h - h_1 = e$  und  $\cos \alpha = \frac{L}{2\lambda}$ ; durch Einsetzung dieser Werthe wird

$$X_m = -\frac{P \lambda (2n-m)}{2 e} \dots \dots \dots 294.$$

Für die  $m$ -te Stange  $GH$  der unteren Gurtung ist  $E$  der conjugirte Punkt, mithin

426.  
Spannungen  
in den  
Gurtungen.

$$0 = D_0 (m - 1) a - P (m - 2) \frac{(m - 1) a}{2} - Z_m z_m,$$

woraus

$$Z_m = \frac{(2n - 1) P (m - 1) a - P (m - 2) (m - 1) \frac{a}{2}}{z_m}.$$

Nun ist  $z_m = \overline{AE} \sin(\alpha - \beta)$  und  $\overline{AE} = \frac{(m - 1) a}{\cos \alpha}$ , demnach

$$Z_m = \frac{P (2n - m + 1)}{2 \cos \beta (\operatorname{tg} \alpha - \operatorname{tg} \beta)} \dots \dots \dots 295.$$

Da  $\cos \beta = \frac{L}{2 \lambda_1}$  ist und  $\operatorname{tg} \alpha$ , so wie  $\operatorname{tg} \beta$  die oben angegebenen Werthe haben, so wird auch

$$Z_m = \frac{P \lambda_1 (2n - m + 1)}{2 e} \dots \dots \dots 296.$$

Die Gleichungen 295. und 296. gelten nicht für die erste Stange der unteren Gurtung am Auflager; denn die Formel ist unter der Annahme entwickelt, daß als Drehpunkt für die Gleichung der statischen Momente derjenige Punkt der oberen Gurtung gewählt wird, welcher in die  $(m - 1)$ -te Verticale fällt; dies würde für  $m = 1$  der Punkt  $A$  sein, und es gäbe für diesen Fall die Gleichung der statischen Momente für  $A$  als Drehpunkt kein Resultat, weil alle Kräfte am Fragment dann durch  $A$  gehen, also das statische Moment Null haben. Man erhält  $Z_1$  durch Aufstellung der Gleichung der statischen Momente für irgend einen beliebigen Punkt, etwa  $O$  (Fig. 266). Es wird, wenn der Hebelsarm von  $Z_1$  in Bezug auf den Drehpunkt  $O$  gleich  $z_2$  ist,

Fig. 266.

$$Z_1 = \frac{D_0 a}{z_2} = \frac{(2n - 1) P a}{2 a \cos \beta (\operatorname{tg} \alpha - \operatorname{tg} \beta)} = \frac{(2n - 1) P \lambda_1}{2 e} \dots \dots \dots 297.$$

Derselbe Werth ergibt sich für  $m = 2$ , d. h. für den zweiten Stab der unteren Gurtung.

427.  
Spannungen  
in den  
Diagonalen.

Für die  $m$ -te Diagonale  $EH$ , wie für alle Diagonalen der linken Dachhälfte ist  $A$  der conjugirte Punkt, mithin

$$0 = Y_m y_m + (m - 1) \frac{P m a}{2}, \text{ woraus } Y_m = - \frac{P m a (m - 1)}{2 y_m}.$$

Da nun  $y_m = \frac{m a \sin \gamma_m}{\cos \beta}$  ist, wird  $Y_m = - \frac{P}{2} (m - 1) \frac{\cos \beta}{\sin \gamma_m}$ .

Durch einfache trigonometrische Umformungen erhält man

$$Y_m = - \frac{P \sqrt{1 + [(m - 1) \operatorname{tg} \alpha - m \operatorname{tg} \beta]^2}}{2 (\operatorname{tg} \alpha - \operatorname{tg} \beta)} \dots \dots \dots 298.$$

und durch Fortschaffung der Winkelwerthe

$$Y_m = - \frac{P}{4 e} \sqrt{L^2 + 4 (m e - h)^2} \dots \dots \dots 299.$$

428.  
Spannungen  
in den  
Verticalen.

Für die  $m$ -te Verticale  $FH$  ist der Schnitt schräg zu legen; als conjugirter Punkt ergibt sich  $A$ ; mithin heißt die Gleichung der statischen Momente für  $A$  als Drehpunkt

$$0 = V_m m a - (m - 1) \frac{P m a}{2}, \text{ woraus } V_m = \frac{P (m - 1)}{2} \dots \dots 300.$$

Für  $m = 1$  ergibt diese Gleichung  $V_m = 0$ ; die erste Verticale ist also überflüssig und kann fortbleiben.

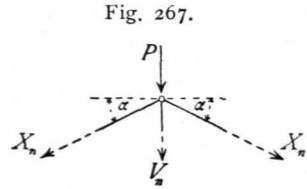
Die Gleichung gilt nicht für die mittlere Verticale; denn wenn bei dieser der Schnitt eben so gelegt wird, wie bei den anderen Verticalen, so werden vier Stäbe getroffen;  $A$  ist also hier nicht der conjugirte Punkt. Man bestimmt die Spannung in dieser Mittelverticalen durch Aufstellung der Gleichgewichtsbedingungen für den Firstknotenpunkt (Fig. 267). Für diesen ist

$$0 = V_n + P + 2 X_n \sin \alpha, \text{ woraus } V_n = -P - 2 X_n \sin \alpha,$$

und da nach Gleichung 293.  $X_n = -\frac{P n}{2 \cos \alpha (\operatorname{tg} \alpha - \operatorname{tg} \beta)}$  ist, so wird

$$V_n = P \left( \frac{n \operatorname{tg} \alpha}{\operatorname{tg} \alpha - \operatorname{tg} \beta} - 1 \right) \dots \dots \dots 301.$$

Die Gleichungen 293. bis 300. gelten für die Stäbe links von der Mitte; die zur Mitte, symmetrisch liegenden Stäbe der anderen Dachhälfte werden in genau gleicher Weise beansprucht; die Gleichungen können sofort auch für die rechte Dachhälfte angewendet werden, wenn die  $m$  von  $B$  aus gerechnet werden.



Die Betrachtung der Gleichungen 293. bis 300. ergibt Folgendes:

a) Durch das Eigengewicht, bezw. durch gleichmäßige Belaftung des ganzen Dachbinders erhalten alle Stäbe der oberen Gurtung Druck, alle Stäbe der unteren Gurtung Zug. Wenn die Diagonalen nach der Mitte zu fallen, erhalten dieselben bei der erwähnten Belaftung Druck, die Verticalen Zug. Man sieht leicht, daß, wenn die Diagonalen nach der Mitte zu steigen, dieselben bei der gleichen Belaftung gezogen, die Verticalen gedrückt werden.

b) Je größer  $\beta$  wird, desto kleiner wird der Factor  $(\operatorname{tg} \alpha - \operatorname{tg} \beta)$  und das Product  $\cos \beta (\operatorname{tg} \alpha - \operatorname{tg} \beta)$ ; desto größer werden daher sowohl  $X_m$ , wie  $Z_m$ , da die Ausdrücke, sowohl für  $X$ , wie für  $Z$  die erwähnten Factoren im Nenner haben. Für negative Werthe von  $\beta$ , d. h. wenn die Zuggurtung nach unten von der Horizontalen abweicht, wird

$$X'_m = -\frac{P(2n-m)}{2 \cos \alpha (\operatorname{tg} \alpha + \operatorname{tg} \beta)} \text{ und } Z'_m = \frac{P(2n-m+1)}{2 \cos \beta (\operatorname{tg} \alpha + \operatorname{tg} \beta)} \quad 302.$$

Je größer (absolut genommen) die negativen Werthe von  $\beta$  werden, desto größer werden die Nenner in den beiden Gleichungen 302., desto kleiner also  $X'_m$  und  $Z'_m$ . Für den Materialaufwand zu den Gurtungen ist es also günstig, das positive  $\beta$  möglichst klein, das negative  $\beta$  möglichst groß zu nehmen.

c) Für  $\beta = 0$ , d. h. wenn die untere Gurtung eine gerade Linie bildet, ist

$$X_m = -\frac{P(2n-m)}{2 \sin \alpha} \text{ und } Z_m = \frac{P(2n-m+1)}{2 \operatorname{tg} \alpha} \dots \dots 303.$$

$$Y_m = -\frac{P \sqrt{1+(m-1)^2 \operatorname{tg}^2 \alpha}}{2 \operatorname{tg} \alpha}, \quad V_m = \frac{P(m-1)}{2} \text{ und } V_n = P(n-1) \quad 304.$$

β) Ungünstigste verticale Belaftung. Jede verticale Belaftung des Trägers erzeugt (nach Art. 362, S. 325) ein positives Moment in allen Querschnitten der Gurtungen. Sind nun (Fig. 265) die in den Stäben  $EF$ , bezw.  $GH$  durch eine beliebige verticale Belaftung erzeugten Spannungen  $X_m$ , bezw.  $Z_m$  und die Momente für die bezüglichen conjugirten Punkte  $H$  und  $E$  gleich  $M_m$  und  $M_{m-1}$ , so wird

$$X_m = -\frac{M_m}{r_m} \text{ und } Z_m = \frac{M_{m-1}}{z_m}.$$

$X_m$  und  $Z_m$  erreichen ihre Maximalwerthe gleichzeitig mit  $M_m$ , bezw.  $M_{m-1}$ , d. h. bei totaler Belaftung des Trägers. Die Belaftung des ganzen Daches durch Schneedruck wird also für die Gurtungsstäbe die ungünstigste sein. Die dann sich ergebenden Spannungen folgen aus den Gleichungen 293. bis 297., indem dort statt  $P$  die Knotenpunktsbelaftung durch Schnee- und Eigengewicht eingesetzt wird.

Man erhält, wenn  $b$  der Binderabstand ist,  $q'$  die Bedeutung, wie in Art. 413, S. 379 hat,

429.  
Ungünstigste  
Belaftung.

$$P = G + S = a b (q' + 75 \text{ kg})$$

und daraus leicht  $X_m$  und  $Z_m$ .

Wenn die Diagonalen nach der Mitte zu fallen, so erzeugt eine Last  $P$  rechts von dem durch die Diagonalenmitte gelegten Verticalschnitt  $II$  (Fig. 268) in  $A$  die Reaction  $D_0$ . Auf das Fragment links vom Schnitt wirken jetzt  $D_0$  und die drei Stabspannungen  $X$ ,  $Y$  und  $Z$ . Für  $Y$  ist  $A$  der conjugirte Punkt, und die Gleichung der statischen Momente für  $A$  als Drehpunkt lautet  $0 = Yy$ , d. h.  $Y = 0$ .

Liegt eine Last  $P$  links vom Schnitte  $II$ , so betrachten wir das Fragment

Fig. 268.

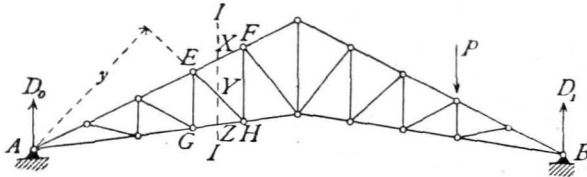
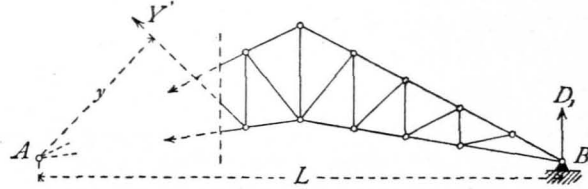


Fig. 269.



rechts vom Schnitte (Fig. 269); für dieses heißt die Gleichung der statischen Momente in Bezug auf den Punkt  $A$  als Drehpunkt

$$0 = Y'y + D_1 L, \quad \text{woraus} \quad Y' = -\frac{D_1 L}{y}.$$

Steigen die Diagonalen nach der Mitte zu, so ergibt sich, wenn die Last rechts vom Schnitte liegt, genau wie vorhin, daß in den Diagonalen die Spannung Null entsteht. Liegt dagegen die Last links vom Schnitt, so folgt

$$Y' = +\frac{D_1 L}{y'}.$$

Die für die Diagonalen gefundenen Resultate gelten, so lange  $A$  der conjugirte Punkt der Diagonalen ist, d. h. für alle Diagonalen links der Mitte. Für die Diagonalen rechts der Mitte ist  $B$  der conjugirte Punkt, und es ergibt sich in gleicher Weise, wie eben gezeigt, daß in diesen jede Belastung rechts vom Schnitte eine Druck-, bzw. Zugspannung erzeugt, je nachdem sie nach der Mitte zu fallen oder steigen; jede Belastung links vom Schnitte ruft dagegen in denselben die Spannung Null hervor.

Allgemein folgt hieraus: Jede Belastung zwischen dem durch die Diagonale gelegten Verticalschnitte und demjenigen Auflager, welches für die Diagonale nicht den conjugirten Punkt bildet, hat auf die Spannung in der Diagonalen gar keinen Einfluß. Jede Belastung zwischen dem Verticalschnitt und dem Auflager, welches für die Diagonale den conjugirten Punkt bildet, erzeugt in den nach den Mitte zu fallenden Diagonalen Druck, in den nach der Mitte zu steigenden Diagonalen Zug. Die ungünstigsten Belastungsarten würden also diejenigen sein, bei denen die ganze Zug-, bzw. Druckabtheilung belastet wäre. Da aber die Belastung des übrigen Trägertheiles ohne Einfluß auf die Diagonalspannung ist, so können wir auch sagen: Die ungünstigste Beanspruchung aller Diagonalen durch verticale Lasten findet bei totaler Belastung statt, und zwar werden die nach der Mitte zu steigenden Diagonalen gezogen, die nach der Mitte zu fallenden Diagonalen gedrückt.

Für die ungünstigste Belastung der Verticalen ergibt sich durch die gleiche Beweisführung, wie bei den Diagonalen, wenn die Schnitte schräg gelegt werden:

Jede Belastung zwischen dem durch eine Verticale gelegten schrägen Schnitt und dem Auflager, welches für die Verticalen nicht den conjugirten Punkt bildet, erzeugt in der Verticalen die Spannung Null; jede Belastung zwischen dem Schnitte und demjenigen Auflager, welches den conjugirten Punkt bildet, erzeugt in der Verticalen Zug, wenn die Diagonalen nach der Mitte zu fallen, Druck, wenn die Diagonalen nach der Mitte zu steigen. Auch hier findet demnach Maximaldruck, bezw. -Zug bei totaler Belastung des Trägers statt.

Das hier gefundene Gesetz gilt, so lange die geradlinigen Gurtungen sich in den Auflager-Verticalen schneiden, also auch, wie man leicht sieht, für die Anordnung von zwei Schaaren Diagonalen nach Fig. 270.

Es kann also für alle Stäbe des englischen Dachstuhl die totale Belastung durch Schnee und Eigengewicht als ungünstigste Verticalbelastung der Berechnung zu Grunde gelegt werden.

Die bezüglichen Maximalwerthe sind in Art. 426 bis 428 entwickelt.

γ) Belastung durch Winddruck. Es ist nicht nothwendig, für jeden Stab die ungünstigste Windbelastungsart zu ermitteln, weil der Winddruck stets auf eine ganze Dachhälfte wirken wird; dagegen sind die sämtlichen Stabspannungen sowohl für den Fall zu ermitteln, daß der Winddruck jene Seite belastet, an welcher das bewegliche Auflager liegt, als daß er diejenige Seite belastet, an welcher sich das feste Auflager befindet.

430.  
Berechnung  
d. Spannungen  
durch  
Winddruck.

Man ermittelt bei diesen beiden Belastungsarten für jeden Stab den conjugirten Punkt, das Biegemoment der äußeren Kräfte für diesen Punkt und daraus in bekannter Weise die Stabspannungen. Es empfiehlt sich dabei, für die Auffuchung des Biegemomentes jede Knotenpunktsbelastung in eine horizontale und eine verticale Componente zu zerlegen; die Ermittlung der Hebelsarme wird dadurch wesentlich vereinfacht. In den Fig. 277 u. 279 sind die horizontalen und verticalen Componenten der Winddrücke sowohl für den Fall, daß der Wind von der Seite des beweglichen Auflagers, als auch für den Fall, daß er von der Seite des festen Auflagers kommt, angegeben.

2) Graphische Ermittlung der Spannungen. Hier empfiehlt sich die *Cremona'sche* Methode am meisten, weil für die Spannungen aller Stäbe die gleichen Belastungsarten zu Grunde gelegt werden.

431.  
Graphische  
Ermittlung  
der  
Spannungen.

α) Belastung durch das Eigengewicht und Schneedruck. Man nimmt entweder die sämtlichen Eigenlasten in den oberen Knotenpunkten vereinigt an oder berechnet die Eigengewichte, welche in den Knotenpunkten der unteren Gurtung angreifen, besonders. In beiden Fällen ist das Verfahren genau wie im Kapitel »Träger« (Art. 382, S. 342) gezeigt ist.

In der graphischen Ermittlung der Fig. 271 und 272 ist die zweite Annahme gemacht worden; die Eigengewichte, welche auf die Auflagerpunkte *A* und *B* kommen, sind fortgelassen, weil sie direct von den Auflagern aufgenommen werden, demnach das System nicht belasten. Alsdann sind die am System wirkenden äußeren Kräfte in cyclischer Reihenfolge aufgetragen: zuerst die Lasten der oberen Gurtung 1, 2, 3 . . . 7; an den Endpunkt von 7 ist  $D_1$  getragen; letzteres fällt mit der Kraftlinie 1, 2, 3 . . . 7 zusammen, wie überhaupt alle äußeren Kräfte hier in dieselbe Kraftlinie fallen. Der größeren Deutlichkeit halber sind aber die Lasten 1 bis 7,  $D_1$ , ferner die Lasten der unteren Gurtung

Fig. 270.

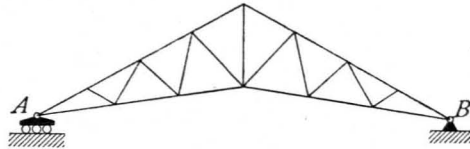


Fig. 271.

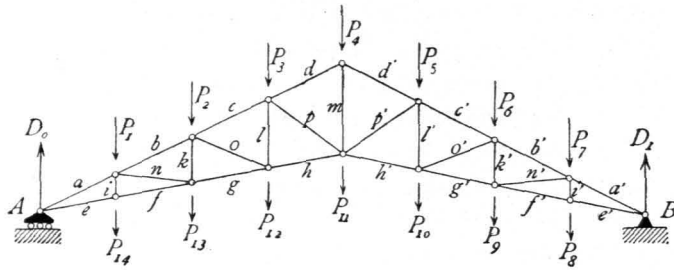
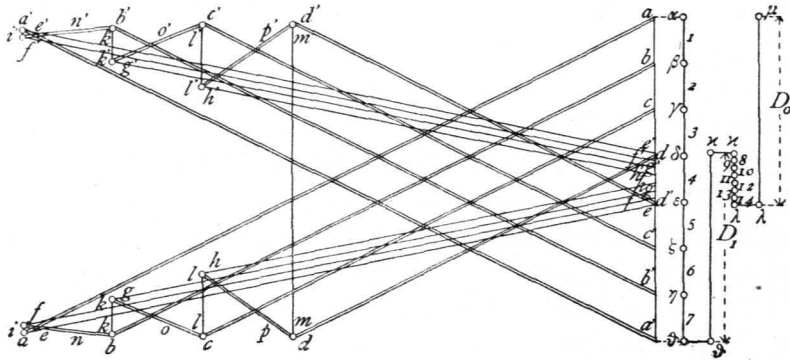


Fig. 272.



und  $D_0$  etwas seitwärts aufgetragen. Wir erhalten  $D_1 = \delta x$ ;  $\delta$  bis  $14 = x \lambda$ ;  $D_0 = \lambda \mu$ ;  $\mu$  fällt demnach eigentlich auf  $\alpha$ , wonach sich also das Kraftpolygon schließt.

Für die Construction des Kräfteplanes sind selbstverständlich als Grenzpunkte der einzelnen äußeren Kräfte die Punkte auf der Linie  $a a'$  einzuführen, welche mit den gezeichneten auf gleicher Höhe liegen. Der Kräfteplan ist nun genau, wie früher angegeben, in Fig. 272 construirt, worüber keine weiteren Bemerkungen nöthig sind.

Die Construction der Spannungen durch totale Schneebelastung ist in gleicher Weise vorzunehmen.

β) Belastung durch Winddruck. In Fig. 274 und 275 sind die Kräftepläne sowohl für den von der Seite des beweglichen, wie für den von der Seite des festen Auflagers kommenden Winddruck construirt. Auf den Auflagerpunkt und den Firstpunkt kommen bei gleicher Entfernung aller Knotenpunkte die Hälften der auf die anderen Knotenpunkte entfallenden Belastungen; bei anderen Entfernungen der Knotenpunkte sind die Belastungen dieser Punkte aus den auf sie kommenden Dachflächen gleichfalls leicht zu ermitteln.

Zunächst sind nun die Auflager-Reactionen, wie in Art. 417, S. 381 gezeigt, construirt, worauf der Kräfteplan in bekannter Weise sich ergibt. In Fig. 273 sind die äußeren Kräfte für die Belastung der linken Dachhälfte ausgezogen, für die Belastung der rechten Dachhälfte punktirt.

Es möge hier darauf aufmerksam gemacht werden, daß auf der nicht belasteten Seite sämtliche Diagonalen die Spannung Null, die oberen, so wie die unteren Gurtungsstäbe sämtlich je gleiche Spannungen erhalten. Die Richtigkeit dieser Resultate ergibt sich leicht aus folgender Betrachtung.

Wenn sich in einem unbelasteten Knotenpunkte (Fig. 276) drei Stäbe schneiden, von denen zwei in eine gerade Linie fallen, so ist, wenn Gleichgewicht stattfindet,  $X - X_1 + Y \cos \varphi = 0$  und  $Y \sin \varphi = 0$ , d. h.  $Y = 0$ , also auch  $X - X_1 = 0$ , d. h.  $X = X_1$ . Die Spannungen in den beiden in eine gerade Linie fallenden Stäben sind also einander gleich; die Spannung im dritten Stabe ist gleich Null.

Falls der Wind, wie in Fig. 273 durch die ausgezogenen Pfeile angedeutet ist, die linke Seite belastet, so wirkt auf den Knotenpunkt  $G$  keine äußere Kraft; mithin wird  $e' = f'$  und  $i' = 0$ . Auch auf  $H$  wirkt keine äußere Kraft; da nun  $i' = 0$  ist, also als nicht vorhanden zu betrachten ist, so folgt  $n' = 0$

Fig. 273.

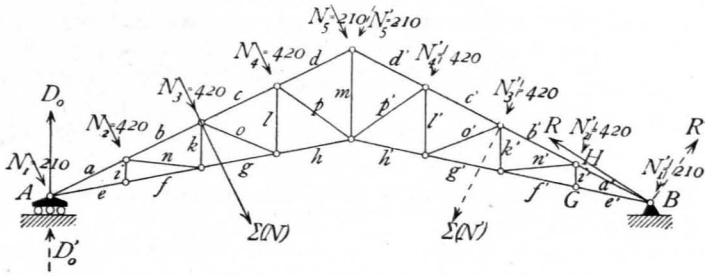


Fig. 274.

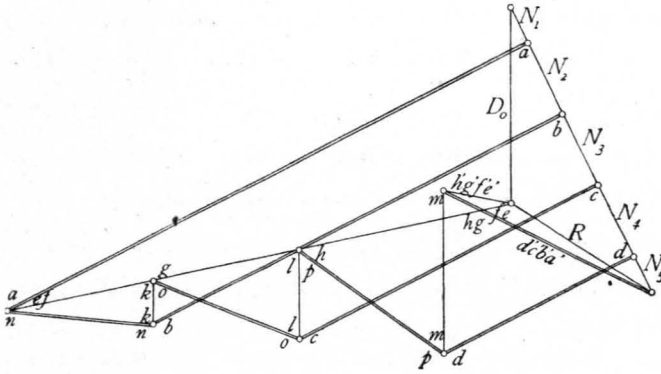
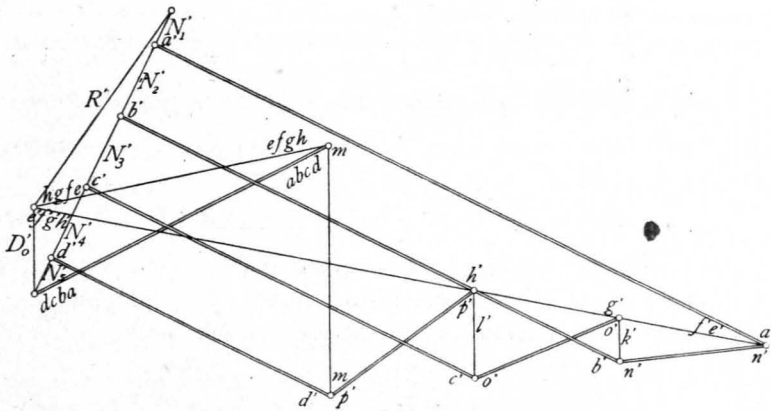


Fig. 275.



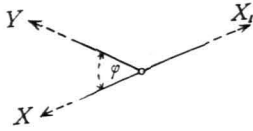
und  $a' = b'$ . Eben so ergibt sich weiter  $a' = b' = c' = d'$ ;  $e' = f' = g' = h'$ ;  $i' = n' = k' = o' = l' = p' = 0$ .

Beispiel. Berechnung eines englischen Dachstuhles (Fig. 277) von nachfolgenden Hauptdimensionen: Stützweite  $L = 16\text{m}$ ; Firnhöhe  $h = 4\text{m}$ ;  $\frac{h}{L} = \frac{1}{4}$ ;  $a = 2\text{m}$ ;  $2n = 8$ ;  $\text{tg } \alpha = \frac{4}{8} = 0,5$ ;  $h_1 = 1,6\text{m}$ ;  $\text{tg } \beta = \frac{1,6}{8} = 0,2$ ;  $e = h - h_1 = 2,4\text{m}$ ;  $\lambda = \sqrt{4^2 + 8^2} = 8,94\text{m}$ ;  $\lambda_1 = \sqrt{1,6^2 + 8^2} = 8,16\text{m}$ ;  $\sin \alpha = \frac{h}{\lambda} = \frac{4}{8,94} = 0,447$ ;  $\cos \alpha = \frac{8}{\lambda} = \frac{8}{8,94} = 0,895$ ;  $\sin \beta = \frac{h_1}{\lambda_1} = \frac{1,6}{8,16} = 0,196$ ;  $\cos \beta = \frac{8}{\lambda_1} = \frac{8}{8,16} = 0,98$ ; die Binderweite ist  $4,3\text{m}$ ; die Dachdeckung ist Eifenwellenblech auf Winkelleifen; das Gitterwerk besteht aus Verticalen und nach der Mitte zu fallenden Diagonalen. Die Belastungen ergeben sich wie folgt. Auf einen Knotenpunkt kommt eine Grundfläche von

432.  
Beispiel.



Fig. 276.



2 · 4,3 = 8,6 qm, eine schräge Dachfläche von 4,3  $\frac{\lambda}{4} = \frac{4,3 \cdot 8,94}{4} = 9,61$  qm.

Mithin ist nach der Tabelle auf S. 377 das Eigengewicht pro 1 qm Grundfläche excl. des Bindergewichtes gleich 25 kg. Rechnet man das Gewicht des Binders pro 1 qm Grundfläche mit 15 kg, so wird das Eigengewicht pro 1 qm Grundfläche = 25 + 15 = 40 kg. Demnach ist die Knotenpunktsbelastung durch das Eigengewicht = 8,6 · 40 = 344 kg, durch Schneedruck = 8,6 · 75 = 645 kg, die normale Knotenpunktsbelastung durch Winddruck = 9,61 · 43 = 413 kg, wofür abgerundet  $N = 420$  kg gesetzt werden soll. Der Firtknotenpunkt und der Auflagerknotenpunkt erhalten nur je 210 kg normale Windbelastung.

α) Spannungen durch die Verticallasten. Für die obere Gurtung ergeben sich die Spannungen durch das Eigengewicht, bezw. totale Schneebelastung aus Gleichung 294. zu

$$X_m = - \frac{P \cdot 8,94}{2 \cdot 2,4} (8 - m) = - 1,8625 P (8 - m).$$

Wir erhalten: für Eigengewicht  $P = 344$  kg, fonach  $X_m^g = - 1,8625 \cdot 344 (8 - m) = - 640 (8 - m)$ ;

für Schneebelastung  $P = 645$  kg, mithin  $X_m^p = - 1,8625 \cdot 645 (8 - m) = - 1200 (8 - m)$ .

Für $m =$	1	2	3	4
wird $X^g =$	- 4480	- 3840	- 3200	- 2560 kg.
$X^p =$	- 8400	- 7200	- 6000	- 4800 kg.

Für die untere Gurtung ist nach Gleichung 296.  $Z_m = \frac{P \cdot 8,16}{2 \cdot 2,4} (9 - m) = 1,7 P (9 - m)$ .

Für Eigengewicht ist  $Z_m^g = 1,7 \cdot 344 (9 - m) = 585 (9 - m)$ ;

für Schneelast ist  $Z_m^p = 1,7 \cdot 645 (9 - m) = 1096,5 (9 - m)$ .

Sonach wird für $m =$	1	2	3	4
$Z^g =$	4095		3510	2925 kg;
$Z^p =$	7677		6579	5481 kg.

$Z_1$  ist nicht nach der Formel berechnet (vergl. darüber die Bemerkung in Art. 426, S. 392).

Für die Diagonalen ist nach Gleichung 299.

$$Y = - \frac{P}{9,6} \sqrt{16^2 + 4(m \cdot 2,4 - 4)^2} = - 0,104 P \sqrt{256 + 4(2,4m - 4)^2}.$$

Wir erhalten: für  $m = 2$ :  $Y_2 = - 0,104 P \sqrt{256 + 4(0,8)^2} = - 1,672 P$ ;

Eigengewicht:  $Y_2^g = - 575$  kg; Schneelast:  $Y_2^p = - 1079$  kg;

für  $m = 3$ :  $Y_3 = - 0,104 P \sqrt{256 + 4(7,2 - 4)^2} = - 1,79 P$ ;

Eigengewicht:  $Y_3^g = - 616$  kg; Schneelast:  $Y_3^p = - 1155$  kg;

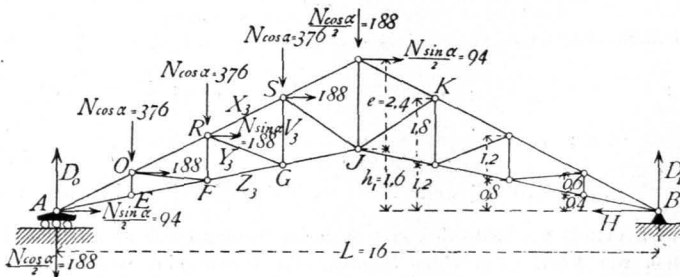
für  $m = 4$ :  $Y_4 = - 0,104 P \sqrt{256 + 4(9,6 - 4)^2} = - 2,03 P$ ;

Eigengewicht:  $Y_4^g = - 698$  kg; Schneelast:  $Y_4^p = - 1310$  kg.

Die Spannungen in den Verticalen ergeben sich aus Gleichung 300.

	Eigengewicht:	Schneelast:
für $m = 2$ :	$V_2^g = 172$ kg;	$V_2^p = 323$ kg;
» $m = 3$ :	$V_3^g = 344$ kg;	$V_3^p = 645$ kg.

Fig. 277.



Die Spannungen in der Mittelverticalen (für  $m = 4$ ) sind nach Gleichung 301.  $V_4^g = 1950$  kg;  $V_4^p = 3657$  kg.

β) Spannungen durch Windbelastung an der Seite des beweglichen Auflagers (Fig. 277). Die Verticalkomponente der Knotenpunktsbelastung ist bei den mittleren

Knotenpunkten gleich  $420 \cos \alpha = 420 \cdot 0,895 = 376 \text{ kg}$ , beim Firft- und Auflagerknotenpunkt je gleich  $188 \text{ kg}$ ; die Horizontalcomponenten sind bezw.  $420 \sin \alpha = 420 \cdot 0,447 = 188 \text{ kg}$  und  $94 \text{ kg}$ . Die Verticalhöhen der oberen Gurtungsknotenpunkte über  $AB$  sind bezw.  $1 \text{ m}$ ,  $2 \text{ m}$ ,  $3 \text{ m}$  und  $4 \text{ m}$ ; die Knotenpunkte der unteren Gurtung liegen bezw. um  $0,4 \text{ m}$ ,  $0,8 \text{ m}$ ,  $1,2 \text{ m}$  und  $1,6 \text{ m}$  über der Horizontalen  $AB$ . Es ist

$$D_0 = \frac{(3 \cdot 376 + 2 \cdot 188) 12 - (3 \cdot 188 + 2 \cdot 94) 2}{16} = 1034 \text{ kg},$$

$$D_1 = \frac{(3 \cdot 376 + 2 \cdot 188) 4 + (3 \cdot 188 + 2 \cdot 94) 2}{16} = 470 \text{ kg},$$

$$H = 3 \cdot 188 + 2 \cdot 94 = 752 \text{ kg}.$$

Für die Stäbe der oberen Gurtung ergeben sich die Gleichungen der statischen Momente:

wenn  $E$  der conjugirte Punkt ist,

$$0 = X_1 \cdot 0,6 \cos \alpha + (D_0 - 188) 2 - 94 \cdot 0,4, \text{ woraus } X_1 = -3081 \text{ kg};$$

für den conjugirten Punkt  $F$

$$0 = X_2 \cdot 1,2 \cos \alpha + (D_0 - 188) 4 - 94 \cdot 0,8 + 188 \cdot 0,2 - 376 \cdot 2, \text{ woraus } X_2 = -2415 \text{ kg};$$

weitere für die conjugirten Punkte  $G$  und  $\mathcal{Y}$

$$0 = X_3 \cdot 1,8 \cos \alpha + (D_0 - 188) 6 + 2 \cdot 188 \cdot 0,3 - 2 \cdot 376 \cdot 3 - 94 \cdot 1,2, \text{ woraus } X_3 = -1751 \text{ kg};$$

$$0 = X_4 \cdot 2,4 \cos \alpha + (D_0 - 188) 8 - 3 \cdot 376 \cdot 4 + 3 \cdot 188 \cdot 0,4 - 94 \cdot 1,6, \text{ woraus } X_4 = -1085 \text{ kg}.$$

Die Momentengleichung für den Punkt  $\mathcal{Y}$  heißt, wenn das Fragment rechts von dem durch den Stab  $\mathcal{Y}K$  gelegten Verticalschnitt betrachtet wird,

$$0 = H \cdot 1,6 - D_1 \cdot 8 - X_5 \cdot 2,4 \cos \alpha, \text{ woraus } X_5 = -\frac{8 \cdot 470 - 1,6 \cdot 752}{2,148} = -1190 \text{ kg}.$$

Dieselbe Spannung findet in sämmtlichen Stäben der oberen Gurtung rechts der Mitte statt (vergl. Art. 431, S. 397).

In ähnlicher Weise erhält man für die untere Gurtung:

$$0 = (D_0 - 188) 2 - 94 \cdot 1 - Z_1 \cdot 0,6 \cos \beta, \text{ woraus } Z_1 = 2718 \text{ kg} = Z_2;$$

$$0 = (D_0 - 188) 4 - 94 \cdot 2 - 376 \cdot 2 - 188 \cdot 1 - Z_3 \cdot 1,2 \cos \beta, \text{ woraus } Z_3 = 1919 \text{ kg};$$

$$0 = (D_0 - 188) 6 - 94 \cdot 3 - 2 \cdot 376 \cdot 3 - 2 \cdot 188 \cdot 1,5 - Z_4 \cdot 1,8 \cos \beta, \text{ woraus } Z_4 = 1119 \text{ kg}.$$

Wir betrachten endlich wieder das Fragment rechts von dem durch den Stab  $\mathcal{Y}K$  gelegten Verticalschnitt; alsdann heißt für Punkt  $K$  die Momentengleichung

$$0 = H \cdot 3 - D_1 \cdot 6 + Z_5 \cdot 1,8 \cos \beta, \text{ woraus } Z_5 = 320 \text{ kg}.$$

Eben so groß ist die Spannung in sämmtlichen Stäben der unteren Gurtung rechts der Mitte (vergl. Art. 431, S. 397).

Um die Spannungen in den Diagonalen zu bestimmen, sind die Hebelsarme dieser Spannungen für den Punkt  $A$ , welcher für alle Diagonalen links der Mitte Momentenpunkt ist, construiert. Man erhält  $y_2 = 1,17 \text{ m}$ ,  $y_3 = 3,3 \text{ m}$  und  $y_4 = 5,8 \text{ m}$ .

Die Spannungen ergeben sich aus den Momentengleichungen, wie folgt:

$$0 = Y_2 \cdot 1,17 + 376 \cdot 2 + 188 \cdot 1, \text{ woraus } Y_2 = -803 \text{ kg};$$

$$0 = Y_3 \cdot 3,3 + 2 \cdot 376 \cdot 3 + 2 \cdot 188 \cdot 1,5, \text{ woraus } Y_3 = -854 \text{ kg};$$

$$0 = Y_4 \cdot 5,8 + 376 \cdot 3 \cdot 4 + 3 \cdot 188 \cdot 2, \text{ woraus } Y_4 = -973 \text{ kg}.$$

Die Spannungen in den Diagonalen rechts der Mitte sind gleich Null (vergl. Art. 431, S. 397).

Für die Spannungen aller Verticalen links der Mitte ist  $A$  der conjugirte Punkt; man erhält:

$$0 = 376 \cdot 2 + 188 \cdot 1 - V_2 \cdot 4, \text{ woraus } V_2 = +235 \text{ kg};$$

$$0 = 2 \cdot 376 \cdot 3 + 2 \cdot 188 \cdot 1,5 - V_3 \cdot 6, \text{ woraus } V_3 = +470 \text{ kg}.$$

Für die Ermittlung der Spannung in der Mittelverticalen ist die Summe der Verticalkräfte im Firftknotenpunkt gleich Null zu setzen (Fig. 278); ferner

$$0 = V_4 + 188 + (X_4 + X_5) \sin \alpha = V_4 + 188 - (1085 + 1190) 0,447, \text{ woraus } V_4 = 829 \text{ kg}.$$

Die Spannungen in den Verticalen rechts der Mitte sind gleich Null (vergl. Art. 431, S. 397).

γ) Spannungen durch Windbelastung von der Seite des festen Auflagers (Fig. 279).

Die Belastungen der einzelnen Knotenpunkte der rechten Hälfte sind eben so groß, wie diejenigen der linken Knotenpunkte sub  $\beta$  waren. Wir erhalten:

$$D_0 = \frac{(3 \cdot 376 + 2 \cdot 188) 4 + (3 \cdot 188 + 2 \cdot 94) 2}{16} = 470 \text{ kg},$$

$$D_1 = \frac{(3 \cdot 376 + 2 \cdot 188) 12 - (3 \cdot 188 + 2 \cdot 94) 2}{16} = 1034 \text{ kg},$$

Fig. 278.

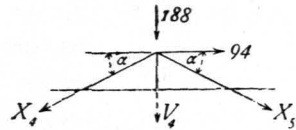
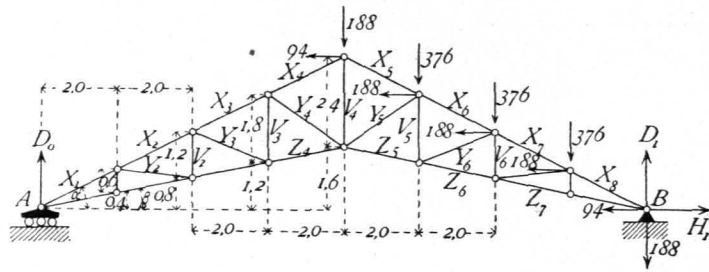


Fig. 279.



$$H_1 = 3 \cdot 188 + 2 \cdot 94 = 752 \text{ kg.}$$

In der oberen Gurtung findet man:

$$0 = X_1 \cdot 0,6 \cos \alpha + D_0 \cdot 2, \text{ woraus } X_1 = - \frac{470 \cdot 2}{0,537} = - 1750 \text{ kg.}$$

Dasselbe Resultat ergibt sich nach Art. 431, S. 397 für  $X_2, X_3$  und  $X_4$ . Weiters ist:

$$0 = X_5 \cdot 2,4 \cos \alpha + D_0 \cdot 8 - 94 \cdot 2,4, \text{ woraus } X_5 = - 1645 \text{ kg;}$$

$$0 = X_6 \cdot 1,8 \cos \alpha + (D_1 - 188) \cdot 6 + (H_1 - 94) \cdot 1,2 + 2 \cdot 188 \cdot 0,3 - 2 \cdot 376 \cdot 3, \text{ woraus } X_6 = - 2310 \text{ kg;}$$

Bezeichnung des Stabes	Spannung durch				$P_0$	$P_1$
	Eigen-gewicht	Schneelast (total)	Wind links	Wind rechts		
<b>Obere Gurtung:</b>						
Stab Nr. 1 . . . . .	- 4480	- 8400	- 3081	- 1750	- 4480	- 11481
» » 2 . . . . .	- 3840	- 7200	- 2415	- 1750	- 3840	- 9615
» » 3 . . . . .	- 3200	- 6000	- 1751	- 1750	- 3200	- 7751
» » 4 . . . . .	- 2560	- 4800	- 1085	- 1750	- 2560	- 6550
» » 5 . . . . .	- 2560	- 4800	- 1190	- 1645	- 2560	- 6445
» » 6 . . . . .	- 3200	- 6000	- 1190	- 2310	- 3200	- 8310
» » 7 . . . . .	- 3840	- 7200	- 1190	- 2976	- 3840	- 10176
» » 8 . . . . .	- 4480	- 8400	- 1190	- 3638	- 4480	- 12038
<b>Untere Gurtung:</b>						
Stab Nr. 1 u. 2 . . . . .	+ 4095	+ 7677	+ 2718	+ 1600	+ 4095	+ 10395
» » 3 . . . . .	+ 3510	+ 6579	+ 1919	+ 1600	+ 3510	+ 8498
» » 4 . . . . .	+ 2925	+ 5481	+ 1119	+ 1600	+ 2925	+ 7081
» » 5 . . . . .	+ 2925	+ 5481	+ 320	+ 2455	+ 2925	+ 7936
» » 6 . . . . .	+ 3510	+ 6579	+ 320	+ 3186	+ 3510	+ 9765
» » 7 u. 8 . . . . .	+ 4095	+ 7677	+ 320	+ 3996	+ 4095	+ 11673
<b>Diagonalen:</b>						
im Felde 2 . . . . .	- 575	- 1079	- 803	0	- 575	- 1882
» » 3 . . . . .	- 616	- 1155	- 854	0	- 616	- 2009
» » 4 . . . . .	- 698	- 1310	- 973	0	- 698	- 2283
» » 5 . . . . .	- 698	- 1310	0	- 973	- 698	- 2283
» » 6 . . . . .	- 616	- 1155	0	- 854	- 616	- 2009
» » 7 . . . . .	- 575	- 1079	0	- 803	- 575	- 1882
<b>Verticalen:</b>						
zwischen Feld 2 u. 3 . . . . .	+ 172	+ 323	+ 235	0	+ 172	+ 558
» » 3 u. 4 . . . . .	+ 344	+ 645	+ 470	0	+ 344	+ 1115
Mittelverticale . . . . .	+ 1950	+ 3657	+ 829	+ 1330	+ 1950	+ 4987
zwischen Feld 5 u. 6 . . . . .	+ 344	+ 645	0	+ 470	+ 344	+ 1115
» » 6 u. 7 . . . . .	+ 172	+ 323	0	+ 235	+ 172	+ 558

Kilogramm

$$0 = X_7 \cdot 1,2 \cos \alpha + (D_1 - 188) 4 + (H_1 - 94) 0,8 + 188 \cdot 0,2 - 376 \cdot 2, \text{ woraus } X_7 = -2976 \text{ kg};$$

$$0 = X_8 \cdot 0,6 \cos \alpha + (D_1 - 188) 2 + (H_1 - 94) 0,4, \text{ woraus } X_8 = -3638 \text{ kg}.$$

In der unteren Gurtung ergibt sich

$$0 = Z_1 \cdot 0,6 \cos \beta - D_0 \cdot 2, \text{ woraus } Z_1 = +1600 \text{ kg}.$$

Dieselbe Größe haben  $Z_2, Z_3$  und  $Z_4$ . Weiters findet man:

$$0 = (D_1 - 188) 6 + (H_1 - 94) 3 - 2 \cdot 376 \cdot 3 - 2 \cdot 188 \cdot 1,5 - Z_5 \cdot 1,8 \cos \beta, \text{ woraus } Z_5 = +2455 \text{ kg};$$

$$0 = (D_1 - 188) 4 + (H_1 - 94) 2 - 376 \cdot 2 - 188 \cdot 1 - Z_6 \cdot 1,2 \cos \beta, \text{ woraus } Z_6 = +3186 \text{ kg};$$

$$0 = (D_1 - 188) 2 + (H_1 - 94) 1 - Z_7 \cdot 0,6 \cos \beta, \text{ woraus } Z_7 = +3996 \text{ kg} = Z_8.$$

Für die Ermittlung der Spannungen in den Diagonalen sind die Hebelsarme oben angegeben.

Hiernach findet man:

$$0 = Y_7 y_2 + 188 \cdot 1 + 376 \cdot 2, \text{ woraus } Y_7 = -803 \text{ kg};$$

$$0 = Y_6 y_3 + 2 \cdot 188 \cdot 1,5 + 2 \cdot 376 \cdot 3, \text{ woraus } Y_6 = -854 \text{ kg};$$

$$0 = Y_5 y_4 + 3 \cdot 188 \cdot 2 + 3 \cdot 376 \cdot 4, \text{ woraus } Y_5 = -973 \text{ kg};$$

die Spannungen in den übrigen Diagonalen sind gleich Null.

In den Verticalen sind die Spannungen  $V_1, V_2$  und  $V_3$  gleich Null;  $V_4$  wird durch die Aufstellung der Gleichgewichtsbedingung für den Firftknotenpunkt, wie folgt, erhalten:

$$0 = V_4 + 188 + X_5 \sin \alpha + X_4 \sin \alpha = V_4 + 188 - (1750 + 1645) 0,447, \text{ woraus } V_4 = 1330 \text{ kg}.$$

Ferner ergibt sich:

$$0 = V_5 \cdot 6 - 2 \cdot 376 \cdot 3 - 2 \cdot 188 \cdot 1,5, \text{ woraus } V_5 = 470 \text{ kg};$$

$$0 = V_6 \cdot 4 - 376 \cdot 2 - 188 \cdot 1, \text{ woraus } V_6 = 235 \text{ kg}.$$

δ) Zusammenstellung der Stabspannungen. Für die Querschnittsbestimmungen sind die gefundenen Spannungen in neben stehender Tabelle zusammengestellt.

### b) Deutsche Dachstühle.

Der deutsche Dachstuhl ist ein englischer Dachstuhl mit nur einem Knotenpunkt in jeder Dachhälfte; wir werden demnach die in demselben durch Eigenlast und totale Schneelast entstehenden Spannungen aus den Formeln für den englischen Dachstuhl ableiten können (Fig. 280).

Für die obere Gurtung ist in die Gleichungen 293. und 294. statt  $2n$  die Zahl 4 einzusetzen und für  $m$  der Reihe nach 1 und 2; alsdann erhält man

$$\left. \begin{aligned} X_1 &= -\frac{3P}{2 \cos \alpha (\operatorname{tg} \alpha - \operatorname{tg} \beta)} = -\frac{3P\lambda}{2e} \\ X_2 &= -\frac{P}{\cos \alpha (\operatorname{tg} \alpha - \operatorname{tg} \beta)} = -\frac{P\lambda}{e} \end{aligned} \right\} \dots \dots \dots 305.$$

Die allgemeine Gleichung 295., bzw. 296. für die untere Gurtung gilt nicht für  $m = 1$  (siehe Art. 426, S. 392). Für  $m = 2, 2n = 4$  übergeht Gleichung 295., bzw. 296. in

$$Z = \frac{3P}{2 \cos \beta (\operatorname{tg} \alpha - \operatorname{tg} \beta)},$$

$$Z = \frac{3P\lambda_1}{2e} \dots \dots \dots 306.$$

Für die Diagonalen giebt die Gleichung 299. für  $m = 2$

$$Y = -\frac{P}{4e} \sqrt{L^2 + 4(2e - h)^2} \dots \dots \dots 307.$$

Für die Verticale ist Gleichung 301. anzuwenden, und es ergibt sich für  $n = 2$

$$V = P \left( \frac{2 \operatorname{tg} \alpha}{\operatorname{tg} \alpha - \operatorname{tg} \beta} - 1 \right) = P \left( 2 \frac{2h}{2h - 2h_1} - 1 \right) = P \frac{h + h_1}{e} \dots \dots \dots 308.$$

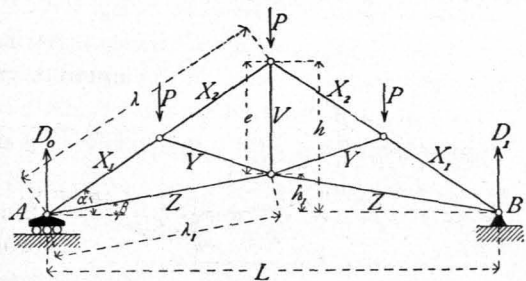


Fig. 280.

433-  
Ermittlung  
der  
Spannungen.

Fig. 281.

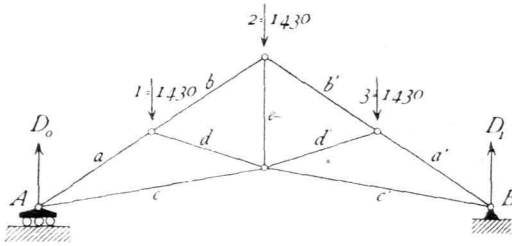


Fig. 282.

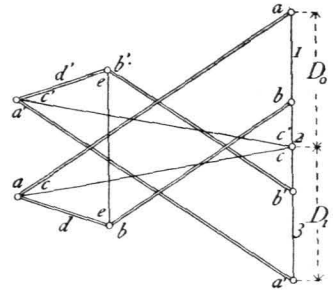


Fig. 283.

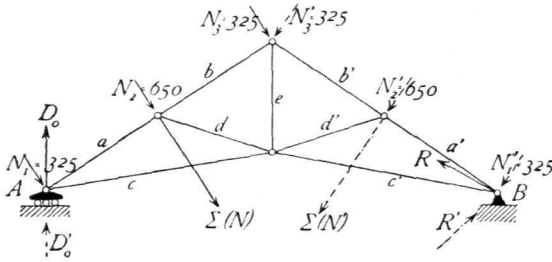


Fig. 284.

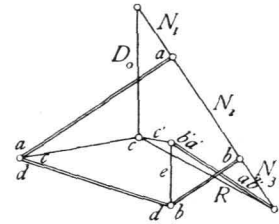
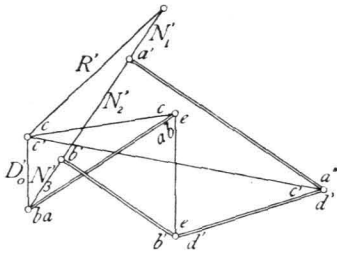


Fig. 285.



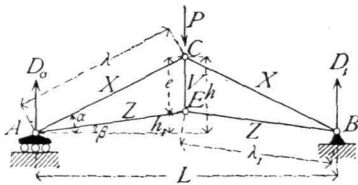
Für schiefe Belastungen durch Winddruck sind die Spannungen, wie beim englischen Dachstuhl gezeigt, zu ermitteln.

Die graphische Ermittlung der Spannungen im deutschen Dachstuhl für die Belastungen durch Eigengewicht und Winddruck von der einen, bezw. der anderen Seite zeigen die Fig. 281 bis 285.

c) Dreiecksdächer.

Die Aufstellung der Gleichgewichtsbedingungen für die einzelnen Knotenpunkte ergibt (Fig. 286), da  $D_0 = D_1 = \frac{P}{2}$  ist, die Werthe der Stabspannungen.

Fig. 286.



$$\left. \begin{aligned} \text{Es ist } 0 &= X \cos \alpha + Z \cos \beta \\ \text{und } 0 &= D_0 + X \sin \alpha + Z \sin \beta, \text{ woraus} \\ X &= -\frac{P}{2 \cos \alpha (\operatorname{tg} \alpha - \operatorname{tg} \beta)} = -\frac{P \lambda}{2 e} \\ Z &= +\frac{P}{2 \cos \beta (\operatorname{tg} \alpha - \operatorname{tg} \beta)} = \frac{P \lambda_1}{2 e} \end{aligned} \right\} \quad 309.$$

Sowohl  $X$  wie  $Z$  nehmen mit wachsendem  $e$  ab; für den Materialverbrauch ist also ein mög-

licht großes  $e$  günstig.

Ferner ist  $P + V + 2 X \sin \alpha = 0$ , woraus

$$V = P \frac{\operatorname{tg} \beta}{\operatorname{tg} \alpha - \operatorname{tg} \beta} = \frac{P h_1}{h - h_1} = \frac{P h_1}{e} \dots \dots \dots 309a.$$

So lange  $h_1$  positiv ist, d. h.  $E$  über der Horizontalen  $AB$  liegt, ist  $V$  positiv,

434.  
Ermittlung  
der  
Spannungen.

d. h. Zug; für  $h_1 = 0$  ist auch  $V = 0$ , d. h. wenn  $AEB$  eine gerade Linie ist, hat die Stange  $CE$  keine Spannung; wird  $h_1$  negativ, d. h. liegt  $E$  unter der Linie  $AB$ , so ist  $V$  negativ, d. h. Druck.

Die Spannungen durch Windbelastung sind, wie beim englischen Dachstuhl gezeigt, vermittels der Ritter'schen Methode oder durch Aufstellung der Gleichgewichtsbedingungen zu ermitteln. Bequemer ist, besonders für diese Belastungsart, die graphische Ermittlung.

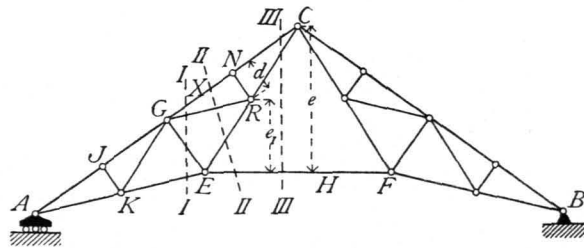
#### d) Französische oder Polonceau-Dachstühle.

Die Berechnung und die Construction der Stabspannungen ist hier nach Ermittlung sämtlicher äußerer Kräfte für die verschiedenen Belastungsarten in der allgemein gezeigten Weise (siehe Art. 376, S. 339) vorzunehmen; die Berechnung geschieht meistens bequem vermittels der Momentenmethode, die graphische Ermittlung nach Cremona. Die Formeln für die einzelnen Stabspannungen werden nicht sehr einfach, so daß wir von der Aufstellung von Formeln hier absehen wollen.

Ueber den einfachen Polonceau-Dachstuhl braucht demnach hier nichts weiter gesagt zu werden. Besondere Aufmerksamkeit dagegen erfordert der zusammengesetzte Polonceau-Dachstuhl (siehe Art. 424, S. 390). Bei demselben ist es nämlich für eine Anzahl von Stäben nicht möglich, die Schnitte so zu legen, daß nur drei Stäbe vom Schnitte getroffen werden; beim graphischen Verfahren stellt sich eine analoge Schwierigkeit heraus. Wir werden uns deshalb hier nur mit dem zusammengesetzten Polonceau-Dachstuhl beschäftigen.

1) Berechnung der Spannungen. Bei der Momentenmethode ist der Momentenpunkt so zu wählen, daß für denselben alle Unbekannten mit Ausnahme einer einzigen das Moment Null haben, mithin nur eine Unbekannte in der Gleichung verbleibt. Bei einigen Stäben ist es nun möglich, den Schnitt so zu legen, daß mit Ausnahme einer einzigen sämtliche Stabrichtungen sich in einem Punkte schneiden; in diesem Falle ist dieser Punkt als Momentenpunkt für die Ermittlung der Spannungen in demjenigen Stabe zu wählen, welcher nicht durch diesen Punkt geht. So werden durch den Schnitt  $II$  (Fig. 287) vier Stäbe geschnitten, deren drei sich in  $G$  treffen; die Spannung in  $KE$  kann demnach durch Aufstellung der Momentengleichung für  $G$  als Drehpunkt aufgesucht werden. Trifft aber der Schnitt vier oder mehr Stäbe, von welchen sich nicht alle mit Ausnahme eines einzigen in einem Punkte schneiden, so bleibt nichts übrig, als eine Reihe von Stabspannungen vorher zu bestimmen, um diese nicht mehr als Unbekannte in der Momentengleichung zu haben. Man bestimme also zunächst die Spannungen jener Stäbe, bei denen Schnitte möglich sind, die nur drei Stäbe treffen; indem alsdann diese Spannungen als Bekannte eingeführt werden, bleiben in den Momentengleichungen nur noch die gesuchten Unbekannten. Um

Fig. 287.



435-  
Einfacher  
Polonceau-  
Dachstuhl.

436.  
Zusammen-  
gesetzter  
Polonceau-  
Dachstuhl.

z. B. die Spannungen in  $GN$ ,  $GR$ ,  $RE$  und  $EF$ , welche Stäbe durch den Schnitt  $III$  getroffen werden, zu finden, ermittle man zunächst diejenige in  $EF$ . Man schneide nach  $III$ ; alsdann ist für  $EF$  der Firstpunkt  $C$  der conjugirte Punkt und demnach die Spannung  $H$  in  $EF$  leicht zu finden. Es ist  $H = \frac{M}{e}$ , wenn  $M$  das Biegemoment der äußeren Kräfte für  $C$  ist. Nun sind für den Schnitt  $III$  nur noch drei Unbekannte vorhanden. Um die Spannung  $X$  in  $GN$  zu bestimmen, dient die Momentengleichung für Punkt  $R$ , in welcher nur  $X$  als Unbekannte verbleibt; für die Spannung in  $GR$  ist  $C$ , für diejenige in  $RE$  ist  $G$  der conjugirte Punkt. Nachdem diese Spannungen ermittelt sind, ist für Schnitt  $II$  nur noch die Spannung in  $GE$  unbekannt; man kann demnach einen beliebigen, nicht auf der Richtungslinie von  $GE$  liegenden Punkt als Momentenpunkt annehmen.

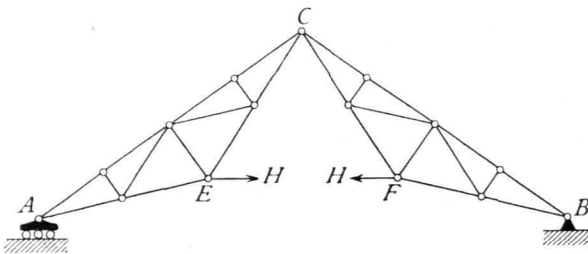
Es empfiehlt sich, stets zuerst die Spannung  $H$  im Stabe  $EF$  zu ermitteln und dann diesen Stab durch die beiden äußeren Kräfte  $H$  in  $E$  und  $F$  (nach Fig. 288) zu ersetzen. Natürlich sind für jede geänderte Belastung andere Werthe für  $H$  auszurechnen und einzuführen; alsdann werden, da ja  $EF$  nicht mehr als Stab vorhanden ist, meistens nur drei Stäbe getroffen, so daß die conjugirten Punkte sich leicht markiren. Bemerkt werden möge noch, daß die Schnitte beliebig krumm sein können, das allgemeine Gesetz (vergl. Art. 254, S. 232) bleibt dabei gültig und damit auch unser Verfahren.

Die vorstehenden Entwicklungen gelten sowohl für verticale, wie für schiefe Belastungen.

Bei verticalen Belastungen ergeben sich ferner die totalen Belastungen des ganzen Binders wiederum als die ungünstigsten; für die Diagonalen allerdings in demselben Sinne, wie oben beim englischen Dache nachgewiesen, nämlich daß bei totaler Belastung auch diejenigen Punkte belastet sind, welche in den Diagonalen die Spannung Null erzeugen. Der Nachweis ist unschwer zu führen, soll aber hier, um den verfügbaren Raum nicht zu überschreiten, fortbleiben.

2) Graphische Ermittlung der Spannungen. Bei der Construction des *Cremona'schen* Kräfteplanes ergeben sich analoge Schwierigkeiten, wie bei der Berechnung. Wenn man nämlich beim Aneinanderreihen der kleinen Kraftpolygone bis zum Knotenpunkt  $E$  (Fig. 287) gekommen ist, so sind an diesem drei Stäbe mit nicht bekannten Spannungen; das Verfahren ist also nicht ohne Weiteres anwendbar. Die Schwierigkeit wird analog, wie oben, dadurch beseitigt, daß man zuerst die Spannung  $H$  des Stabes  $EF$  bestimmt und dieselbe als in  $E$ , bezw.  $F$  wirkende äußere Kraft einführt. Dadurch erreicht man auch, daß die Stäbe

Fig. 288.



zwischen  $E$  und  $C$ , so wie zwischen  $C$  und  $F$  zu Randstäben werden. Bevor demnach für den zusammengesetzten *Polonceau-Dachstuhl* der Kräfteplan gezeichnet werden kann, ist  $H$  zu ermitteln. Diese Ermittlung erfolgt entweder auf dem Wege der Rechnung, wie oben gezeigt, oder besser,

wenn doch alles Uebrig  
construirt wird, auf geo-  
metrischem Wege. Wir  
werden das einzuschla-  
gende Verfahren für die  
verschiedenen Belastungs-  
arten zeigen.

a) Belastung durch  
das Eigengewicht, bezw.  
totale Schneelast. Man  
kann  $H$  vermittle der Schnitt-  
methode bestimmen, indem man

das Seilpolygon der äußeren Kräfte für einen beliebigen Pol construirt, einen Schnitt  $fo$  durch den Träger legt, das aufser  $EF$  nur noch zwei Stäbe getroffen werden, den Angriffspunkt der Transversalkraft für diesen Schnitt sucht und nun, wie oben in Art. 381, S. 341 gezeigt, zerlegt. Die Kraft  $Q$  wird dann sehr weit feitwärts fallen, weil der Schnitt nahe der Mitte liegt, und wenn man sich auch durch Hilfs-  
constructions helfen kann, so dürfte doch die folgende Construction empfehlenswerther fein.

Fig. 289.

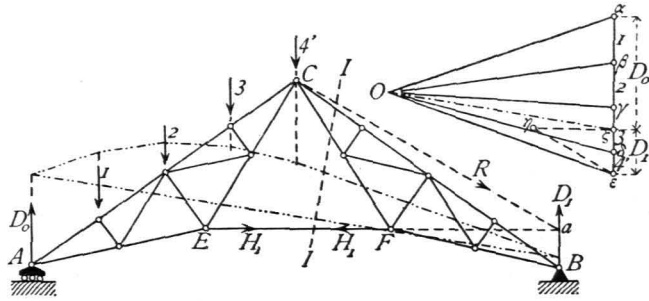


Fig. 290.

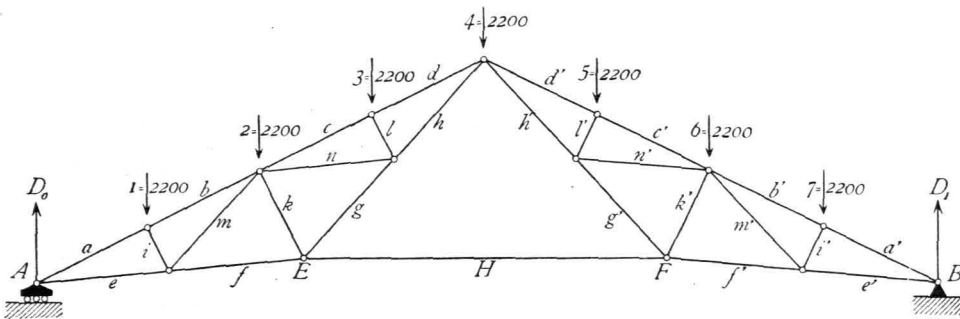


Fig. 291.

Die Spannung  
 $H$  im Stabe  $EF$  (Fig.  
289) ist bei totaler  
Belastung (und der  
hier vorausgesetzten  
zur Firtverticalen sym-  
metrischen Dachform)  
offenbar genau doppelt  
so groß, als die Span-  
nung  $H_1$ , welche in  
 $EF$  bei Belastung nur  
der einen Dachhälfte  
stattfindet. Die Größe  
dieser Spannung  $H_1$   
wird nun folgender  
Mafsen ermittelt. Man  
legt einen Schnitt  $II$   
durch das Dach derart,  
dafs an der einen (hier  
der rechten) Seite des-  
selben gar keine Lasten  
liegen; alsdann wirken  
auf den Theil

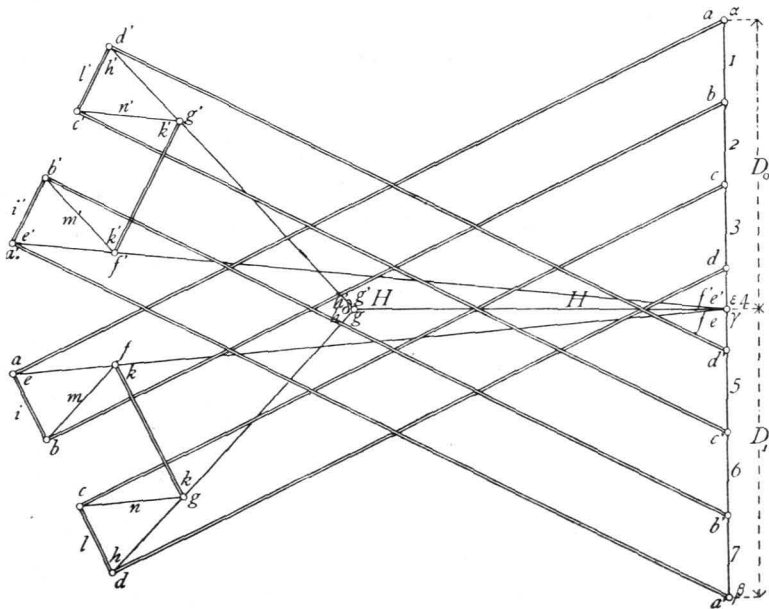




Fig. 292.

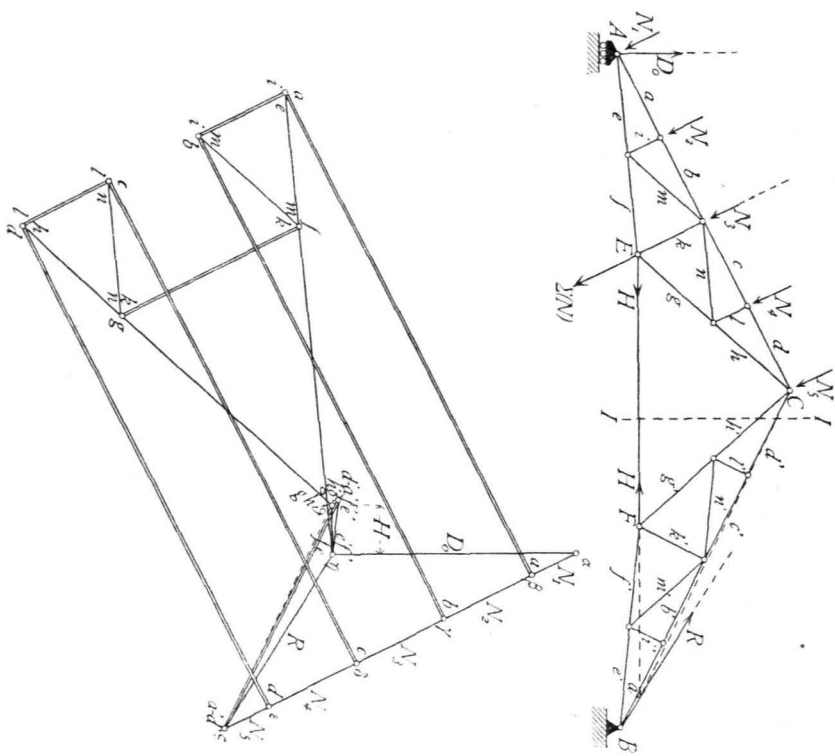
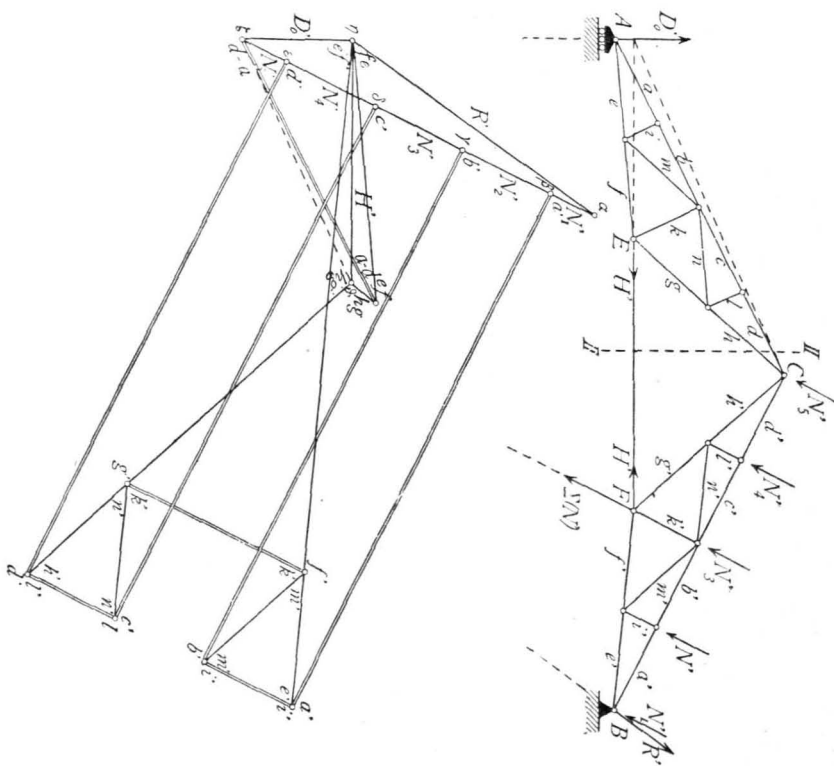


Fig. 293.



rechts vom Schnitte nur die Spannungen der drei durchschnittenen Stäbe und die Auflager-Reaction  $D_1$ . Zwei von diesen Stäben schneiden sich im Firfipunkte; die in ihnen wirkenden Spannungen können also durch eine Mittelkraft ersetzt werden, welche durch den Firfipunkt  $C$  geht; demnach halten die drei auf das Fragment wirkenden Kräfte  $D_1, H_1$  und die Mittelkraft  $R$  der beiden Stabspannungen das Fragment im Gleichgewicht, schneiden sich also in einem Punkte. Durch den Schnittpunkt  $a$  von  $H_1$  und  $D_1$  geht also auch  $R$ ;  $R$  geht aber auch durch  $C$ ; die Kraft  $R$  hat demnach die Richtung  $Ca$ . Nun können wir  $D_1$  nach den beiden bekannten Richtungen von  $H_1$  und  $R$  zerlegen;  $D_1$  wird mit Hilfe des Seilpolygons construirt und ist (Fig. 289) gleich  $\varepsilon\zeta$ . Man erhält  $H_1 = \zeta\eta$  und  $R = \eta\varepsilon$ .

Die Kraft  $H$ , welche der Belaftung des ganzen Daches entspricht, ist dann gleich  $2 \times \zeta\eta$ . Es bedarf wohl kaum der Erwähnung, daß in obiger Construction als Belaftung des Firfipunktes nur die Hälfte der anderen Knotenpunktsbelaftungen einzuführen ist. Es ist deshalb hier die Last im Firfipunkt mit  $\delta'$  bezeichnet.

Der Kräfteplan ist nun zu construiren, indem statt der Stange  $EF$  die äußeren Kräfte  $H$  in den Punkten  $E$  und  $F$  eingeführt werden. Man trage die Lasten  $1, 2 \dots 6, 7$  an einander (Fig. 291); auf  $7$  folgt  $D_1 = \beta\gamma$ , dann die Kraft  $H$  im Punkte  $F$  gleich  $\gamma\delta$  und  $H$  im Punkte  $E$  gleich  $\delta\varepsilon$ ;  $\varepsilon$  fällt mit  $\gamma$  zusammen. Endlich ist an  $\varepsilon$  die Auflager-Reaction  $D_0 = \gamma\alpha$  anzutragen, womit sich das Kraftpolygon schließt. Nun ist der Kräfteplan nach den in Art. 382, S. 342 angegebenen Principien in Fig. 291 construirt, wobei vom Knotenpunkt  $A$  ausgegangen ist.

Für die Belaftung nur der einen Dachhälfte mit Schnee ist  $H_1$ , wie oben gezeigt, zu ermitteln und alsdann der Kräfteplan ohne Schwierigkeit zu verzeichnen.

β) Windbelaftung von der Seite des beweglichen Auflagers. Die Ermittlung der Auflager-Reactionen wird, wie in Art. 417, S. 381 gezeigt, vorgenommen; die Größe der Kraft  $H$  (im Stabe  $EF$ , Fig. 292) ergibt sich wieder durch Betrachtung des Fragmentes an derjenigen Seite des Schnittes  $II$ , an welcher die Winddrücke nicht wirken. Nachdem sodann die  $H$  als äußere Kräfte eingeführt sind, ist der Kräfteplan in gewöhnlicher Weise zu zeichnen. Die Construction ist in Fig. 292 vorgenommen.

γ) Winddruck von der Seite des festen Auflagers. Fig. 293 zeigt die Construction des Kräfteplanes für diesen Fall; nach dem Vorstehenden ist er ohne besondere Erklärung verständlich.

e) Sicheldächer.

Die Gurtungen können bei den Sicheldächern nach beliebigen Curven gekrümmt sein; gewöhnlich sind beide Gurtungen Polygone, welche Parabeln oder Kreisen eingeschrieben sind. Die Bestimmung der Auflager-Reactionen ist in Art. 416 ff. S. 380 ff. gezeigt worden; die Stabspannungen ergeben sich durch Rechnung oder Construction ohne Schwierigkeit. Es soll hier nur die Gesetzmäßigkeit der Spannungsänderungen für das parabolische Sicheldach und für verticale Belastungen gezeigt werden.

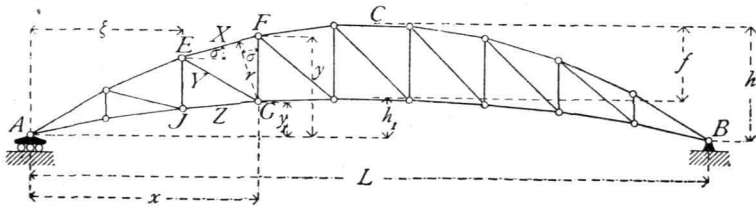
Die Gleichungen der beiden Curven sind, wenn die Pfeilhöhen  $h$  und  $h_1$  sind, nach Art. 393, S. 360 für  $A$  als Anfangspunkt der Coordinaten (Fig. 294)

$$y = \frac{4h}{L^2} (Lx - x^2) \quad \text{und} \quad y_1 = \frac{4h_1}{L^2} (Lx - x^2) \dots 310.$$

α) Stabspannung bei verticaler Belaftung. Für den Stab  $EF$  (Fig. 294) der oberen Gurtung ist  $G$  der conjugirte Punkt, und wenn das Biegemoment für diesen Punkt mit  $M_x$  bezeichnet wird, ist  $Xr + M_x = 0$ , woraus  $X = -\frac{M_x}{r}$ .

437-  
Form  
der  
Dachbinder.

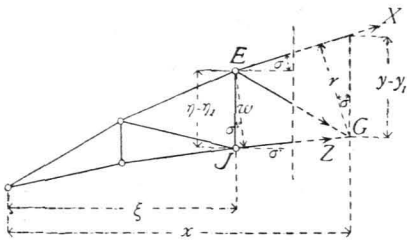
Fig. 294.



438.  
Ermittlung  
d. Spannungen  
durch verticale  
Belastung.

Nun ist  $r = (y - y_1) \cos \sigma = \frac{4}{L^2} (h - h_1) (Lx - x^2) \cos \sigma = \frac{4}{L^2} f(Lx - x^2) \cos \sigma$ ;

Fig. 295.



also

$$X \cos \sigma = - \frac{M_x L^2}{4f(Lx - x^2)} \quad 311.$$

Für den Stab  $JG$  der unteren Gurtung ist  $E$  der conjugirte Punkt, und wenn das Biegemoment für diesen Punkt mit  $M_\xi$  bezeichnet wird, so ist (Fig. 295)  $Z = \frac{M_\xi}{w}$ .

Nun ist

$$w = (\eta - \eta_1) \cos \sigma' = \frac{4}{L^2} f(L\xi - \xi^2) \cos \sigma',$$

d. h.

$$Z \cos \sigma' = \frac{M_\xi L^2}{4f(L\xi - \xi^2)} \quad 312.$$

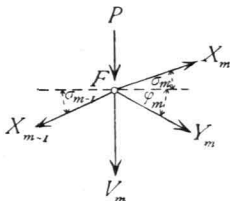
Aus den Gleichungen 311. und 312. folgt:

a) Für totale gleichmäÙig über die Horizontalprojection vertheilte Belastung  $p$  pro Längeneinheit ist  $M_x = \frac{p}{2} (Lx - x^2)$  und  $M_\xi = \frac{p}{2} (L\xi - \xi^2)$ , also

$$X \cos \sigma = - \frac{p L^2}{8f} \quad \text{und} \quad Z \cos \sigma' = \frac{p L^2}{8f}, \quad 313.$$

d. h. die Horizontalcomponenten der Gurtungsspannungen sind bei der angegebenen Belastungsart in beiden Gurtungen constant, und zwar gleich dem Maximalmomente, dividirt durch die Mittenhöhe der Sichel. Bei der Parabel ist innerhalb der Grenzen, welche bei den Dächern vorkommen,  $\cos \sigma$  und  $\cos \sigma'$  nahezu constant. Das soeben gefundene Resultat stimmt mit dem in Art. 396, S. 362 für die Parabelträger Ermittelten überein. Durch Aufstellung der Gleichgewichtsbedingung für einen Knotenpunkt der oberen Gurtung, etwa  $F$ , ergibt sich ferner (Fig. 296)

Fig. 296.



$$0 = X_m \cos \sigma_m - X_{m-1} \cos \sigma_{m-1} + Y_m \cos \varphi_m, \quad \text{d. h.}$$

$$0 = - \frac{p L^2}{8f} + \frac{p L^2}{8f} + Y_m \cos \varphi_m \quad \text{oder} \quad Y_m = 0. \quad 314.$$

Für die angegebene Belastung sind die Spannungen sämmtlicher Diagonalen bei den parabolischen Sieldächern gleich Null.

b) Alle zu den Gurtungsstäben gehörigen conjugirten Punkte liegen zwischen den Verticalen der Auflager  $A$  und  $B$  (Fig. 294); für alle diese Punkte sind die Biegemomente bei verticaler Belastung positiv (siehe Art. 362, S. 325); mithin erzeugt jede verticale Belastung in den Stäben der oberen Gurtung Druck, in denjenigen der unteren Gurtung Zug. Maximaldruck, bzw. -Zug für verticale Belastung wird demnach in allen Stäben bei voller Belastung des ganzen Dachbinders stattfinden.

Für die Spannungen in den Diagonalen ergibt sich in derselben Weise, welche in Art. 397, S. 363 angewendet ist, um die Beanspruchungsart der Diagonalen des Parabelträgers zu ermitteln: Jede Belastung zwischen dem durch eine Diagonale gelegten Verticalschnitt und demjenigen Auflager, nach welchem die Diagonale zu fällt, erzeugt Zug in derselben; jede Belastung zwischen

dem Schnitte und demjenigen Auflager, nach welchem die Diagonale steigt, erzeugt in derselben Druck. Maximaldruck, bzw. -Zug finden demnach statt, wenn nur die Druck-, bzw. Zugabtheilung der betreffenden Diagonalen belastet ist. Ob bei einem Dache diese verschiedenen, jedenfalls für die meisten Diagonalen überhaupt wohl nicht vorkommenden Belastungsarten der Berechnung zu Grunde gelegt werden sollen, ist fraglich; meistens dürfte es genügen, eine Belastung nur der einen Dachhälfte durch Schnee als ungünstigste verticale Belastung einzuführen. Die hierbei sich ergebenden Spannungen sind mittels der Ritter'schen Methode leicht zu finden.

Betreff der Spannungen in den Verticalen ergibt sich wie oben folgendes Gesetz: Maximaldruck, bzw. -Zug findet in einer Verticalen bei der Belastung statt, welche in derjenigen Diagonalen den größten Zug, bzw. Druck erzeugt, die mit der Verticalen in einem Knotenpunkt der nicht belasteten Gurtung zusammentrifft. Auch hier dürfte es genügen, als mobile Verticalbelastungen nur die Belastung des ganzen Daches und diejenige der einen Dachhälfte anzunehmen.

Bei Belastung des ganzen Dachbinders mit der gleichmäßig über die Horizontalprojection vertheilten Belastung  $p$  ergibt sich die Spannung aller Verticalen durch Aufstellung der Gleichgewichtsbedingung für einen Knotenpunkt der unteren Gurtung. Es ist (Fig. 297), da die Spannung in der Diagonalen gleich Null ist,

$$0 = V_m + Z_m \sin \sigma'_m - Z_{m-1} \sin \sigma'_{m-1} \quad \text{und} \quad 0 = V + \frac{p L^2}{8 f} (\operatorname{tg} \sigma'_m - \operatorname{tg} \sigma'_{m-1}).$$

Wird (mit geringem Fehler) die Curve als stetig gekrümmt angesehen und werden die Richtungen der Stäbe als parallel zu den in den Mitten der unteren Gurtungsstäbe an die Parabel gelegten Tangenten eingeführt, so ist

$$\operatorname{tg} \sigma'_m = \frac{4 h_1}{L^2} (L - 2 x_m) \quad \text{und} \quad \operatorname{tg} \sigma'_{(m-1)} = \frac{4 h_1}{L^2} (L - 2 x_{m-1}),$$

sonach

$$0 = V + \frac{p L^2}{8 f} \frac{4 h_1}{L^2} 2 (x_{m-1} - x_m) = V - \frac{p h_1}{f} a, \quad \text{woraus} \quad V = \frac{p h_1 a}{f} \quad 315.$$

$V$  nimmt ab, wenn  $h_1$  abnimmt; für  $h_1 = 0$  ist  $V = 0$ .

β) Stabspannungen bei einseitiger Schneebelastung. In Betreff der Belastung durch einseitige Schneelast ist Folgendes zu beachten. Man braucht nicht für beide Belastungsarten, diejenige des ganzen Daches und diejenige der einen Dachhälfte, die Spannungen zu berechnen; vielmehr genügt für symmetrisch zur Mittelverticalen angeordnete Construction die Kenntniß der Spannungen bei einseitiger Belastung, um diejenigen zu erhalten, welche bei totaler Belastung stattfinden, und gleichzeitig zu ermitteln, welche Belastungsart die gefährlichere ist. Die Belastung der linken Dachhälfte erzeugt etwa (Fig. 299) im Stabe  $EF$  die Spannung  $g'$ ; die Belastung der rechten Dachhälfte erzeugt in demselben Stabe die Spannung  $g''$ . Die Totalbelastung hat offenbar im Stabe  $EF$  die Spannung  $g' + g''$  zur Folge. Liegt nun  $NO$  genau symmetrisch mit  $EF$ , so wird die Spannung  $n'$  in  $NO$  bei der ersteren Belastungsart genau so groß sein, wie  $g''$ . Es ist aber

$$g_{total} = g' + g'' = g' + n'.$$

Die durch die Belastung des ganzen Daches in einem Stabe entstehende Spannung ist also gleich der Summe derjenigen Spannungen, die durch Belastung der einen Dachhälfte in dem betrachteten Stabe und in dem symmetrisch zur Mitte liegenden Stabe entstehen. Wenn die symmetrisch zur Mitte liegenden Stäbe bei der Belastung einer Dachhälfte in gleichem Sinne beansprucht werden, also beide Zug oder beide Druck erhalten, so ist die Summe dieser Spannungen größer, als jede einzelne,

Fig. 297.

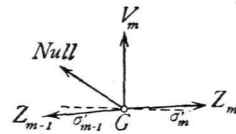
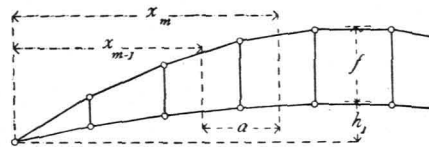
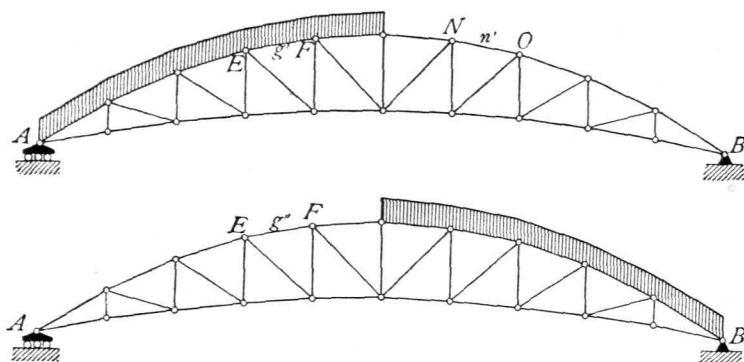


Fig. 298.



439. Ermittlung d. Spannungen durch einseitige Schneelast.

Fig. 299.



spannungen als ungünstige einzuführen sind, da nach der neuen Dimensionierungsmethode nicht nur die Maximal-, sondern auch die Minimalspannungen von Wichtigkeit sind. Wenn ein Mittelfeld mit zwei sich kreuzenden Zugdiagonalen vorhanden ist, so gilt die vorstehende Entwicklung ebenfalls; jedoch ist stets nur diejenige Diagonale des Mittelfeldes als vorhanden zu betrachten, welche bei der betreffenden Belastung Zug erleidet.

Was oben vom Sieldach angegeben wurde, gilt selbstverständlich von jedem aus zwei symmetrischen Hälften zusammengesetzten Dachstuhl.

γ) Stabspannungen bei Belastung durch Winddruck. Die durch Windbelastung entstehenden Stabspannungen sind sowohl für den Fall, daß der Wind von der Seite des beweglichen Auflagers kommt, wie für den Fall zu ermitteln, daß der Wind von der Seite kommt, an welcher das feste Auflager liegt. Die Berechnung ist nach Früherem leicht durchzuführen.

δ) Gegendiagonalen. Aus dem Belastungsgesetz für die Diagonalen geht hervor, daß jede Diagonale sowohl Zug, wie Druck erhalten kann; will man dies vermeiden, so sind Gegendiagonalen anzuwenden, worüber das im Kapitel »Träger« (Art. 399, S. 367) Gefagte auch hier gilt.

Beispiel. Für nachstehend näher beschriebenes Sieldach sind in den Fig. 300 bis 302 die Stabspannungen ermittelt, und zwar zeigt Fig. 300 das System und die Spannungsermittlung für Belastung durch das Eigengewicht, Fig. 301 die Spannungen für einseitige Schneelast, Fig. 302 diejenigen für Windbelastung von der Seite des beweglichen, bezw. festen Auflagers.

Die Hauptdimensionen und Belastungen des Dachstuhles sind: Stützweite  $L = 24$  m; Anzahl der Felder gleich 6; Feldweite gleich 4 m; Pfeilhöhe der oberen Parabel  $h = 4,8$  m, der unteren Parabel  $h_1 = 2,4$  m; die Binderweite ist 4,2 m; die Dachdeckung Eisenwellblech auf Eifenpfetten.

Die Ordinaten der beiden Parabeln ergeben sich aus den Gleichungen 310:

$$\begin{array}{l} \text{für } x = 4 \quad 8 \quad 12 \quad 16 \quad 20 \text{ m} \\ \text{ist } y = 2,67 \quad 4,27 \quad 4,8 \quad 4,27 \quad 2,67 \text{ m,} \\ y_1 = 1,33 \quad 2,13 \quad 2,4 \quad 2,13 \quad 1,33 \text{ m.} \end{array}$$

$$\text{Ferner ist } \operatorname{tg} \alpha_1 = \frac{2,67}{4} = 0,6675, \quad \operatorname{tg} \alpha_2 = \frac{4,27 - 2,67}{4} = 0,4, \quad \operatorname{tg} \alpha_3 = \frac{4,8 - 4,27}{4} = 0,1325;$$

$$\alpha_1 = \infty 33^\circ 40', \quad \alpha_2 = \infty 22^\circ, \quad \alpha_3 = \infty 7^\circ 30';$$

$$\lambda_1 = \sqrt{4^2 + 2,67^2} = 4,81 \text{ m,} \quad \lambda_2 = \sqrt{4^2 + 1,6^2} = 4,31 \text{ m,} \quad \lambda_3 = \sqrt{4^2 + 0,53^2} = 4,04 \text{ m.}$$

Die Belastung durch das Eigengewicht beträgt pro 1 qm Horizontalprojection der Dachfläche 42 kg, demnach pro Knotenpunkt  $G = 4,0 \cdot 4,2 \cdot 42 = 705,6 = \infty 700$  kg; die Belastung durch Schnee pro Knotenpunkt  $S = 4 \cdot 4,2 \cdot 75 = 1260$  kg; die Belastung durch Winddruck ergibt sich nach Gleichung 273. folgender Mafsen:

$$\begin{array}{lll} \text{für } \alpha_1 = 33^\circ 40', & \alpha_2 = 22^\circ, & \alpha_3 = 7^\circ 30', \\ v = 57 \text{ kg,} & v = 34 \text{ kg,} & v = 11 \text{ kg.} \\ N_1 = 4,2 \lambda_1 \cdot 57 = \infty 1150 \text{ kg,} & N_2 = 4,2 \lambda_2 \cdot 34 = \infty 620 \text{ kg,} & N_3 = 4,2 \lambda_3 \cdot 11 = \infty 190 \text{ kg.} \end{array}$$

d. h. die Totalbelastung des Daches ist ungünstiger, als die einseitige. Werden beide Stäbe in entgegengesetztem Sinne beansprucht, so ist die Summe beider kleiner, als die größere von beiden, demnach die einseitige Belastung als ungünstigere einzuführen. Dabei ist zu beachten, daß in letzterem Falle beide Stäbe

440.  
Ermittlung  
d. Spannungen  
durch  
Winddruck.

441.  
Gegen-  
diagonalen.

442.  
Beispiel.

Fig. 301.

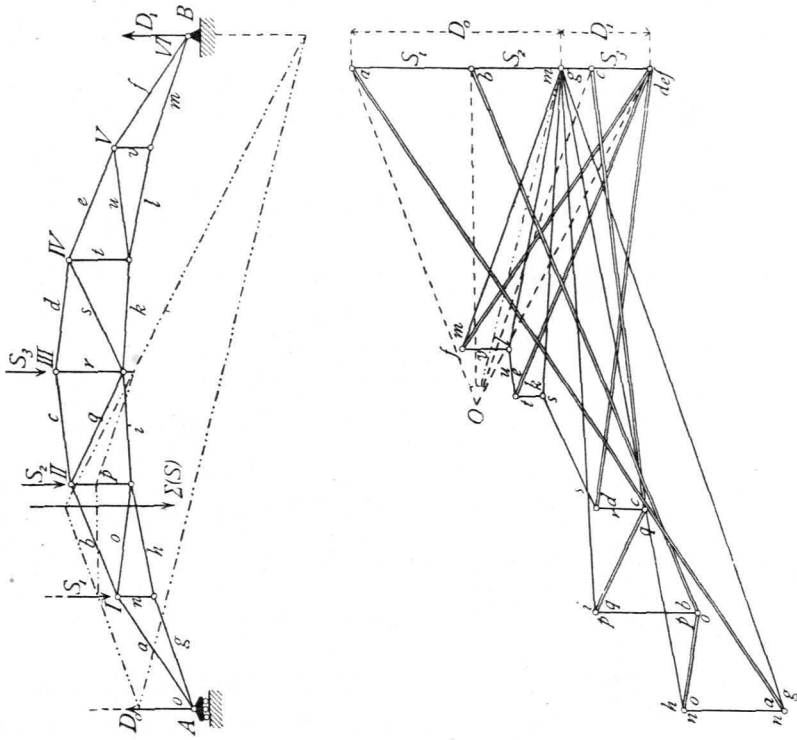


Fig. 300.

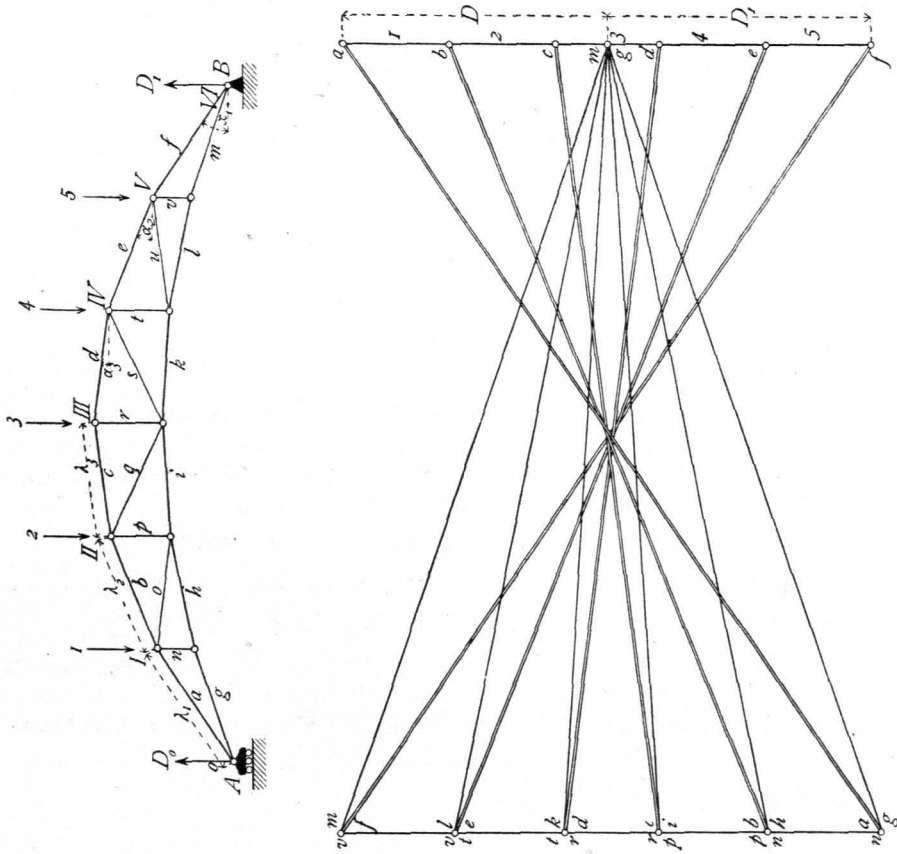
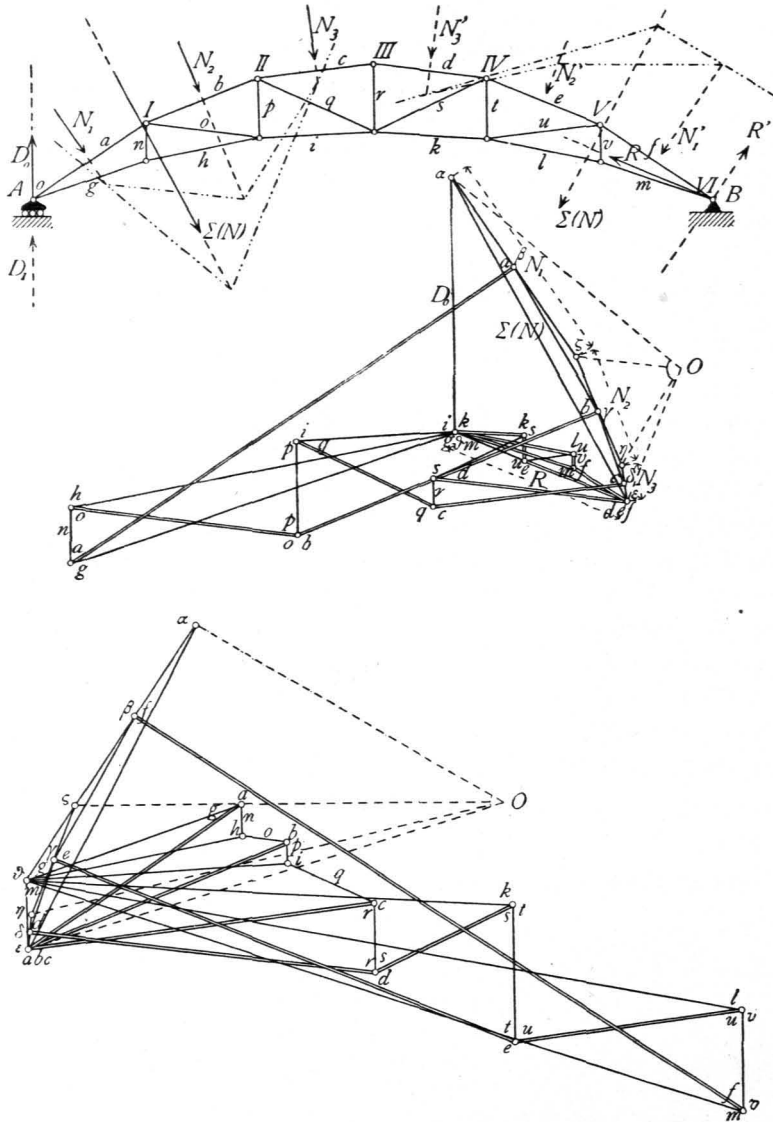


Fig. 302.



Aus den Werten von  $N_1$ ,  $N_2$  und  $N_3$  ergeben sich leicht die Knotenpunktbelastungen. Von  $N_1$  kommt die Hälfte auf den Knotenpunkt  $o$ , die andere Hälfte auf den Knotenpunkt  $I$ ; analog verhält es sich mit  $II$  und  $III$ . Die beiden in einem Knotenpunkte ( $I$ , bzw.  $II$ ) wirkenden Lasten sind alsdann leicht zu einer Resultierenden zu vereinigen, wie in Fig. 302 geschehen.

#### f) Pultdächer.

443.  
Spannungen.

Die Pultdächer sind Balkendächer, welche man sich aus den Satteldächern, bzw. Tonnendächern dadurch entstanden denken kann, daß die Hälfte an der einen Seite der verticalen Mittelaxe fortgelassen ist. Die Ermittlung der Belastungen, der Auflager-Reactionen und der inneren Spannungen, sei es auf dem Wege der Rechnung, sei es auf dem der Construction, ist genau in derselben Weise vorzunehmen, die in den vorstehenden Artikeln gezeigt ist, weshalb hier nicht weiter darauf eingegangen zu werden braucht.

## 3. Kapitel.

## Sprengwerks- und ConSOLE-Dächer.

## a) Sprengwerksdächer.

Entsprechend den Bemerkungen in Art. 414, S. 380 und Art. 439, S. 409 werden wir als möglichst ungünstige Belastungen durch mobile verticale Lasten nur die Schneebelastung des ganzen Daches und diejenige einer Dachhälfte der Berechnung zu Grunde legen; ferner die einseitige Windbelastung als ungünstigste Belastung durch schiefe Lasten. Bei der Schneebelastung ist ferner für jeden Stab zu untersuchen, ob die Belastung des ganzen Daches oder diejenige der einen oder der anderen Hälfte die ungünstigste ist. Zu diesem Zwecke genügt nach Art. 439, S. 409 die Bestimmung der Stabspannungen bei einseitiger Schneebelastung.

444.  
Ungünstigste  
Belastung.

Aus der Größe und Art der Beanspruchungen sämtlicher Stäbe bei dieser Belastung sind alsdann, wie dort gezeigt ist, die ungünstigsten verticalen Belastungen, so wie die Größen der ungünstigsten Spannungen leicht zu ermitteln.

Die Berechnung der Spannungen erfolgt, wenn die Reactionen ermittelt sind, nach der Momentenmethode genau, wie bei den anderen Dächern. Für eine beliebige verticale Belastung (Fig. 303) handle es sich um die Spannungen  $X$ ,  $Y$  und  $Z$  in den Stäben  $EF$ ,  $EK$  und  $GK$ .

445.  
Berechnung  
der  
Spannungen.

Für  $EF$  ist  $K$  der conjugirte Punkt, und für das Fragment zwischen  $A$  und dem Schnitte  $II$  wird

$$0 = Vx - Hu - P_1(x - \eta_1) + Xr,$$

woraus

$$X = - \frac{1}{r} [Vx - Hu - P_1(x - \eta_1)].$$

Für  $GK$  ist  $E$  der conjugirte Punkt, und es wird

$$0 = Vx' - Hv - Zz, \text{ woraus } Z = \frac{1}{z} (Vx' - Hv).$$

Endlich ist  $F$  der conjugirte Punkt für  $EK$ , und es wird

$$0 = Vw - Hd - P_1(w - \eta_1) - Yy, \text{ woraus } Y = \frac{1}{y} [Vw - Hd - P_1(w - \eta_1)].$$

Man kann auch, was oft einfacher ist, die Gleichgewichtsbedingung für das Fragment zwischen  $C$  und dem Schnitte  $II$  aufstellen; selbstverständlich ergeben sich dieselben Resultate.

Für schiefe Belastungen ist die Methode genau die gleiche.

Sollen die Spannungen auf geometrischem Wege ermittelt werden, so wird, nachdem für die angenommenen Belastungen die Reactionen der Punkte  $A$  und  $B$  ermittelt sind, für jede Hälfte der Kräfteplan nach Cremona in mehrfach erörterter Weise construirt. In Fig. 304, 305 und 306 sind diese Kräftepläne für Belastung durch Eigengewicht, einseitige Schneelast und Winddruck construirt.

446.  
Graphische  
Ermittlung  
der  
Spannungen.

Fig. 303.

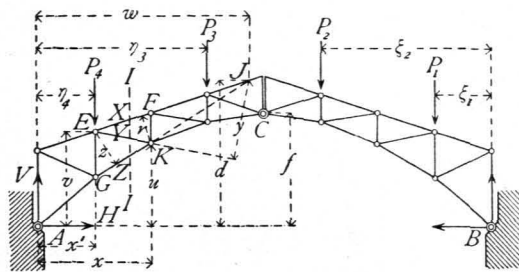




Fig. 304.

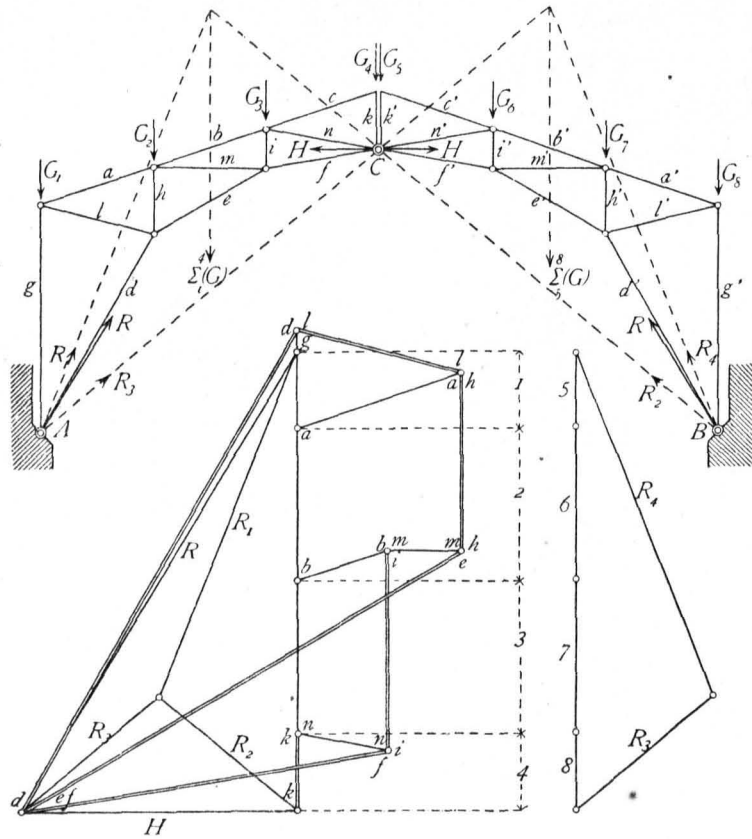


Fig. 305.

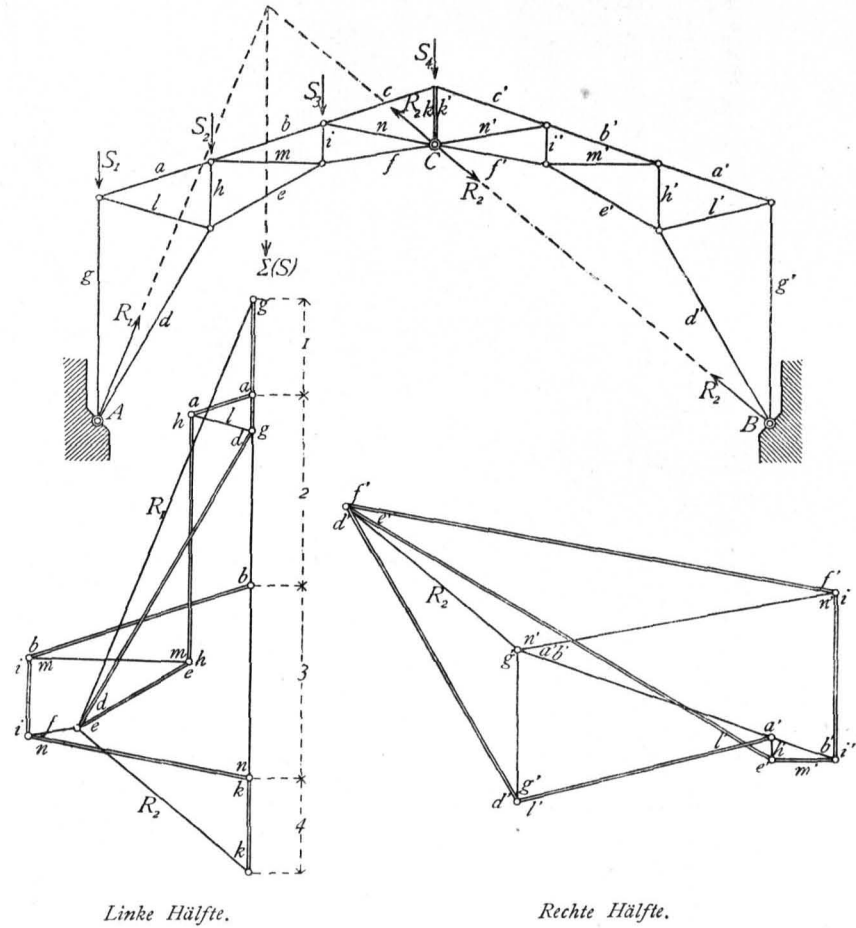
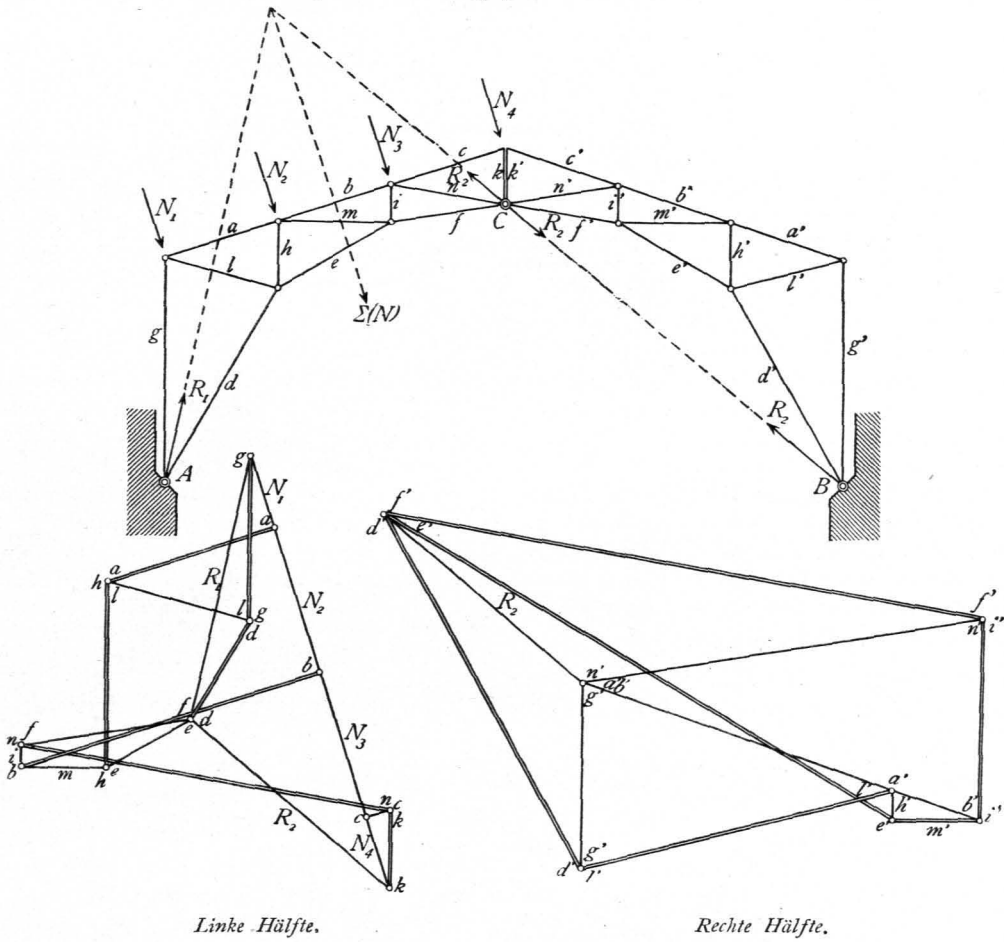


Fig. 306.



b) Confole-Dächer.

Die Confole-Dächer sind Dächer, welche, wie die Confole-Träger (siehe Art. 364 bis 367, S. 326 bis 329), an ihrem einen Ende unterstützt sind, am anderen Ende frei schweben. Demnach muß auch hier, falls Gleichgewicht stattfinden soll, Seitens der Wand, an welcher das Confole-Dach befestigt ist, eine Auflager-Reaction und ein Moment geleistet werden.

1) Reactionen. Für verticale Belastungen ist die Auflager-Reaction im Punkte A (Fig. 307)

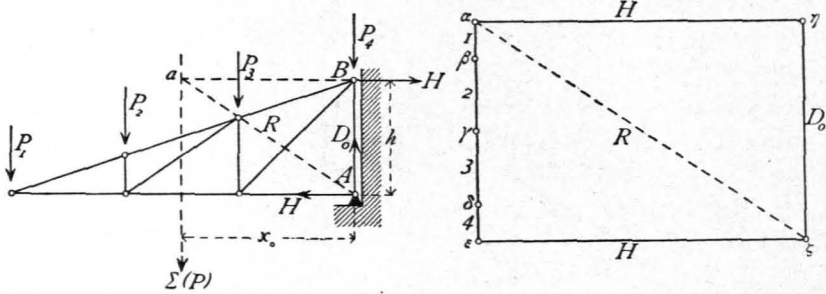
$$D_0 = \Sigma (P) \dots \dots \dots 316.$$

Das Seitens der Wand zu leistende Moment muß dem resultirenden Momente der äußeren Kräfte, d. h. demjenigen von  $\Sigma (P)$  und A genau gleich sein und entgegengesetzte Drehrichtung haben. Da  $D_0 = \Sigma (P)$  ist und beide Kräfte einander parallel sind, so bilden sie ein Kräftepaar mit dem Momente  $M_0 = x_0 \Sigma (P)$ . Dieselbe Gröfse hat also das von der Mauer zu leistende Moment. Wir denken uns dieses Moment durch zwei gleiche, parallele und entgegengesetzt gerichtete Kräfte H in den Punkten A und B gebildet; alsdann ist  $Hh = M_0 = x_0 \Sigma (P)$  und daraus

$$H = \frac{\Sigma (P) x_0}{h} \dots \dots \dots 317.$$

447.  
Reactionen.

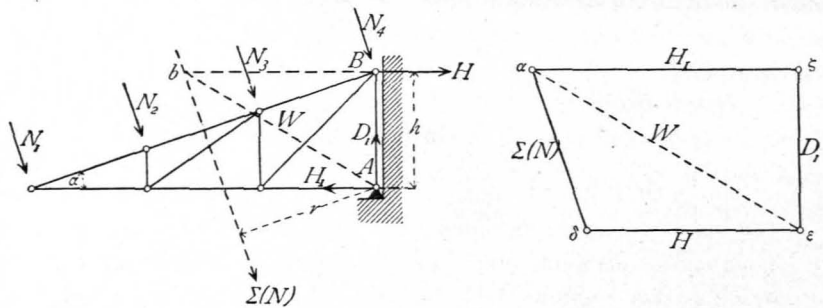
Fig. 307.



Ueber die Ermittlung von  $D_0$  auf graphischem Wege braucht nichts weiter gefagt zu werden. Um  $H$  zu construiren, suche man die Resultirende von  $P_1, P_2, P_3 \dots$  auf bekannte Weise; alsdann wirken auf das Dach 4 Kräfte:  $\Sigma(P), D_0, H$  im Punkte  $A$  und  $H$  im Punkte  $B$ . Fassen wir je zwei von diesen vier Kräften zu einer Mittelkraft zusammen, so geht die Mittelkraft von  $H$  und  $D_0$  durch  $A$ , diejenige von  $\Sigma(P)$  und der in  $B$  wirkenden Kraft  $H$  durch  $a$ ; beide halten das Dach im Gleichgewicht; ihre Richtungen fallen also in eine gerade Linie, in die Linie  $aA$ . Man trage sonach die Lasten  $1, 2, 3 \dots$  an einander zu  $\alpha\epsilon$ , ziehe durch  $\alpha$  eine Linie parallel zur Richtung von  $R$ , durch  $\epsilon$  eine Linie parallel zur Richtung von  $H$ ; alsdann ist  $\epsilon\zeta = H$  und  $\zeta\alpha = R$ . Um nun das Kraftpolygon der äußeren Kräfte zu vervollständigen, trage man an  $\zeta$  die Kraft  $D_0 = \zeta\eta = \alpha\epsilon$  und an  $\eta$  das in  $A$  angreifende  $H = \eta\alpha$ . Damit schließt sich das Kraftpolygon.

Bei der Belastung durch Winddruck (Fig. 308) entsteht im Punkte  $A$  eine schiefe Reaction, welche in eine verticale Componente  $D_1$  und eine horizontale

Fig. 308.



Componente  $H_1$  zerlegt werden kann. Außerdem muß von der Wand ein Moment geleistet werden, welches in Bezug auf  $A$  als Momentenpunkt demjenigen der Windlasten gleich, der Drehrichtung nach entgegengesetzt ist. Um dieses Moment zu erzeugen, bringen wir in  $B$  eine Kraft  $H$  an, welche sich aus der Bedingung bestimmt

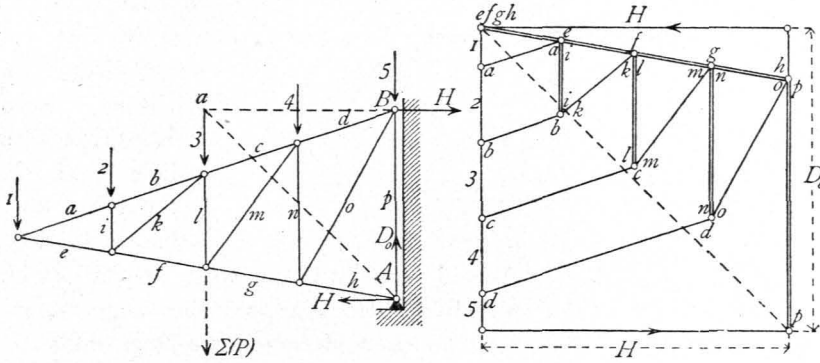
$$0 = Hh - \Sigma(N) r, \text{ woraus } H = \frac{r}{h} \Sigma(N).$$

Es wird ferner

$$D_1 = \Sigma(N) \cos \alpha \quad \text{und} \quad H_1 = H + \Sigma(N) \sin \alpha = \Sigma(N) \left( \frac{r}{h} + \sin \alpha \right) \quad \left. \vphantom{D_1} \right\} . \quad 318.$$

Die Construction der Kräfte  $H_1, D_1$  und  $H$  erfolgt in analoger Weise, wie bei verticaler Belastung. Man combinirt  $\Sigma(N)$  und die in  $B$  angreifende Kraft  $H$  zu einer Resultirenden, welche durch  $\delta$  geht, und

Fig. 309.



$H_1$  mit  $D_1$  zu einer zweiten Resultirenden, welche durch  $A$  geht. Beide Kräfte halten das Dach im Gleichgewicht, haben also die Richtung  $bA$ , bzw.  $Ab$ .

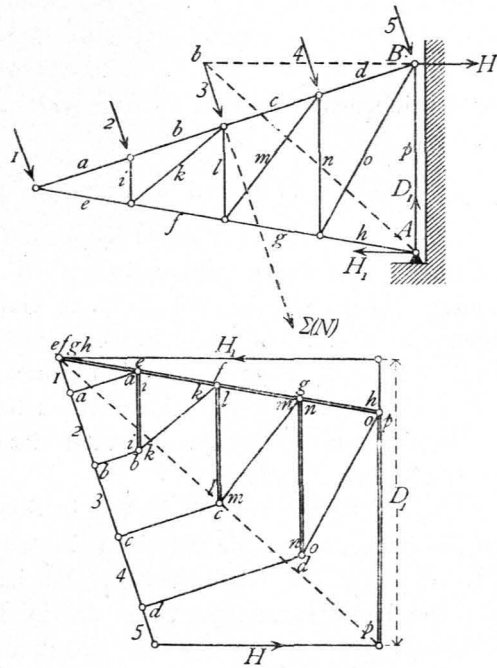
Ist  $a\delta = \Sigma(N)$ , so ziehe man durch  $\delta$  eine Parallele zur Richtung von  $H$ , durch  $a$  eine Parallele zur Richtung von  $W$ ; man erhält  $\varepsilon$ , und es ist  $\delta\varepsilon = H$ ,  $\varepsilon a = W$ . Nun zerlege man  $\varepsilon a$  in  $D_1$  und  $H_1$ , und es wird  $\varepsilon\zeta = D_1$ ,  $\zeta a = H_1$ .

2) Stabspannungen. Um die Stabspannungen zu ermitteln, sind hier nur Belastung durch das Eigengewicht, durch totale Schnee- und totale Windbelastung ins Auge zu fassen.

Die Berechnung für die verschiedenen möglichen Formen ist nach der Momentenmethode ohne Schwierigkeit durchzuführen, und zwar sowohl wenn die Lasten vertical, als wenn sie normal zur Dachfläche gerichtet sind; es braucht darauf hier nicht weiter eingegangen zu werden.

Das graphische Verfahren ist in den Fig. 309 und 310 für einen Console-Dachstuhl, und zwar für Belastung durch Eigengewicht und durch Winddruck durchgeführt. Zuerst sind die äußeren Kräfte, wie oben gezeigt, ermittelt, in cyclischer Reihenfolge an einander getragen und dann der Kräfteplan construiert, der ohne Weiteres verständlich ist.

Fig. 310.



448.  
Stabspannungen.

#### 4. Kapitel.

### Kuppel-, Zelt- und Thurmdächer.

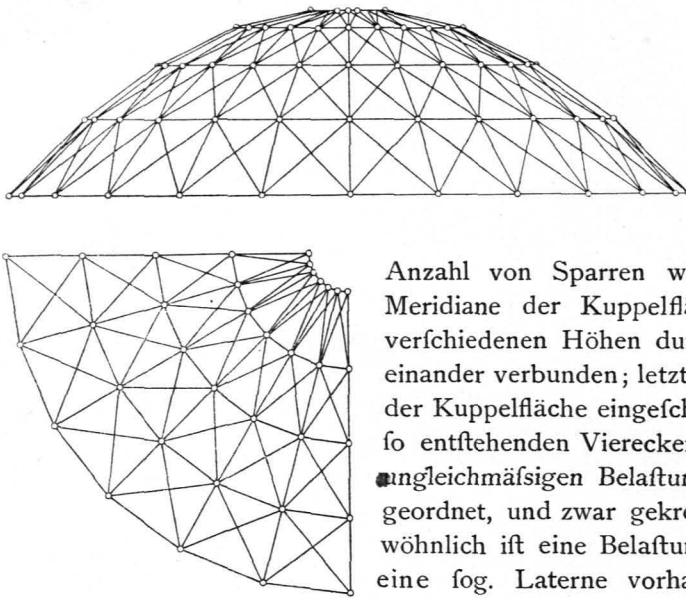
#### a) Kuppeldächer.

Die Kuppelfläche entsteht durch Rotation einer Curve um eine verticale Mittelaxe; sie ist also eine Rotationsfläche.

Während man früher die Kuppeldächer aus einer Anzahl radial gestellter

449.  
Allgemeines.

Fig. 311.



eingeschriebenes Polyeder; in Fig. 311 sind Ansicht und Grundrifs derselben dargestellt.

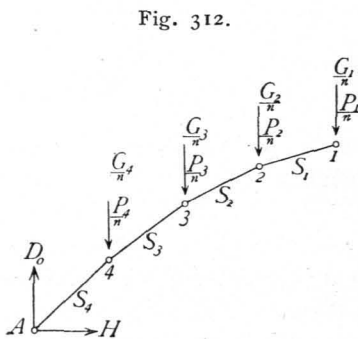
### 1) Belastungen und Auflager-Reactionen.

450.  
Belastungen.

Die hier zu betrachtenden Kuppeln sind meistens so flach, dass der Winddruck nur eine ganz untergeordnete Rolle spielt; wir werden denselben deshalb hier in allen Theilen der Kuppel constant einführen, wobei eine mittlere Dachneigung angenommen werden soll. Ferner genügt es, nur die verticale Componente  $v$  (vergl. Art. 412, S. 379) des Winddruckes zu berücksichtigen; die in die Dachfläche fallende Componente kann vernachlässigt werden. Endlich empfiehlt es sich, alle Belastungen auf das Quadratmeter der Grundfläche, also der Horizontalprojection des Daches zu beziehen.

Auch hier greifen die Lasten in den Knotenpunkten der Construction an; es sind demnach die auf die einzelnen Knotenpunkte entfallenden Flächen zu berechnen und mit diesen die Belastungen pro Flächeneinheit der Grundfläche zu multipliciren.

451.  
Auflager-  
Reactionen.



Die Horizontalcomponenten der in den untersten Sparrenstangen vorhandenen Spannungen werden durch einen Ring, gegen welchen sich sämtliche Sparrenfüsse setzen, den sog. Mauerring, aufgehoben; in Folge davon wirken als Reactionen nur Verticalkräfte. Wir brauchen dieselben nur für gleichmäßige und solche Belastung zu bestimmen, bei welcher, wenn auch nur einzelne, so doch stets ganze Ringzonen belastet sind. Sind  $n$  Sparren vorhanden und ist der Grundrifs der Kuppel ein reguläres  $n$ -Eck, so können wir annehmen, dass bei den erwähnten Belastungen alle Sparren gleiche Lasten tragen. Die

Binder construirte, sind bei den neueren, von *Schwedler* erfundenen und vielfach mit bestem Erfolg ausgeführten Kuppeldächern sämtliche Constructions-theile in die Kuppelfläche verlegt. Eine

Anzahl von Sparren wird in der Richtung der Meridiane der Kuppelfläche angeordnet und in verschiedenen Höhen durch horizontale Ringe mit einander verbunden; letztere sind den Parallelkreisen der Kuppelfläche eingeschriebene Polygone. In den so entstehenden Vierecken sind alsdann, wegen der ungleichmäßigen Belastung, noch Diagonalen angeordnet, und zwar gekreuzte Zugdiagonalen. Gewöhnlich ist eine Belastung der Kuppelmitte durch eine sog. Laterne vorhanden. Die ganze Construction bildet demnach ein der Kuppelfläche

Kuppel trage eine Laterne, deren Gewicht im Eigengewicht der ersten Ringzone mit enthalten sei. Die Eigengewichte der ganzen Ringzonen seien bezw. (Fig. 312)  $G_1, G_2, G_3, G_4 \dots$ , die mobilen Lasten der ganzen Ringzonen  $P_1, P_2, P_3, P_4 \dots$ ; alsdann ist, wenn die Auflager-Reaction auf jeden Sparren  $D_0$  beträgt, für totale Belaftung der ganzen Dachfläche

$$n D_0 = G_1 + G_2 + G_3 + G_4 + \dots + P_1 + P_2 + P_3 + P_4 + \dots = \Sigma (G) + \Sigma (P).$$

Wenn etwa nur die drei obersten Zonen mobil belaftet sind, so wird

$$n D_0 = G_1 + G_2 + G_3 + G_4 + \dots + P_1 + P_2 + P_3.$$

fein. Auf diese Art sind die Reactionen leicht zu ermitteln.

2) Stabspannungen.

a) Ungünstigste Beanspruchung der einzelnen Stäbe. Die genaue Untersuchung der für jeden Stab ungünstigsten Belaftungsweise und die Berechnung der dabei entstehenden Beanspruchungen ist sehr complicirt, da die elastischen Verschiebungen der einzelnen Punkte in Frage kommen.

452.  
Berechnung  
der Stab-  
spannungen.

Wir machen deshalb, nach Schwedler, für die Grenzen der Spannungen die folgenden vereinfachenden Annahmen:

a) die Sparren erhalten den Maximaldruck, wenn die ganze Kuppel mobil belaftet ist;

b) ein Ring erhält seinen Maximalzug, wenn der innerhalb desselben befindliche Kuppeltheil *in maximo* belaftet, der Ring selbst mit seiner Zone aber unbelaftet ist; bei der entgegengesetzten Belaftungsart treten die entgegengesetzten Grenzen ein;

c) die Diagonalen zwischen zwei Sparren sind im Maximum des Zuges, wenn die halbe Kuppel auf einer Seite des durch die Mitte der Diagonalen gehenden Durchmessers *in maximo* belaftet, die andere leer ist.

β) Spannungen in den Sparren. Wir betrachten nur zwei Belaftungsarten, nämlich die Belaftung der ganzen Kuppel durch mobile Last und die Belaftung der Kuppel durch Eigengewicht. Die zweite Belaftungsart ergibt die Minimalspannungen. Die Maximalspannungen der Sparren sind gleich den Summen der bei den beiden angeführten Belaftungsarten sich ergebenden Spannungen. Die Formeln für beide Belaftungsarten unterscheiden sich nur durch die Größe der Lasten.

Fig. 313.

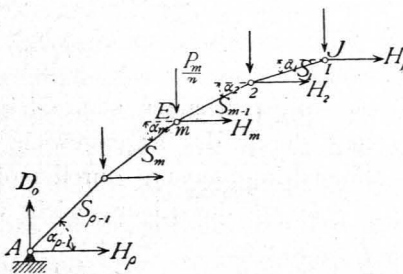
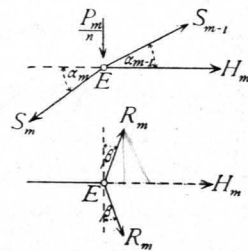


Fig. 314.



Was zunächst die mobile Belaftung betrifft, so sind im  $m$ -ten Knotenpunkte (vom Laternenringe an gerechnet) in  $E$  (Fig. 313 und 314) folgende Kräfte im Gleichwichte: die Spannungen der Sparren  $S_{m-1}$  und  $S_m$ , die Last  $\frac{1}{n} P_m$ , endlich die beiden Ringspannungen  $R_m$ . Letztere sind einander, der Symmetrie wegen, gleich und haben in der Horizontalebene des  $m$ -ten Ringes die Mittelkraft  $H_m$ . Die algebraische Summe der Verticalkräfte für den Punkt  $E$  ist gleich Null; mithin

$$0 = \frac{1}{n} P_m + S_m \sin \alpha_m - S_{m-1} \sin \alpha_{m-1},$$

woraus

$$S_m = \frac{S_{m-1} \sin \alpha_{m-1}}{\sin \alpha_m} - \frac{1}{n} \frac{P_m}{\sin \alpha_m}.$$

Für den ersten Knotenpunkt, den Knotenpunkt am Laternenringe, für  $\mathcal{F}$  ist  $S_{m-1} = 0$ ; mithin folgt der Reihe nach für  $m = 1, 2, 3 \dots$

$$S_1 = -\frac{1}{n} \frac{P_1}{\sin \alpha_1}; \quad S_2 = -\frac{1}{n} \frac{P_1 \sin \alpha_1}{\sin \alpha_1 \sin \alpha_2} - \frac{1}{n} \frac{P_2}{\sin \alpha_2} = -\frac{P_1 + P_2}{n \sin \alpha_2};$$

$$S_3 = -\frac{P_1 + P_2}{n \sin \alpha_2} \frac{\sin \alpha_2}{\sin \alpha_3} - \frac{1}{n} \frac{P_3}{\sin \alpha_3} = -\frac{P_1 + P_2 + P_3}{n \sin \alpha_3},$$

oder allgemein

$$S_m = -\frac{1}{n \sin \alpha_m} \sum_1^m (P) \dots \dots \dots 319.$$

Eben so ergibt sich die Spannung in den Sparren für eine Belaftung durch das Eigengewicht zu

$$S_1' = -\frac{G_1}{n \sin \alpha_1}; \quad S_2' = -\frac{(G_1 + G_2)}{n \sin \alpha_2}; \quad \dots \quad S_m' = -\frac{\sum_1^m (G)}{n \sin \alpha_m} \dots \dots \dots 320.$$

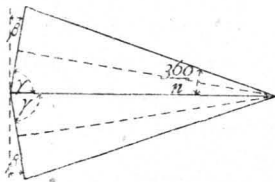
$\gamma$ ) Spannungen in den Ringen. Die Gleichgewichtsbedingung, nach welcher die algebraische Summe der Horizontalkräfte im Punkte  $E$  gleich Null ist, lautet (Fig. 314):

$$0 = H_m + S_{m-1} \cos \alpha_{m-1} - S_m \cos \alpha_m, \text{ woraus } H_m = S_m \cos \alpha_m - S_{m-1} \cos \alpha_{m-1}.$$

Da  $H_m$  die Resultirende der beiden Ringspannungen  $R_m$  ist, so ergibt sich  $H_m = 2 R_m \sin \beta$ , woraus  $R_m = \frac{H_m}{2 \sin \beta}$ . Nun ist (Fig. 315)  $\beta = \frac{360}{2n} = \frac{\pi}{n}$ ,

sonach  $R_m = \frac{H_m}{2 \sin \frac{\pi}{n}}$ . Wird in diese Gleichung der für  $H_m$  gefundene Werth

Fig. 315.



eingesetzt, so folgt

$$R_m = \frac{S_m \cos \alpha_m - S_{m-1} \cos \alpha_{m-1}}{2 \sin \frac{\pi}{n}} \dots \dots \dots 321.$$

Wir bestimmen nach Gleichung 321. die Ringspannung durch das Eigengewicht und die Maximal- und Minimalringspannung durch mobile Belaftung.

Durch das Eigengewicht wird

$$R_m^g = \frac{-\frac{\sum_1^m (G) \cos \alpha_m}{n \sin \alpha_m} + \frac{\sum_1^{m-1} (G) \cos \alpha_{m-1}}{n \sin \alpha_{m-1}}}{2 \sin \frac{\pi}{n}},$$

$$R_m^g = -\frac{\sum_1^m (G) \cotg \alpha_m - \sum_1^{m-1} (G) \cotg \alpha_{m-1}}{2 n \sin \frac{\pi}{n}} \dots \dots \dots 322.$$

Man erhält

$$\left. \begin{aligned} \text{für den Laternenring, d. h. für } m=1: R_1^g &= - \frac{G_1 \cotg \alpha_1}{2 n \sin \frac{\pi}{n}} \\ \text{für den Ring 2, d. h. für } m=2: R_2^g &= - \frac{(G_1 + G_2) \cotg \alpha_2 - G_1 \cotg \alpha_1}{2 n \sin \frac{\pi}{n}} \\ \text{für den Ring 3, d. h. für } m=3: R_3^g &= - \frac{(G_1 + G_2 + G_3) \cotg \alpha_3 - (G_1 + G_2) \cotg \alpha_2}{2 n \sin \frac{\pi}{n}} \\ &\text{etc.} \end{aligned} \right\} 323.$$

Für den Mauerring ist  $S_m$ , also auch das erste Glied im Zähler gleich Null; mithin

$$R_p^g = \frac{\sum_1^{p-1} (G) \cotg \alpha_{p-1}}{2 n \sin \frac{\pi}{n}} = \frac{(G_1 + G_2 + \dots + G_{p-1}) \cotg \alpha_{p-1}}{2 n \sin \frac{\pi}{n}} \quad 324.$$

Um die durch mobile Belastung erzeugten Ringspannungen zu ermitteln, setzen wir in die Gleichung 321. die Werthe für  $S_m$  und  $S_{m-1}$  ein. Wir erhalten, wenn wir die zwischen den Knotenpunkten 1 und  $m$  befindlichen mobilen Lasten mit  $\mathfrak{S}_1^m(P)$  bezeichnen, wobei nur ein Theil der Knotenpunkte belastet zu sein braucht, während  $\sum_1^m(P)$  die Belastung sämmtlicher Knotenpunkte von 1 bis  $m$  bedeutet,

$$R_m = - \frac{\mathfrak{S}_1^m(P) \cotg \alpha_m - \mathfrak{S}_1^{m-1}(P) \cotg \alpha_{m-1}}{2 n \sin \frac{\pi}{n}} \quad 325.$$

Druckmaximum findet statt, wenn im Zähler der Minuendus möglichst groß, der Subtrahendus möglichst klein ist, d. h. wenn (totale Belastung der Zonen vorausgesetzt) die Knotenpunkte von 1 bis  $m-1$ , d. h. die innerhalb des betrachteten Ringes liegenden Knotenpunkte unbelastet sind, die zu dem Ringe gehörigen Knotenpunkte dagegen belastet sind, wofür wir auch sagen können, wenn die ganze äußere Kuppel, incl. der zum Ringe gehörigen Zone, belastet ist, da die Belastung der außerhalb des Ringes liegenden Zonen auf die Ringspannung ohne Einfluss ist. Ein Wachsen des Minuendus  $\mathfrak{S}_1^m(P) \cotg \alpha_m$  durch Belastung der inneren Knotenpunkte hat ein Wachsen auch des Subtrahendus  $\mathfrak{S}_1^{m-1}(P) \cotg \alpha_{m-1}$  zur Folge, und da  $\cotg \alpha_{m-1}$  stets größer ist, als  $\cotg \alpha_m$ , so wächst dadurch der Subtrahendus mehr als der Minuendus; der Druck wird demnach dadurch verringert, daß innerhalb des Ringes Lasten angenommen werden. Die angegebene Belastungsart erzeugt also in der That Druckmaximum. Eben so ergibt sich Zugmaximum, wenn  $\mathfrak{S}_1^{m-1}(P)$  möglichst groß,  $\mathfrak{S}_1^m(P)$  möglichst klein wird. Jede Last zwischen Knotenpunkt 1 und  $m-1$  vergrößert den Subtrahendus in Gleichung 325. mehr als den Minuendus, weil  $\cotg \alpha_{m-1}$  größer ist, als  $\cotg \alpha_m$ , vergrößert also den Zug. Für  $\mathfrak{S}_1^m(P)$  und  $\mathfrak{S}_1^{m-1}(P)$  ist also unter diesen Umständen der gleiche Werth  $\sum_1^{m-1}(P)$  als ungünstigster Zugwerth einzuführen. Zugmaximum findet demnach statt, wenn nur der innere Kuppeltheil, excl. der Zone, zu welcher der Ring gehört,



belastet ist. Die hier gefundenen Resultate stimmen demnach mit den auf S. 419 gemachten Annahmen über die Maximalbelastung überein. Man erhält

$$R_m^{\rho \min} = -\frac{P_m \cotg \alpha_m}{2n \sin \frac{\pi}{n}} \quad \text{und} \quad R_m^{\rho \max} = \frac{\sum_1^{m-1} (P) (\cotg \alpha_{m-1} - \cotg \alpha_m)}{2n \sin \frac{\pi}{n}} \quad 327.$$

Es ergibt sich

$$\left. \begin{aligned} \text{für den Laternenring } (m=1): \quad R_1^{\rho \min} &= -\frac{P_1 \cotg \alpha_1}{2n \sin \frac{\pi}{n}} \quad \text{und} \quad R_1^{\rho \max} = 0 \\ \text{für } m=2: \quad R_2^{\rho \min} &= -\frac{P_2 \cotg \alpha_2}{2n \sin \frac{\pi}{n}} \quad \text{und} \quad R_2^{\rho \max} = \frac{P_1 (\cotg \alpha_1 - \cotg \alpha_2)}{2n \sin \frac{\pi}{n}} \\ \text{für } m=3: \quad R_3^{\rho \min} &= -\frac{P_3 \cotg \alpha_3}{2n \sin \frac{\pi}{n}} \quad \text{und} \quad R_3^{\rho \max} = \frac{(P_1 + P_2) (\cotg \alpha_2 - \cotg \alpha_3)}{2n \sin \frac{\pi}{n}} \end{aligned} \right\} 328.$$

etc.

$$\text{für den Mauerring: } R_\rho^{\rho \min} = 0 \quad \text{und} \quad R_\rho^{\rho \max} = \frac{(P_1 + P_2 + \dots + P_{\rho-1}) \cotg \alpha_{\rho-1}}{2n \sin \frac{\pi}{n}} \quad 329.$$

d) Spannungen in den Diagonalen. Neben dem Durchmesser, welcher für die ungünstigste Diagonalenbelastung die belastete und unbelastete Kuppelhälfte trennt, liegt ein belasteter und ein unbelasteter Sparren. Nehmen wir nun an, daß die Spannung im ersteren so groß ist, als wenn die ganze Kuppel permanent und mobil belastet wäre, im zweiten so groß, als wenn die ganze Kuppel nur permanent belastet wäre, und machen wir die im Knotenpunkte anschließende Diagonale stark genug, um die ganze Spannungsdifferenz zu übertragen, so wird dieselbe jedenfalls zu stark, ist also als ausreichend zu betrachten.

Im obersten Sparrenstück sind die größten und kleinsten Druckspannungen bezw.

$$S_{1 \max} = -\frac{P_1 + G_1}{n \sin \alpha_1} \quad \text{und} \quad S_{1 \min} = -\frac{G_1}{n \sin \alpha_1}.$$

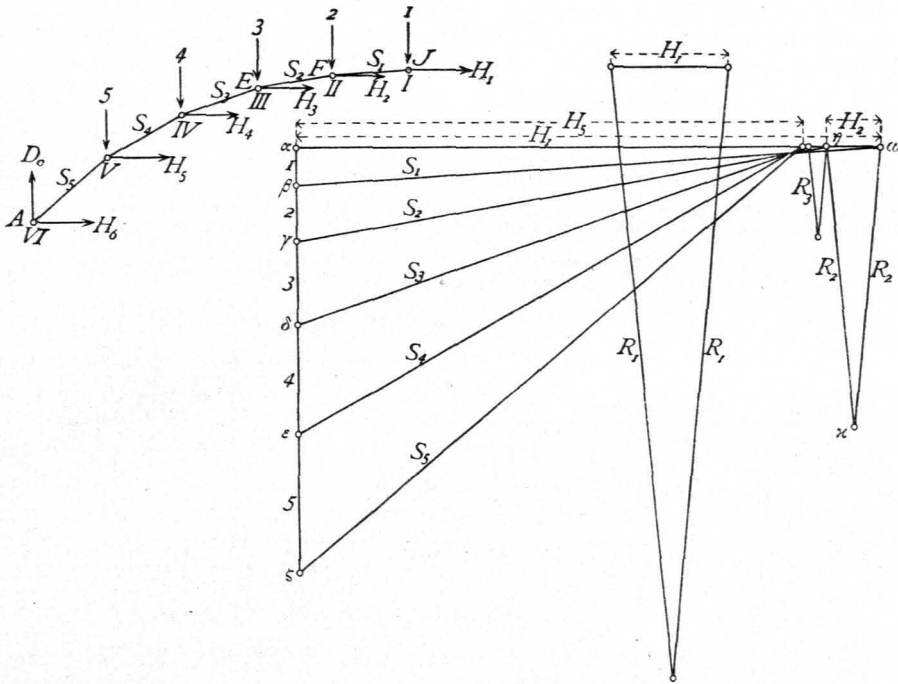
Die Differenz beider Spannungen ist  $\Delta_1 = -\frac{P_1}{n \sin \alpha_1}$ . Dieselbe soll durch die Diagonale übertragen werden; es ist also nahezu, wenn der Winkel zwischen Diagonale und belastetem Sparren  $\gamma_1$  genannt wird,  $Y_1 \cos \gamma_1 = -\Delta$ , daher

$$\left. \begin{aligned} Y_1 &= \frac{P_1}{n \sin \alpha_1 \cos \gamma_1}, \quad Y_2 = +\frac{P_1 + P_2}{n \sin \alpha_2 \cos \gamma_2} \\ Y_3 &= \frac{P_1 + P_2 + P_3}{n \sin \alpha_3 \cos \gamma_3}, \quad Y_4 = \frac{P_1 + P_2 + P_3 + P_4}{2n \sin \alpha_4 \cos \gamma_4} \end{aligned} \right\} \dots \dots 330.$$

Auf graphischem Wege lassen sich die Spannungen in den einzelnen Stäben einer Kuppel in folgender Weise ermitteln.

a) Sparrenspannungen durch das Eigengewicht. Die Lasten in den einzelnen Knotenpunkten seien 1, 2, 3, 4, 5 (Fig. 316); man trage dieselben zu einem Kraftpolygon  $\alpha \beta \gamma \delta \epsilon \zeta$  an einander. Im Knotenpunkte  $\mathcal{F}$  wirkt 1, die Sparrenspannung  $S_1$  und die resultierende  $H_1$  der Ringspannungen  $R_1$ . Die Zerlegung der Kraft 1 nach den beiden Richtungen von  $S_1$  und  $H_1$  ergibt  $\beta \omega = S_1$ ,  $\omega \alpha = H_1$ . Am Knotenpunkt  $F$  wirken nun 2,  $S_1$ ,  $S_2$  und  $H_2$ ; bekannt sind 2 und  $S_1$ ; man erhält  $\gamma \eta = S_2$ ,  $\eta \omega = H_2$ . Eben so ergeben sich die übrigen Sparrenspannungen.

Fig. 316.



β) Spannungen in den Sparren durch mobile Belastung. Die Construction ist in gleicher Weise, wie sub α vorzunehmen, nachdem die in den einzelnen Knotenpunkten wirkenden mobilen Lasten genau wie oben aufgetragen und behandelt sind.

γ) Ringspannungen durch das Eigengewicht. Die Zerlegung der für diese Belastung gefundenen Werthe von  $H$  ergibt ohne Schwierigkeit die Werthe für  $R_1^g, R_2^g \dots$ , wie in Fig. 316 gezeichnet. Die Construction empfiehlt sich für die vorliegende Ermittlung nicht sehr, weil sie der spitzen Schnittwinkel wegen nur ungenaue Resultate giebt, die Schnittpunkte vielfach nicht mehr auf die Zeichenebene fallen. So ist  $H_1$  in Fig. 316 im fünffach verkleinerten Maßstabe aufgetragen, um  $R_1$  zu construiren.

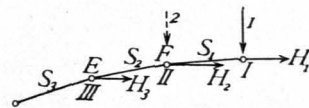
δ) Ringspannungen durch mobile Belastung. Maximalspannung im Ringe II findet statt, wenn nur die Ringzone I mobil belastet ist. Es sei (Fig. 318 a)  $ab = \frac{P_1}{n}$ ; alsdann wird  $bf = S_1$ ,  $fa = H_1$ .

Im Knotenpunkt F (Fig. 317) sind  $S_1, S_2$  und  $H_2$  im Gleichgewicht, d. h. das Kräfte-dreieck für Punkt F wird  $bgf$ . Darin ist  $H_2 = gf$  und  $gi = if = R_2^{max}$ .

Im Ringe III ist Maximalspannung, wenn die Zonen zu den Ringen I und II mobil belastet sind; alsdann wirken in F die Kräfte  $S_1 = fb$ ,  $a = bc = \frac{P_2}{n}$ ,  $S_2'$  und  $H_2'$ . Man erhält leicht  $H_2' = hf$ ,  $S_2' = ch$ . In E sind dann  $S_2', S_3$  und  $H_3$  im Gleichgewicht und  $H_3 = kh$ , woraus  $R_3^{max} = kl = lh$ . Eben so wird  $R_4^{max} = on = mo$  etc.

Minimalspannung im Ringe I findet bei totaler Kuppelbelastung statt; alsdann wirkt in F die Kraft  $i = \frac{P_1}{n}$ , und es wird, wenn (Fig. 318 b)  $ab = i$  ist,  $ia = H_1$ . Die Zerlegung in die beiden Ringspannungen ist dann in gleicher Weise wie oben vorzunehmen. Für Ring II findet Minimalspannung bei einer Belastung der Zonen II, III, IV statt; I ist unbelastet;

Fig. 317.



mithin ist  $S_1$  alsdann gleich Null (siehe Gleichung 319). Ist  $bc = \frac{P_2}{n} = 2$ , so wird  $hb = H_2$ . So wird weiter für die Minimalbelastungen der einzelnen Ringe  $H_3 = kc$ ,  $H_4 = md$ ,  $H_5 = ne$ .

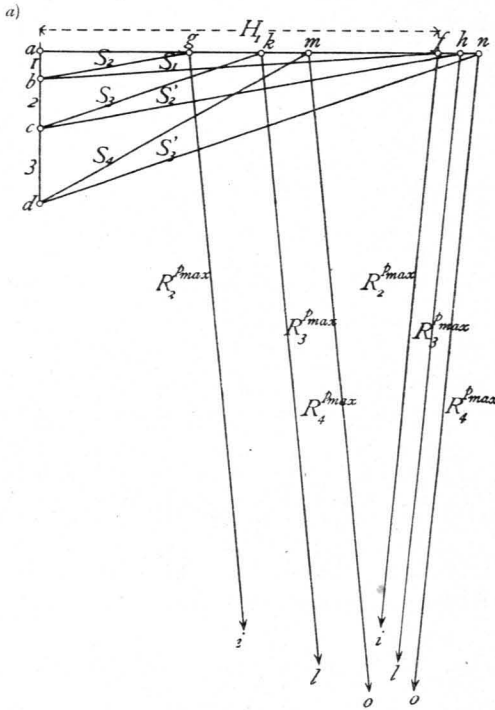
ε) Die Construction der Spannungen in den Diagonalen ist so einfach, daß dieselbe nicht weiter gezeigt zu werden braucht.

### 3) Erzeugende Kuppelcurve.

454.  
Parabel-  
Kuppel.

Die erzeugende Curve ist in den meisten Fällen eine Parabel der Gleichung (Fig. 319)  $y = \frac{h x^2}{r^2}$ , bei welcher der Anfangspunkt der Coordinaten im Scheitel  $C$  liegt, die halbe Spannweite gleich  $r$ , die Pfeilhöhe gleich  $h$  gesetzt ist, oder eine

Fig. 318.



cubische Parabel der Gleichung  $y = \frac{h x^3}{r^3}$ .

Letztere Curvenform hat den Vortheil, daß in den Zwischenringen bei gleichmäßig vertheilter totaler Belastung die Spannung Null herrscht und daß die Spannungen in den Sparren nahezu constant find, was sich folgender Mafsen ergibt.

Die Spannung im Sparrentheil  $EF$  (Fig. 320) ist durch Betrachtung des Fragmentes zwischen dem Scheitel  $C$  und dem durch die Sparrenmitte gelegten Schnitt  $II$  zu ermitteln. Die algebraische Summe der auf das Fragment wirkenden Verticalkräfte ist gleich Null, daher, wenn wir die belastende Grundfläche mit  $F_1$ , die Belastung pro  $1\text{qm}$  der Grundfläche mit  $g$  bezeichnen,  $S \sin \alpha = g F_1$ . Nun ist  $F_1 = \frac{x^2 \pi}{n}$ , mithin  $S \sin \alpha = \frac{g x^2 \pi}{n} = S \cos \alpha \operatorname{tg} \alpha$ .

Fig. 319.

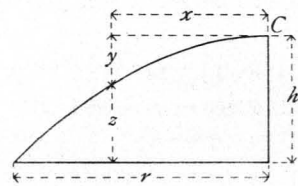
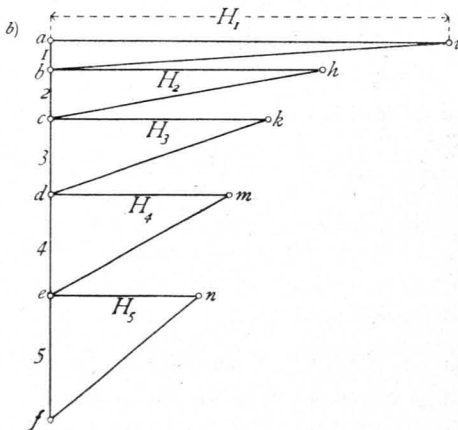
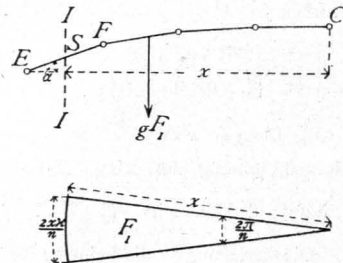


Fig. 320.



Wird statt des Polygons die stetig gekrümmte Curve der Berechnung zu Grunde gelegt, so ist  $y = \frac{h x^3}{r^3}$  und  $\operatorname{tg} \alpha = \frac{dy}{dx} = \frac{3 h x^2}{r^3}$ ; mithin

$$S \cos \alpha \frac{3 h x^2}{r^3} = \frac{g x^2 \pi}{n}, \text{ woraus } S \cos \alpha = \frac{g \pi r^3}{3 n h}, \dots \dots \dots 331.$$

d. h.  $S \cos \alpha$  ist constant. Da aber wegen der flachen Neigung der Kuppel der Winkel  $\alpha$  sehr klein ist, so variirt auch  $\cos \alpha$  sehr wenig; die Spannung ist daher im ganzen Sparren nahezu constant.

Betrachten wir nun einen Knotenpunkt  $E$  (Fig. 314) und setzen die algebraische Summe der in ihm wirkenden Horizontalkräfte gleich Null, so wird

$$0 = S_m \cos \alpha_m - S_{m-1} \cos \alpha_{m-1} - H_m, \text{ woraus } H_m = S_m \cos \alpha_m - S_{m-1} \cos \alpha_{m-1} = 0, \text{ da nach Gleichung 331. } S \cos \alpha \text{ constant ist. Die Ringspannung ist dann}$$

$$R = \frac{H}{2 \sin \frac{\pi}{n}} = 0 \dots \dots \dots 332.$$

Die obigen Angaben sind damit bewiesen.

Es möge noch bemerkt werden, daß der theoretische Materialaufwand bei einer nach der cubischen Parabel gekrümmten Kuppel nur  $\frac{2}{3}$  desjenigen Materialaufwandes beträgt, der sich bei einer nach der gemeinen Parabel gekrümmten Kuppel ergibt.

Beispiel. Es ist ein Kuppeldach von nachfolgenden Hauptdimensionen und Belastungen zu construiren: Durchmesser des zu überdachenden kreisförmigen Raumes gleich 47 m, demnach der Durchmesser des dem Mauerring umschriebenen Parallelkreises  $2L = 48$  m; Scheitelhöhe der Kuppel  $h = 8$  m; es sind 6 Ringe mit den Radien 4, 8, 12, 16, 20 und 24 m und  $n = 32$  Sparren anzuordnen; das Eigengewicht ist zu 70 kg pro 1 qm Grundfläche anzunehmen; als mittlere Dachneigung ist  $\frac{h}{2L} = \frac{8}{48} = \frac{1}{6}$  einzuführen, und es ergibt sich hieraus nach Art. 411, S. 377 ff. als Belastung durch Schnee

455.  
Beispiel.

pro 1 qm Grundfläche 75 kg, als Belastung durch Winddruck pro 1 qm Grundfläche  $w = 30$  kg, so daß die gesammte mobile Belastung pro 1 qm Grundfläche 105 kg beträgt; die Laterne wiegt 2000 kg.

Die Kuppelfläche sei durch Rotation einer cubischen Parabel der Gleichung

$$y = \frac{h x^3}{r^3} = \frac{8}{24^3} x^3 = 0,00058 x^3$$

entstanden; man erhält für die verschiedenen, durch die Ringe vorgeschriebenen Eckpunkte des Polygons (Fig. 321):

$x =$	4	8	12	16	20	24 m
$y =$	0,04	0,30	1,00	2,38	4,64	8,0 "
$h - y = z =$	7,96	7,70	7,00	5,62	3,36	0 "

Ferner ist:

$$\Delta_1 = y_2 - y_1 = 0,26 \text{ m}; \Delta_2 = y_3 - y_2 = 0,7 \text{ m}; \Delta_3 = y_4 - y_3 = 1,38 \text{ m}; \Delta_4 = y_5 - y_4 = 2,26 \text{ m}; \Delta_5 = y_6 - y_5 = 3,36 \text{ m}.$$

$$\lambda_1 = \sqrt{4^2 + \Delta_1^2} = 4,01 \text{ m}; \lambda_2 = 4,06 \text{ m}; \lambda_3 = 4,23 \text{ m}; \lambda_4 = 4,59 \text{ m}; \lambda_5 = 5,22 \text{ m}.$$

$$\sin \alpha_1 = \frac{\Delta_1}{\lambda_1} = 0,0648; \sin \alpha_2 = 0,1724; \sin \alpha_3 = 0,32; \sin \alpha_4 = 0,192; \sin \alpha_5 = 0,644.$$

$$\operatorname{cotg} \alpha_1 = \frac{4}{\Delta_1} = 15,38; \operatorname{cotg} \alpha_2 = 5,7; \operatorname{cotg} \alpha_3 = 2,9; \operatorname{cotg} \alpha_4 = 1,77; \operatorname{cotg} \alpha_5 = 1,19.$$

$$\frac{\pi}{n} = \frac{180}{32} = 5^\circ 37,5'; \sin \frac{\pi}{n} = \sin 5^\circ 37,5' = 0,098; \frac{1}{2 n \sin \frac{\pi}{n}} = \frac{1}{64 \cdot 0,098} = 0,16.$$

Die Eigengewichte, bezw. mobilen Belastungen der einzelnen Ringe sind:

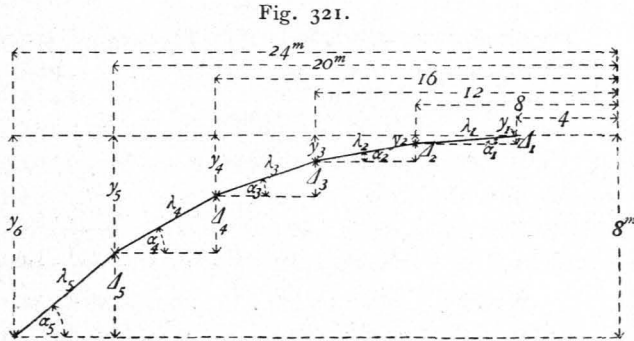


Fig. 321.

- Laternenring:  $G_1 = 2000 + 6^2 \pi \cdot 70 = 9913 \text{ kg}$ ,  $P_1 = 6^2 \pi \cdot 105 = 11869 \text{ kg}$ ;  
 2. Ring:  $G_2 = (10^2 - 6^2) \pi \cdot 70 = 14067 \text{ kg}$ ,  $P_2 = (10^2 - 6^2) \pi \cdot 105 = 21105 \text{ kg}$ ;  
 3. Ring:  $G_3 = (14^2 - 10^2) \pi \cdot 70 = 21100 \text{ kg}$ ,  $P_3 = (14^2 - 10^2) \pi \cdot 105 = 31647 \text{ kg}$ ;  
 4. Ring:  $G_4 = (18^2 - 14^2) \pi \cdot 70 = 28133 \text{ kg}$ ,  $P_4 = (18^2 - 14^2) \pi \cdot 105 = 42200 \text{ kg}$ ;  
 5. Ring:  $G_5 = (22^2 - 18^2) \pi \cdot 70 = 35168 \text{ kg}$ ,  $P_5 = (22^2 - 18^2) \pi \cdot 105 = 52752 \text{ kg}$ .

Die Spannungen in den Sparren, welche durch das Eigengewicht hervorgebracht werden, sind nach Gleichung 320.:

$$\begin{aligned} S_1^g &= - \frac{G_1}{n \sin \alpha_1} = - \frac{9913}{32 \cdot 0,065} = - 4766 \text{ kg}; \\ S_2^g &= - \frac{G_1 + G_2}{n \sin \alpha_2} = - \frac{23980}{32 \cdot 0,1724} = - 4346 \text{ kg}; \\ S_3^g &= - \frac{G_1 + G_2 + G_3}{n \sin \alpha_3} = - \frac{45080}{32 \cdot 0,32} = - 4402 \text{ kg}; \\ S_4^g &= - \frac{G_1 + G_2 + G_3 + G_4}{n \sin \alpha_4} = - \frac{73213}{32 \cdot 0,492} = - 4651 \text{ kg}; \\ S_5^g &= - \frac{G_1 + G_2 + G_3 + G_4 + G_5}{n \sin \alpha_5} = - \frac{108381}{32 \cdot 0,644} = - 5258 \text{ kg}. \end{aligned}$$

Die durch mobile Belastung erzeugten Sparrenspannungen betragen:

$$\begin{aligned} S_1^p &= - \frac{P_1}{n \sin \alpha_1} = - \frac{11869}{2,08} = - 5706 \text{ kg}; \\ S_2^p &= - \frac{P_1 + P_2}{n \sin \alpha_2} = - \frac{32974}{5,517} = - 5977 \text{ kg}; \\ S_3^p &= - \frac{P_1 + P_2 + P_3}{n \sin \alpha_3} = - \frac{64621}{10,24} = - 6310 \text{ kg}; \\ S_4^p &= - \frac{P_1 + P_2 + P_3 + P_4}{n \sin \alpha_4} = - \frac{106821}{15,74} = - 6786 \text{ kg}; \\ S_5^p &= - \frac{P_1 + P_2 + P_3 + P_4 + P_5}{n \sin \alpha_5} = - \frac{159573}{20,61} = - 7742 \text{ kg}. \end{aligned}$$

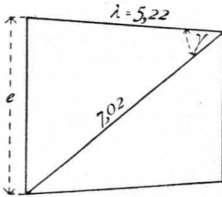
Die Ringspannungen, welche durch das Eigengewicht hervorgerufen werden, sind nach Gleichung 323.

Laternenring:  $R_1^g = - 9913 \cdot 15,38 \cdot 0,16 = - 24396 \text{ kg}$ ;  
 $R_2^g = - (23980 \cdot 5,7 - 9913 \cdot 15,38) \cdot 0,16 = + 2524 \text{ kg}$ ;  
 $R_3^g = - (45080 \cdot 2,9 - 23980 \cdot 5,7) \cdot 0,16 = + 953 \text{ kg}$ ;  
 $R_4^g = - (73213 \cdot 1,77 - 45080 \cdot 2,9) \cdot 0,16 = + 183 \text{ kg}$ ;  
 $R_5^g = - (108381 \cdot 1,19 - 73213 \cdot 1,77) \cdot 0,16 = + 98 \text{ kg}$ ;  
 Mauerring:  $R_6^g = 108381 \cdot 1,19 \cdot 0,16 = 20636 \text{ kg}$ .

Die Maximal- und Minimalspannungen in den Ringen, durch mobile Belastung erzeugt, betragen nach Gleichung 328.:

Laternenring:  $R_1^{p \min} = - 11869 \cdot 15,38 \cdot 0,16 = - 29159 \text{ kg}$  u.  $R_1^{p \max} = 0$ ;  
 2. Ring:  $R_2^{p \min} = - 21105 \cdot 5,7 \cdot 0,16 = - 19248 \text{ kg}$ ,  
 $R_2^{p \max} = 11869 (15,38 - 5,7) \cdot 0,16 = + 18387 \text{ kg}$ ;  
 3. Ring:  $R_3^{p \min} = - 31647 \cdot 2,9 \cdot 0,16 = - 14684 \text{ kg}$ ,  
 $R_3^{p \max} = 32974 \cdot 2,8 \cdot 0,16 = + 14472 \text{ kg}$ ;  
 4. Ring:  $R_4^{p \min} = - 42200 \cdot 1,77 \cdot 0,16 = - 11951 \text{ kg}$ ,  
 $R_4^{p \max} = 64621 \cdot 1,13 \cdot 0,16 = + 11696 \text{ kg}$ ;  
 5. Ring:  $R_5^{p \min} = - 52752 \cdot 1,19 \cdot 0,16 = - 10023 \text{ kg}$ ,  
 $R_5^{p \max} = 106821 \cdot 0,58 \cdot 0,16 = + 9913 \text{ kg}$ ;  
 Mauerring:  $R_6^{p \min} = 0$  und  $R_6^{p \max} = 159573 \cdot 1,19 \cdot 0,16 = + 30319 \text{ kg}$ .

Fig. 322.



Was schliesslich die Spannungen in den Diagonalen betrifft, so brauchen wir nur die am stärksten beanspruchte Diagonale zu berechnen, weil selbst diese noch sehr schwach wird. Gewöhnlich macht man dann alle Diagonalen gleich stark.

Die größte durch mobile Belastung erzeugte Sparrenspannung ist durch die Diagonale zu übertragen (siehe Art. 452, S. 422); dieselbe ist  $S_5^p = -7742 \text{ kg}$ , und es hat demnach eine Diagonale höchstens diese Kraft aufzunehmen. Die Spannung in der Diagonalen wird demnach kleiner sein, als  $\frac{7742}{\cos \gamma}$ ; da nun nahezu (Fig. 322)  $\cos \gamma = \frac{5,22}{7,02} = 0,744$  ist, wird  $Y < \frac{7742}{0,744}$  oder  $Y < 10406 \text{ kg}$  fein.

Man könnte noch für einige der oberen Diagonalen die Spannungen auffuchen, was nach dem Vorstehenden keine Schwierigkeit macht. Für die Querschnittsbestimmungen kann nun, wie bei den früheren Beispielen, eine Tabelle aufgestellt werden.

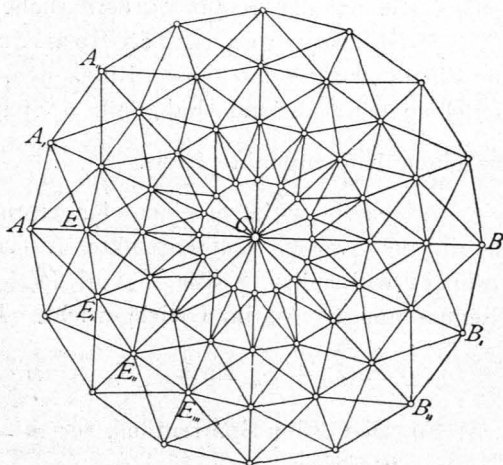
Bezeichnung des Stabes	$P_0$	$P_1$	Bezeichnung des Stabes	$P_0$	$P_1$	$P_2$
Sparren:			Ringe:			
$S_1$	-4766	-5706	$R_1$	-24396	-29159	0
$S_2$	-4346	-5977	$R_2$	+2524	+18387	-19248
$S_3$	-4402	-6310	$R_3$	+953	+14472	-14684
$S_4$	-4651	-6786	$R_4$	+183	+11696	-11951
$S_5$	-5258	-7742	$R_5$	+98	+9913	-10023
Diagonalen:			$R_6$	+20636	+30319	0
$Y$	0	10406				
	Kilogramm.			Kilogramm.		

b) Flache Zeltdächer.

Die Zeltdächer bilden Pyramiden, und zwar in den allermeisten Fällen reguläre Pyramiden. Man kann sie aus einer Anzahl radial gestellter Binder, die unter die fog. Grate kommen, construiren, in welchem Falle die Berechnung eines jeden Binders unter Zugrundelegung der auf ihn entfallenden Belastungen genau so vorzunehmen ist, wie bei den Balkendächern gezeigt wurde, oder man legt auch hier, wie bei den Kuppeln, alle Constructionstheile in die Dachflächen, so dass sich eine der dortigen ganz analoge Construction ergibt. In diesem Falle (Fig. 323) werden eine Anzahl Bindersparren  $A C, A, C, A'', C, B C, B, C, B'', C \dots$  angeordnet; zwischen denselben befinden sich horizontale Ringe  $E, E,, E,,, E,,,, \dots$  und in den viereckigen Feldern der Dachflächen, wegen der ungleichmäßigen Belastungen, Diagonalen. Auch hier wird oft in der Dachmitte eine Laterne angeordnet, welche sich auf einen Laternenring stützt, gegen den sich die oberen Sparrenenden anlehnen. Wir werden hier nur die der Kuppelconstruction analogen Anordnungen betrachten, da die ersteren keine be-

456.  
Zeltdächer.

Fig. 323.



fonderen Schwierigkeiten bieten. Obgleich die grössere oder geringere Neigung der Dachflächen keinen principiellen Unterschied bedingt, wollen wir die Zeldächer dennoch in flache und steile Zeldächer eintheilen, weil bei den ersteren die Belastung durch Schnee, bei den letzteren diejenige durch Wind die maßgebende mobile Belastung ist.

Zu den flachen Zeldächern gehören die Circus- und Theaterdächer, die Dächer über Locomotivschuppen etc., zu den steilen hauptsächlich die Thurmdächer.

### 1) Belastungen und Auflager-Reactionen.

457.  
Belastungen.

Ueber die Belastung der flachen Zeldächer gilt dasselbe, was von den Belastungen der Kuppeldächer in Art. 450, S. 418 gesagt ist; wir bestimmen also auch hier das Eigengewicht, den Schnee- und den Winddruck pro 1<sup>qm</sup> der Grundfläche, berücksichtigen aber vom Winddruck nur die verticalen Componenten  $v$ , für welche die Werthe in Art. 412, S. 379 angegeben sind. Die Knotenpunktsbelastungen sind den Grundflächen proportional, welche auf die einzelnen Knotenpunkte entfallen, demnach leicht zu ermitteln.

Auch hier betrachten wir nur totale Belastung des ganzen Zeldaches und solche partielle Belastungsarten, bei denen ganze Ringzonen mobil belastet sind.

458.  
Auflager-  
Reactionen.

Von den Auflager-Reactionen gilt gleichfalls dasselbe, was bei den Kuppeldächern gesagt wurde. Da auch hier ein fog. Mauerring die horizontalen Componenten der Spannungen in den untersten Sparrentheilen aufhebt, so sind für die in Aussicht zu nehmenden Belastungsarten die Auflager-Reactionen bei den einzelnen Sparren gleich den auf dieselben entfallenden Lasten.

### 2) Stabspannungen.

459.  
Berechnung  
der Stab-  
spannungen.

$\alpha$ ) Ungünstigste Beanspruchungen der einzelnen Stäbe. Die genaue Bestimmung der ungünstigsten Belastungsarten und der bei ungleichmäsig vertheilter Belastung entstehenden Spannungen ist auch hier sehr complicirt und schwierig. Werden nur totale Belastung des ganzen Daches und die Belastungen ganzer Ringzonen zu Grunde gelegt, so ergibt sich aus den aufzustellenden Gleichungen leicht, daß die ungünstigste Belastungsart für die Sparren, so wie für alle Ringe bei totaler Belastung des ganzen Daches stattfindet. Betreff der Diagonalen verfahren wir genau, wie bei den Kuppeldächern (siehe Art. 452, S. 419).

$\beta$ ) Spannungen in den Sparren. Es mögen wiederum  $G_1, G_2 \dots G_m \dots$  die Eigengewichte der ganzen Ringzonen,  $P_1, P_2 \dots P_m \dots$  die mobilen Belastungen derselben sein; alsdann sind, falls  $n$  Sparren vorhanden sind, die Belastungen der einzelnen Knotenpunkte bezw.  $\frac{G_1}{n}, \frac{G_2}{n} \dots \frac{G_m}{n} \dots$  und  $\frac{P_1}{n}, \frac{P_2}{n} \dots \frac{P_m}{n} \dots$

Allgemein wirke in einem Knotenpunkte (Fig. 324) die Last  $Q$ ; alsdann sind die in dem  $m$ -ten Knotenpunkte  $E$  (von der Laterne, bezw. der Mitte an gerechnet) wirkenden Kräfte  $S_{m-1}, S_m, Q_m$  und die Mittelkraft  $H_m$  der beiden Ringspannungen  $R_m$  im Gleichgewicht. Demnach ist

$$0 = Q_m + S_m \sin \alpha - S_{m-1} \sin \alpha, \text{ woraus } S_m = -\frac{Q_m}{\sin \alpha} + S_{m-1}.$$

Für den ersten Sparrentheil, für  $m = 1$ , wird, falls eine Laterne vorhanden ist,  $S_{m-1} = 0$ ; daher

$$S_1 = -\frac{Q_1}{\sin \alpha}; \quad S_2 = -\frac{Q_2}{\sin \alpha} - \frac{Q_1}{\sin \alpha} = -\frac{Q_2 + Q_1}{\sin \alpha};$$

$$S_3 = -\frac{Q_3}{\sin \alpha} - \frac{Q_2 + Q_1}{\sin \alpha} = -\frac{Q_3 + Q_2 + Q_1}{\sin \alpha} \text{ etc.}$$

Fig. 324.

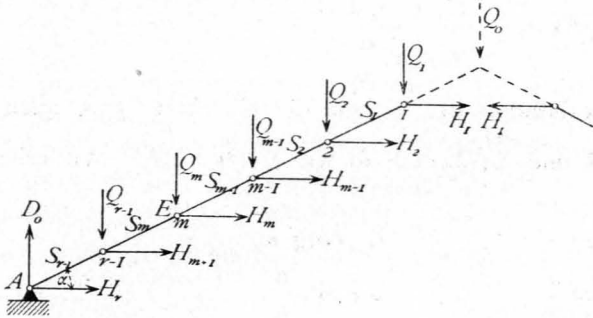
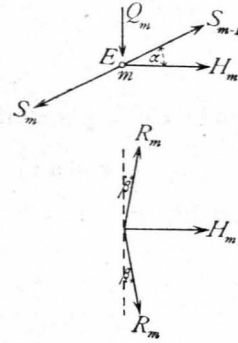
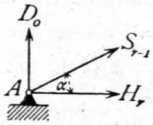


Fig. 325.



Allgemein wird



$$S_m = -\frac{\sum_1^m (Q)}{\sin \alpha} \dots \dots \dots 333.$$

Die Sparrenspannungen durch das Eigenwicht werden erhalten, indem der Reihe nach für  $Q_1, Q_2, Q_3 \dots$  bzw.  $\frac{G_1}{n}, \frac{G_2}{n}, \frac{G_3}{n} \dots$  eingesetzt wird. Man erhält

$$S_m^g = -\frac{\sum_1^m (G)}{n \sin \alpha} \dots \dots \dots 334.$$

Für  $m = 1, 2, 3 \dots$  wird

$$S_1^g = -\frac{G_1}{n \sin \alpha}; \quad S_2^g = -\frac{G_1 + G_2}{n \sin \alpha}; \quad S_3^g = -\frac{G_1 + G_2 + G_3}{n \sin \alpha} \text{ etc.} \quad 335.$$

Aus der Gleichung 333. ergibt sich, daß die Sparrenspannungen durch mobile Last am größten bei totaler Belaftung sind, und zwar wird

$$S_m^{pmax} = -\frac{\sum_1^m (P)}{n \sin \alpha} \dots \dots \dots 336.$$

und für  $m = 1, 2, 3 \dots$

$$S_1^{pmax} = -\frac{P_1}{n \sin \alpha}; \quad S_2^{pmax} = -\frac{P_1 + P_2}{n \sin \alpha}; \quad S_3^{pmax} = -\frac{P_1 + P_2 + P_3}{n \sin \alpha} \text{ etc.} \quad 337.$$

Falls keine Laterne vorhanden ist, gelten die Gleichungen 333. bis 337. ebenfalls; nur ist überall in die Summen auch  $Q_0$  aufzunehmen, d. h. der Theil der Firtbelaftung, welcher auf den Sparren entfällt.

γ) Spannungen in den Ringen. Die algebraische Summe der in E (Fig. 325) wirkenden Horizontalkräfte ist gleich Null, d. h.

$$0 = H_m + S_{m-1} \cos \alpha - S_m \cos \alpha,$$

woraus

$$H_m = (S_m - S_{m-1}) \cos \alpha = -\frac{\sum_1^m (Q) - \sum_1^{m-1} (Q)}{\sin \alpha} \cos \alpha = -Q_m \cotg \alpha.$$



Nun ist  $H_m = 2 R_m \sin \beta$ , und da nach Art. 452, S. 420  $\beta = \frac{\pi}{n}$  ist,

$$R_m = \frac{H_m}{2 \sin \frac{\pi}{n}} = - \frac{Q_m \cotg \alpha}{2 \sin \frac{\pi}{n}} \dots \dots \dots 338.$$

Die Belastung durch das Eigengewicht erzeugt demnach eine Spannung

$$R_m^g = - \frac{G_m \cotg \alpha}{2 n \sin \frac{\pi}{n}} \dots \dots \dots 339.$$

Falls ein Laternenring vorhanden ist, so gilt die Gleichung 338. auch für diesen. Für denselben ist  $m = 1$  und  $\sum_1^{m-1} (Q) = 0$ , so wie  $\sum_1^m (Q) = Q_1$ . Wir erhalten demnach für  $m = 1, 2, 3 \dots$

$$R_1^g = - \frac{G_1 \cotg \alpha}{2 n \sin \frac{\pi}{n}}; \quad R_2^g = - \frac{G_2 \cotg \alpha}{2 n \sin \frac{\pi}{n}} \text{ etc.} \dots \dots \dots 340.$$

Die Gleichungen 339. und 340. ergeben, dass in sämtlichen Ringen durch das Eigengewicht Druck erzeugt wird; die Gleichung 339. gilt aber nicht für den Mauerring. Am Knotenpunkt  $A$  (Fig. 324) wirken die Kräfte  $D_0 = \Sigma (Q)$ ,  $H_r$  und  $S_{r-1}$ ; mithin ist  $S_{r-1} \cos \alpha + H_r = 0$ , woraus  $H_r = - S_{r-1} \cos \alpha$ .

Ferner ist  $D_0 + S_{r-1} \sin \alpha = 0$ , woraus  $S_{r-1} = - \frac{\sum_1^{r-1} (Q)}{\sin \alpha}$ . Es wird demnach

$$H_r = \sum_1^{r-1} (Q) \cotg \alpha \text{ und, da } R_r = \frac{H_r}{2 \sin \frac{\pi}{n}} \text{ ist, wird}$$

$$R_r = \frac{\sum_1^{r-1} (Q) \cotg \alpha}{2 \sin \frac{\pi}{n}} \dots \dots \dots 341.$$

Der Mauerring erhält also Zug.

Das Eigengewicht erzeugt in demselben die Spannung

$$R_r^g = \frac{(G_1 + G_2 + \dots + G_{r-1}) \cotg \alpha}{2 n \sin \frac{\pi}{n}} \dots \dots \dots 342.$$

Die größte durch mobile Belastung erzeugte Spannung findet in einem Ringe nach Gleichung 338. statt, wenn  $Q_m$  seinen größten Werth hat. Da  $Q$  nie negativ wird, so ist die Ringspannung durch mobile Belastung, abgesehen vom Mauerring, stets Druck. Es wird demnach

$$R_1^{p \min} = - \frac{P_1 \cotg \alpha}{2 n \sin \frac{\pi}{n}}; \quad R_2^{p \min} = - \frac{P_2 \cotg \alpha}{2 n \sin \frac{\pi}{n}} \text{ etc.};$$

allgemein

$$R_m^{p \min} = - \frac{P_m \cotg \alpha}{2 n \sin \frac{\pi}{n}} \dots \dots \dots 343.$$

Weiters ist  $R_1^{p \max} = R_2^{p \max} = R_m^{p \max} = 0$ . Die größte Druckspannung in einem Ringe findet also schon statt, wenn nur die betreffende Zone belastet ist; die Be-

lastung der übrigen Zonen ist auf die Ringspannung ohne Einfluss. Wir können demnach auch sagen, dass die größte Ringspannung in allen Ringen bei mobiler Belastung des ganzen Daches stattfindet.

Im Mauerring findet der größte Zug durch mobile Belastung bei totaler Belastung statt, und es ist derselbe

$$R_r^{p,max} = \frac{(P_1 + P_2 \dots + P_{r-1}) \cotg \alpha}{2 n \sin \frac{\pi}{n}} \dots \dots \dots 344.$$

Druck findet in demselben nicht statt.

δ) Spannungen in den Diagonalen. Für dieselbe Belastungsart, welche bei den Kuppeln zu Grunde gelegt ist, ergibt sich die Spannungsdifferenz in zwei benachbarten Sparren, zwischen denen die Belastungsgrenze liegt, zu

$$\Delta = \frac{\sum_1^m (P + G)}{n \sin \alpha} - \frac{\sum_1^m (G)}{n \sin \alpha} = \frac{\sum_1^m (P)}{n \sin \alpha}$$

und die Spannung in der Diagonalen, welche dieselbe übertragen soll, höchstens zu

$$Y = \frac{\sum_1^m (P)}{n \sin \alpha \cos \gamma},$$

wenn  $\gamma$  der Winkel zwischen der Diagonalen und dem Sparren ist. Demnach wird

$$Y_1 \leq \frac{P_1}{n \sin \alpha \cos \gamma_1};$$

$$Y_2 \leq \frac{P_1 + P_2}{n \sin \alpha \cos \gamma_2} \text{ etc.} \dots 345.$$

Um die Stabspannungen auf geometrischem Wege (Fig. 326 und 327) zu ermitteln, seien die Belastungen der einzelnen Knotenpunkte 1, 2, 3, 4; alsdann ergibt sich leicht, wenn  $\alpha\beta = 1$ ,  $\beta\gamma = 2$ ,  $\gamma\delta = 3$ ,  $\delta\varepsilon = 4$  gemacht wird,  $\beta\zeta = S_1$ ,  $\zeta\alpha = H_1$ ,  $\gamma\eta = S_2$ ,  $\eta\zeta = H_2$ ,  $\delta\vartheta = S_3$ ,  $\vartheta\eta = H_3$ ,  $\varepsilon\kappa = S_4$ ,  $\kappa\vartheta = H_4$ ; ferner  $\varepsilon\alpha = D_0$ ,  $\alpha\kappa = H_5$ ,  $\zeta\lambda = R_1$ ,  $\eta\mu = \mu\zeta = R_2$ ,  $\vartheta\nu = \nu\eta = R_3$ ,  $\kappa\sigma = \sigma\vartheta = R_4$  und  $\alpha\sigma = \sigma\kappa = R_5$  (= Mauerringspannung).

Je nachdem nun die Kräfte 1, 2, 3, 4 die Eigengewichte oder die mobilen Lasten bedeuten, erhält man die durch die eine oder andere Belastung erzeugten Spannungen. Die Spannungen in den Diagonalen sind leicht zu construieren.

**c) Steile Zeldächer (Thurmdächer).**

Als verticale Belastung ist hier nur das Eigengewicht einzuführen. Eine Belastung durch Schnee findet nicht statt, weil wegen der großen Steilheit des Daches der Schnee nicht liegen bleibt. Diese verticale Belastung erzeugt, da die Con-

Fig. 326.

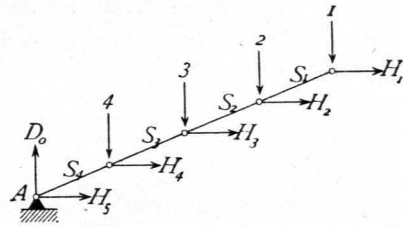
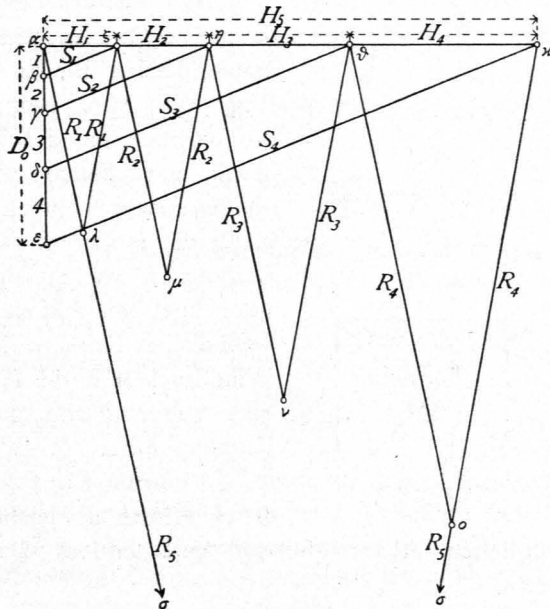


Fig. 327.



460. Graphische Ermittlung der Stabspannungen.

fruction genau so, wie bei den flachen Zeltdächern, aus Sparren und Ringen zusammengefügt wird, Spannungen, welche genau, wie dort gezeigt wurde, zu berechnen sind. Auf diese Berechnung soll deshalb hier nicht weiter eingegangen werden. Dagegen spielt der Winddruck hier eine große Rolle, und es sollen die durch diesen erzeugten Spannungen berechnet werden. Wir werden zunächst die Berechnung für ein vierseitiges Pyramidendach zeigen, für welches eine genaue Berechnung möglich ist.

1) Vierseitiges Pyramidendach.

461.  
Belastung.

Der Winddruck auf eine Pyramidenseite ist am größten, wenn die Windrichtung im Grundriss normal zu der betreffenden Rechteckseite steht. Alsdann ist der Winddruck pro 1<sup>qm</sup> schräger Dachfläche (Fig. 328 und 329) nach Gleichung 273.  $v = 120 \sin^2(\alpha + 10^\circ)$ ; die vom Winde getroffene schräge Dachfläche ist

$$F = \frac{a \lambda}{2} = \frac{a h}{2 \sin \alpha},$$

mithin der Gesamtdruck gegen eine Pyramidenseite

$$N = \frac{a h v}{2 \sin \alpha} \quad 346.$$

Wir denken uns nun in der Symmetrieebene II einen ideellen Binder  $ACB$  (Fig. 330) und bestimmen die darin durch den Winddruck entstehenden Spannungen; wir nehmen vorläufig die Horizontalen und Diagonalen, wie in Fig. 330 gezeichnet, an. Auf ein oben befindliches Kreuz wirke ein Winddruck  $W$  in der Höhe  $e_0$  über dem Firfipunkt  $C$ ;

außerdem wirken in den Knotenpunkten  $C, E, F, G \dots$  die Kräfte  $N_0, N_1, N_2, N_3 \dots$  normal zur Dachfläche; die Größe dieser Kräfte ist leicht aus den auf die

bezüglichen Knotenpunkte entfallenden Dachflächen zu ermitteln.

$\alpha)$  Berechnung der Spannungen im ideellen Binder.

Um die Sparrenspannung  $S_1$  (Fig. 330) an der Windseite zu erhalten, lege man einen beliebigen Schnitt durch  $CE$ , etwa nach  $III$ , und betrachte das Fragment oberhalb des Schnittes. Wählt man  $\mathcal{F}$  als Momentenpunkt, so heißt die Gleichung der statischen Momente (Fig. 331):

$$0 = S_1 e_1 \sin \alpha - W(e_0 + e_1) - N_0 n_0.$$

Nun ist  $\overline{C\mathcal{F}} = \frac{e_1}{\sin \alpha}$  und  $\cos(180 - 2\alpha) = \frac{n_0}{C\mathcal{F}} = -\cos 2\alpha$ , daher

Fig. 328.

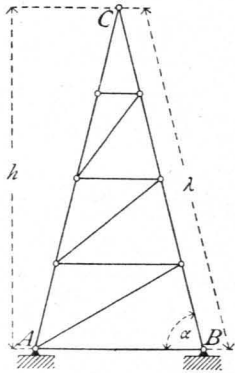


Fig. 329.

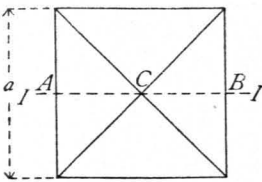


Fig. 330.

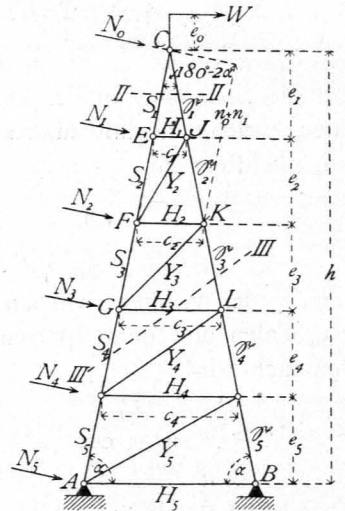
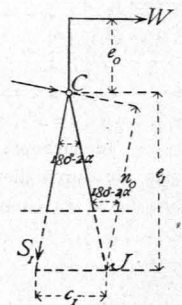


Fig. 331.



462.  
Berechnung  
d. Spannungen  
im ideellen  
Binder.

$n_0 = -\overline{CF} \cos 2\alpha = -\frac{e_1}{\sin \alpha} (\cos^2 \alpha - \sin^2 \alpha) = \frac{e_1 (\sin^2 \alpha - \cos^2 \alpha)}{\sin \alpha}$ . Man erhält hiernach

$$S_1 = \frac{W(e_0 + e_1)}{c_1 \sin \alpha} + \frac{N_0 e_1 (\sin^2 \alpha - \cos^2 \alpha)}{c_1 \sin^2 \alpha}.$$

Für irgend einen Sparren  $FG$  ist  $K$  der conjugirte Punkt, und es ergibt sich  $S_3$  aus der Momentengleichung

$$0 = S_3 c_2 \sin \alpha - W(e_0 + e_1 + e_2) - N_0(n_0 + n_1) - N_1 n_1 + N_2 c_2 \cos \alpha,$$

$$S_3 = \frac{1}{c_2 \sin \alpha} [W(e_0 + e_1 + e_2) + N_0(n_0 + n_1) + N_1 n_1 - N_2 c_2 \cos \alpha],$$

$$S_3 = \frac{1}{c_2 \sin \alpha} [W(e_0 + e_1 + e_2) + N_0(n_0 + n_1) + N_1 n_1] - N_2 \cotg \alpha.$$

Für irgend einen Sparren  $KL$  auf der Unterwindseite ist  $G$  der conjugirte Punkt und

$$0 = \mathfrak{S}_3 c_3 \sin \alpha + W(e_0 + e_1 + e_2 + e_3) + \frac{N_0(e_1 + e_2 + e_3)}{\sin \alpha} + \frac{N_1(e_2 + e_3)}{\sin \alpha} + \frac{N_2 e_3}{\sin \alpha},$$

woraus

$$\mathfrak{S}_3 = -\frac{1}{c_3 \sin \alpha} \left[ W(e_0 + e_1 + e_2 + e_3) + \frac{N_0(e_1 + e_2 + e_3) + N_1(e_2 + e_3) + N_2 e_3}{\sin \alpha} \right].$$

Eben so ergeben sich leicht alle Sparrenspannungen, fowohl auf der Windseite, wie auf der Unterwindseite.

Die Sparren auf der Windseite werden gezogen, diejenigen auf der Unterwindseite werden gedrückt.

Die Spannungen in den Horizontalen und Diagonalen werden gleichfalls mittels der Momentenmethode ermittelt. Um die Spannung  $H_3$  in  $GL$  zu finden, schneide man schräg nach  $III III$ ; alsdann ist  $C$  der conjugirte Punkt, und die Momentengleichung für  $C$  heist

$$0 = H_3(e_1 + e_2 + e_3) - W e_0 + \frac{N_1 e_1}{\sin \alpha} + \frac{N_2(e_1 + e_2)}{\sin \alpha} + \frac{N_3(e_1 + e_2 + e_3)}{\sin \alpha},$$

woraus

$$H_3 = -\frac{N_1 e_1 + N_2(e_1 + e_2) + N_3(e_1 + e_2 + e_3)}{(e_1 + e_2 + e_3) \sin \alpha} + \frac{W e_0}{e_1 + e_2 + e_3}.$$

Die Spannung  $Y_3$  endlich in der Diagonalen  $GK$  wird, da für  $GK$  wiederum  $C$  der conjugirte Punkt ist, durch die Momentengleichung für  $C$  gefunden. Dieselbe heist, wenn  $y_3$  der Hebelsarm von  $Y_3$  für den Momentenpunkt  $C$  ist,

$$0 = Y_3 y_3 + W e_0 - \frac{N_1 e_1}{\sin \alpha} - \frac{N_2(e_1 + e_2)}{\sin \alpha},$$

woraus

$$Y_3 = \frac{1}{y_3} \frac{N_1 e_1 + N_2(e_1 + e_2)}{\sin \alpha} - \frac{W e_0}{y_3}.$$

Ob die Diagonalen und Horizontalen Druck oder Zug erhalten, hängt von der Größe des Momentes  $W e_0$  wesentlich ab. Ist  $W = 0$ , so werden bei der gezeichneten Richtung der Diagonalen die Horizontalen gedrückt, die Diagonalen gezogen. Bei der entgegengesetzten Windrichtung findet entgegengesetzte Beanspruchung statt.

463.  
Graphische  
Ermittlung  
d. Spannungen  
im ideellen  
Binder.

β) Graphische Ermittlung der Spannungen im ideellen Binder. Wird zunächst von der Kraft  $W$  abgesehen, so ergibt sich ohne Schwierigkeit der in Fig. 332 gezeichnete Kräfteplan, worin alle Stabspannungen, welche durch Winddruck erzeugt werden, enthalten sind.

Fig. 332.

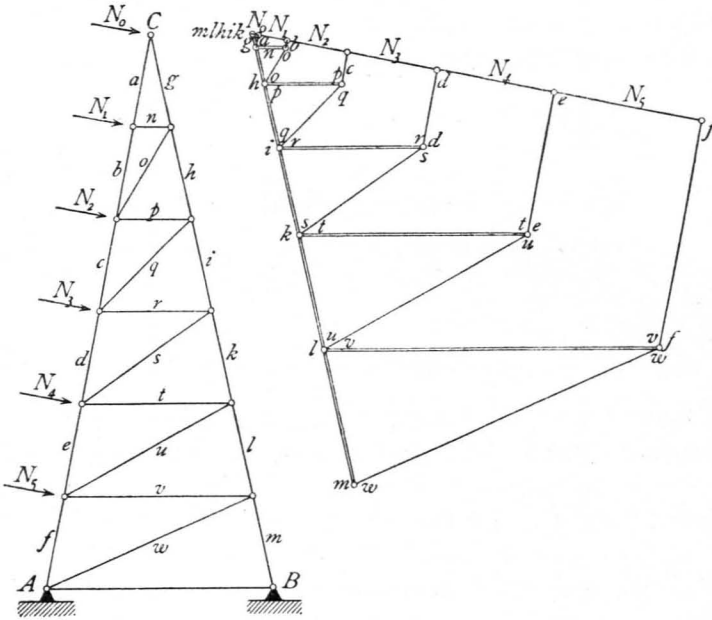
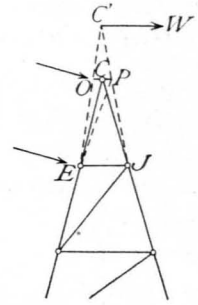


Fig. 333.



Falls noch ein Winddruck  $W$  vorhanden ist, so empfiehlt es sich, für die graphische Bestimmung der Spannungen statt der wirklich vorhandenen Stäbe  $EC$  und  $JC$  zwei Stäbe  $EC'$  und  $J'C'$  einzuführen, wobei  $C'$  der Schnittpunkt der Kraft  $W$  mit der Mittelverticalen Fig. 333 ist; die Er-

mittlung kann dann für den Turm mit der Spitze  $EOC'PJ'$  nach der Cremona'schen Methode erfolgen. Die Spannungen in  $EC$  und  $J'C$  können mit geringem Fehler denjenigen, welche sich für  $EO$  und  $PJ'$  ergeben haben, gleich gesetzt werden.

464.  
Wirkliche  
Stab-  
spannungen.

γ) Reduction der Spannungen im ideellen Binder auf die wirklichen Stabspannungen. Die bisher berechneten Spannungen finden im ideellen Binder  $ACB$  (Fig. 334) statt. Jede Spannung in einem Stabe des ideellen Binders wird nun durch zwei Stabspannungen der beiden wirklichen Binder geleistet, deren Ebenen mit derjenigen des ideellen Binders den Winkel  $(90 - \alpha)$  einschließen.

Fig. 334.

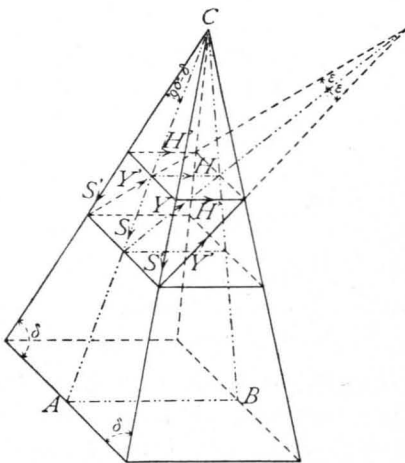


Fig. 335.



Die Spannung  $S$  in irgend einem Sparren des ideellen Binders wird durch zwei Spannungen  $S'$  ersetzt; demnach ist

$$S = 2 S' \cos (90 - \delta) = 2 S' \sin \delta,$$

woraus

$$S' = \frac{S}{2 \sin \delta}; \quad \cdot 346.$$

eben fo

$$\mathcal{E}' = \frac{\mathcal{E}}{2 \sin \delta} \dots \dots \dots 347.$$

Ferner wird

$$H = 2 H', \text{ woraus } H' = \frac{H}{2}; \dots \dots \dots 348.$$

$$Y = 2 Y' \cos \varepsilon, \text{ woraus } Y' = \frac{Y}{2 \cos \varepsilon} \dots \dots \dots 349.$$

Auch auf constructivem Wege ist die Reduction leicht durchzuführen. Man construire (Fig. 335) den Winkel  $(90 - \delta)$ , bzw.  $\varepsilon$ , was keine Schwierigkeiten macht. Ist  $\sphericalangle r m n = 90 - \delta$ , fo ist  $\overline{m r} = \frac{\overline{m n}}{\sin \delta}$ . Man trage demnach die Werthe für  $\frac{S}{2}$  und  $\frac{\mathcal{E}}{2}$  auf der Linie  $m n$  ab, projicire diese Abschnitte auf  $m r$ ; alsdann erhält man in den Projectionen die gefuchten wirklichen Sparrenspannungen. Eben fo ist die Division durch  $\cos \varepsilon$  vorzunehmen.

Wenn einfache Diagonalen angeordnet werden, fo erhält jede derselben event. Zug und Druck; will man nur gezogene Diagonalen haben, fo sind Gegendiagonalen einzuführen, worüber nach Früherem (siehe Art. 390, S. 355) nichts hinzugefügt zu werden braucht.

### 2) Achtfeitiges Pyramidendach.

Wir nehmen hier die Windrichtung, der einfachen Rechnung halber, horizontal an und berechnen aus demselben Grunde den Winddruck fo, als wenn die Seitenflächen vertical ständen. Der dabei gemachte Fehler ist gering. Wenn die Windrichtung im Grundriß normal zu der Seite  $m n$  (Fig. 336) angenommen wird, die Seitenlänge des regulären Achteckes an der Unterkante der Pyramide mit  $a$ , die Höhe der Pyramide mit  $h$  und der Druck pro Flächeneinheit mit  $p$  bezeichnet wird, fo ist der Druck gegen die Fläche  $F$  demnach

$$W = \frac{p a h}{2} \dots 350.$$

Der Winddruck auf die Fläche  $F_1$  ergibt sich unter obigen vereinfachenden Annahmen folgender Mafsen. Auf  $1 \text{ qm}$  der normal getroffenen Fläche  $m n$  (Fig. 337) und deren Verlängerungen kommt ein Winddruck  $p$ ; einem Quadrat-Meter dieser Fläche entspricht aber  $\frac{1}{\cos \gamma}$  der (immer vertical gedachten) Fläche  $n o$ ; auf  $1 \text{ qm}$  der letzteren kommt also

Fig. 337.

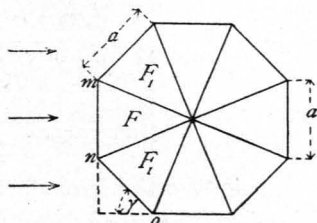
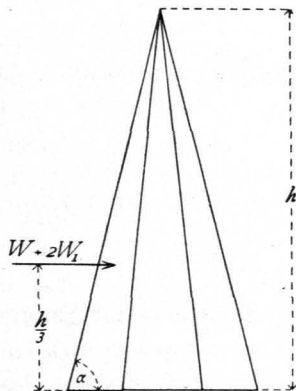


Fig. 336.

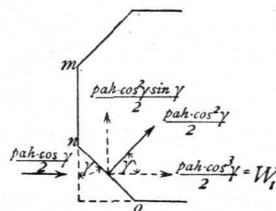
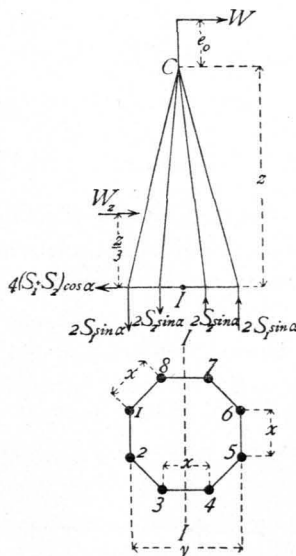


Fig. 338.



465.  
Belastung.

ein Winddruck  $\frac{p}{1} = p \cos \gamma$ , mithin auf die ganze Fläche  $F_1$  der Winddruck

$\frac{p \cos \gamma a h}{2}$ . Von diesem Winddruck kommt nur die normal zur Fläche stehende

Componente zur Geltung, d. h.  $\frac{p \cos \gamma a h}{2} \cos \gamma = \frac{p a h}{2} \cos^2 \gamma$ .

Diese Componente zerlegt sich nun in eine Seitenkraft, welche dieselbe Richtung hat, wie  $W$ , und in eine normal hierzu stehende. Die erstere ist

$$W_1 = \frac{p a h \cos^3 \gamma}{2} \dots \dots \dots 351.$$

Ein genau gleicher Winddruck wirkt (Fig. 337) auf die andere Fläche  $F_1$ ; mithin ist der gesammte Winddruck auf die Pyramide

$$W + 2 W_1 = \frac{p a h}{2} (1 + 2 \cos^3 45^\circ) = \frac{p a h}{2} \left(1 + \frac{2 \cos 45^\circ}{2}\right) = 0,854 p a h. \quad 352.$$

Der Angriffspunkt dieser Kraft liegt in der Höhe  $\frac{h}{3}$  über der Basis der Pyramide.

Für irgend einen Pyramidentheil (Fig. 338) der Höhe  $z$  erhält man, wenn die Seite des Achteckes, welches für diesen Theil die Basis bildet, mit  $x$  und die ganze Basisbreite mit  $y$  bezeichnet wird,

$$W_z = 0,854 p x z \dots \dots \dots 353.$$

$W_z$  greift in der Höhe  $\frac{z}{3}$  über dieser Basis an.

466.  
Spannungen  
in den  
Sparren.

Außer  $W_z$  wirke auf das Thurmkreuz (Fig. 338) noch ein Winddruck  $W$  in der Höhe  $e_0$  über dem First; alsdann ist das Moment des Windes, bezogen auf die horizontale, in der Basis des betreffenden Thurmstückes gelegene Schwerpunktsaxe  $II$  des Querschnittes

$$M_z = W_z \frac{z}{3} + W (e_0 + z) \dots \dots \dots 354.$$

Dieses Moment muß durch die Spannung der Sparren an der betrachteten Stelle aufgehoben werden.

Sind die Spannungen in den vier Sparren 1, 2, 5, 6, welche um  $\frac{y}{2}$  von der Axe  $II$  abstehen,  $S_1$ , diejenigen in den vier um  $\frac{x}{2}$  von der Axe  $II$  abstehenden

Sparren 3, 4, 7, 8 gleich  $S_2$ , so ist, wenn mit geringem Fehler der Sparrenwinkel gegen die Horizontalebene gleich  $\alpha$  gesetzt wird, das Moment der Sparrenspannungen für die Axe  $II$  gleich  $2 S_1 y \sin \alpha + 2 S_2 x \sin \alpha$ ; folglich muß  $M_z = (2 S_1 y + 2 S_2 x) \sin \alpha$  sein. Man kann annehmen, daß bei gleicher Querschnittsfläche aller Sparren stattfindet

$$\frac{S_2}{S_1} = \frac{x}{y}, \text{ d. h. } S_2 = \frac{S_1 x}{y}, \text{ also } M_z = \left(2 S_1 y + \frac{2 S_1 x^2}{y}\right) \sin \alpha,$$

$$M_z = \frac{2 S_1}{y} (y^2 + x^2) \sin \alpha, \text{ woraus } S_1 = \frac{M_z y}{2 (x^2 + y^2) \sin \alpha} \dots \dots \dots 355.$$

Für  $M_z$  sind der Reihe nach die Werthe einzuführen, welche sich bei den verschiedenen Höhen  $z$  ergeben. Diese Spannung kann in jedem Sparren sowohl

als Zug, wie als Druck stattfinden, weil der Wind von allen Seiten kommen kann. Man erhält demnach

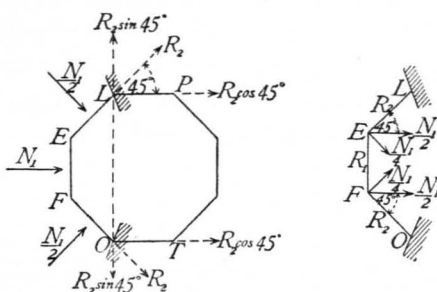
$$S = \pm \frac{M_x y}{2(x^2 + y^2) \sin \alpha} \dots \dots \dots 355a.$$

Die genaue Berechnung der bei einseitiger Windbelastung in den Ringen und in den Diagonalen entstehenden Spannungen ist sehr complicirt. Wir machen, um eine einfache Rechnung zu erhalten, die Annahme, daß wir, wenn der Wind die Flächen  $EF$ ,  $FO$  und  $EL$  (Fig. 339) beaufschlagt, die Punkte  $L$  und  $O$  als feste Stützpunkte betrachten können. Alsdann wirkt auf  $EF$  die Kraft  $N_1$ , auf  $EL$  und  $FO$  je  $N_1 \cos^2 45^\circ = \frac{N_1}{2}$ ; in  $E$  und  $F$  wirken alsdann je  $\frac{N_1}{2}$  und  $\frac{N_1}{4}$ , wie in Fig. 340 gezeichnet. Die Gleichgewichtsbedingungen für Punkt  $F$  lauten nun:

467.  
Spannungen  
in den  
Ringen.

Fig. 339.

Fig. 340.



$$0 = R_1 + \frac{N_1}{4} \sin 45^\circ - R_2 \sin 45^\circ \quad \text{und} \quad 0 = R_2 \cos 45^\circ + \frac{N_1}{2} + \frac{N_1}{4} \cos 45^\circ,$$

woraus

$$R_2 = - \frac{N_1 \left( \frac{1}{2} + \frac{1}{4} \cos 45^\circ \right)}{\cos 45^\circ} = - \frac{N_1}{2} \left( \frac{1}{\cos 45^\circ} + \frac{1}{2} \right) = - 0,957 N_1 \quad . \quad 356.$$

$$R_1 = R_2 \sin 45^\circ - \frac{N_1}{4} \sin 45^\circ = - \frac{N_1}{2} \left( \frac{\sin 45^\circ}{\cos 45^\circ} + \frac{\sin 45^\circ}{2} + \frac{\sin 45^\circ}{2} \right),$$

$$R_1 = - 0,854 N_1 \dots \dots \dots 357.$$

Da der Wind von allen Seiten kommen kann, so sind alle Ringtheile für die Spannung  $R_2 = - 0,957 N_1$  zu dimensioniren.

Um die in den Dachflächen angebrachten Diagonalen zu berechnen, bestimme man die auf die einzelnen Punkte  $L$ , bezw.  $O$  (Fig. 339 u. 340) wirkenden horizontalen Kräfte. Auf  $L$  und  $O$  wirkt je  $R_2$ , und es zerlegt sich  $R_2$  jederseits in eine Componente  $R_2 \cos 45^\circ$ , welche in die Linie  $LP$ , bezw.  $OT$  fällt, und in eine normal dazu gerichtete Componente  $R_2 \sin 45^\circ$ , welche in die Richtung  $LO$  fällt. Um die beiden letzteren Componenten aufzuheben, empfiehlt sich die Anbringung der Zughorizontalen  $LO$ , die in Fig. 339 punktirt ist; der in dieser herrschende Zug ist  $R_2 \sin 45^\circ$ . Die in die Ebene  $LPC$ , bezw.  $OTC$  fallenden Componenten sind nun durch das in diesen angeordnete Gitterwerk auf die festen Stützpunkte der Thurmbasis zu übertragen. Um die Diagonalen zu berechnen, denken wir wieder zunächst die beiden Dachflächen durch einen in der Symmetrieebene liegenden, ideellen Binder ersetzt, ermitteln die unter dem Einflusse der Lasten  $R_2 \cos 45^\circ$  in demselben entstehenden Diagonalspannungen auf bekannte Weise und finden aus diesen ideellen Diagonalspannungen die wirklichen Diagonalspannungen genau so, wie in Art. 464, S. 434 angegeben ist. Als Belastung der einzelnen Knotenpunkte des ideellen Binders ist selbstverständlich überall  $2 R_2 \cos 45^\circ$  einzuführen.

468.  
Spannungen  
in den  
Diagonalen.



## 3) Stabilität der Thurmdächer.

Durch die Windbelastung werden die Sparren an der Windseite auf Zug, diejenigen an der Unterwindseite auf Druck beansprucht; durch das Eigengewicht erhalten alle Sparren Druck. Wenn der in dem Sparren mögliche grösste Zug in Folge des Winddruckes grösser ist, als der durch das Eigengewicht erzeugte Druck, so ist Gleichgewicht nur möglich, wenn auf den Sparren Seitens des Auflagers ein Zug ausgeübt wird, welcher wenigstens so gross ist, wie der grösste im Sparren herrschende resultirende Zug. Dieser Zug Seitens des Auflagers wird durch Verankerung der Sparren mit dem Thurmmauerwerk erzeugt, und es muss das Gewicht des an den Anker gehängten Mauerwerkes, welches als Zug auf den Sparren wirkt, wenigstens so gross sein, wie der grösstmögliche Zug in demselben. Es empfiehlt sich, die Verankerung weiter hinabzuführen, etwa so weit, dass das Mauergewicht doppelt so gross ist, als der grösste Zug im Sparren.

## Literatur.

Bücher über »Statik der Dachstuhl«.

- UNWIN, W. *Wrought-iron bridges and roofs etc.* London 1870.  
 CORDIER, E. *Equilibre stable des charpentes en fer, bois et fonte.* Paris 1872.  
 RITTER, Dr. A. *Elementare Theorie und Berechnung eiserner Dach- und Brücken-Constructionen.* 3. Aufl. Hannover 1873.  
 FABRÉ, V. *Théorie des charpentes, donnant des règles pratiques pour la construction des fermes et autres appareils en bois et en fonte.* Paris 1873.  
 CARGILL, Th. *The strains upon bridge girders and roof trusses etc.* London 1873.  
 SHREVE, S. *A treatise on the strength of bridges and roofs etc.* New-York 1873.  
 TETMAJER, L. *Die äusseren und inneren Kräfte an statisch bestimmten Brücken- und Dachstuhl-Constructionen.* Zürich 1875.  
 NICOUR, Ch. *Calcul d'un comble en fer du système Polonceau.* Paris 1875.  
 SCHWEDLER, W. *Die Construction der Kuppeldächer.* 2. Aufl. Berlin 1878.  
 TRÉLAT, E. *La rigidité dans les combles.* Paris 1878.  
 Deutsche bautechnische Taschenbibliothek. Heft 10: *Berechnung der Dachwerke.* Von W. Jeep. Leipzig 1876.

## 4. Abschnitt.

## Gewölbe.

469.  
Allgemeines.

Die Gewölbe sind aus einzelnen, mehr oder weniger keilförmig gestalteten Elementen zusammengesetzte Bauconstructionen, welche bei verticalen Belastungen schiefe Drücke auf die sie stützenden Constructionstheile ausüben. Indem wir die verschiedenen Gewölbearten hier als bekannt voraussetzen, bemerken wir, dass wir uns im vorliegenden Abschnitt hauptsächlich mit den Tonnen-, bezw. Kappengewölben, den Kreuzgewölben und den Kuppelgewölben beschäftigen werden, auf welche alle anderen Gewölbearten leicht zurückgeführt werden können.

Der allgemeinen theoretischen Untersuchung soll das Tonnen-, bezw. Kappengewölbe zu Grunde gelegt werden; dabei werden wir stets, falls nichts Anderes